

АЗЭРБАЙЧАН ССР ЕЛМЛЭР АКАДЕМИЈАСЫ
АКАДЕМИЯ НАУК АЗЕРБАЙДЖАНСКОЙ ССР

МЭРУЗЭЛЭР ДОКЛАДЫ

ТОМ ХХ ЧИЛД

6

АЗЭРБАЙЧАН ССР ЕЛМЛЭР АКАДЕМИЈАСЫ ИШРИЈАТЫ
ИЗДАТЕЛЬСТВО АКАДЕМИИ НАУК АЗЕРБАЙДЖАНСКОЙ ССР
Бакы—1904—Баку

ЗЭРБАЙЧАН ССР ЕЛМЛЭР АКАДЕМИЈАСЫ
АКАДЕМИЯ НАУК АЗЕРБАЙДЖАНСКОЙ ССР

МЭ'РУЗЭЛЭР ДОКЛАДЫ

ТОМ ХХ ЧИЛД

№ 6



АЗЭРБАЙЧАН ССР ЕЛМЛЭР АКАДЕМИЈАСЫ НЭШРИЈАТЫ
ИЗДАТЕЛЬСТВО АКАДЕМИИ НАУК АЗЕРБАЙДЖАНСКОЙ ССР
БАКУ—1964—БАКУ

МАТЕМАТИКА

А. М. АХМЕДОВА

АСИМПТОТИЧЕСКОЕ РАЗЛОЖЕНИЕ СОБСТВЕННЫХ ФУНКЦИЙ
И СОБСТВЕННЫХ ЗНАЧЕНИЙ В ЗАДАЧАХ С УЗКОЙ,
ГЛУБОКОЙ ПОТЕНЦИАЛЬНОЙ ЯМОЙ

(Представлено академиком АН Азербайджанской ССР З. И. Халиловым)

В настоящей заметке рассматривается задача с узкой, глубокой потенциальной ямой.* Точнее, дается асимптотическое разложение собственных функций и собственных значений обыкновенного дифференциального оператора второго порядка с разрывными коэффициентами

$$L_\varepsilon y_\varepsilon \equiv -\frac{d^2y_\varepsilon}{dx^2} + C_\varepsilon(x)y_\varepsilon, \quad (1)$$

где

$$C_\varepsilon(x) = \begin{cases} -\frac{\frac{c}{\varepsilon^\beta} \left(\frac{x}{\varepsilon^\beta}\right)}{\varepsilon^{2\beta}} & \text{при } 0 < x < \varepsilon^\beta \\ c^+ \left(\frac{x}{\varepsilon^\beta}\right) & \text{при } \varepsilon^\beta < x < +\infty \end{cases}$$

при условиях „склейки“

$$y_\varepsilon|_{x=\varepsilon^\beta-0} = y_\varepsilon|_{x=\varepsilon^\beta+0}, \quad \frac{dy_\varepsilon}{dx}|_{x=\varepsilon^\beta-0} = \frac{dy_\varepsilon}{dx}|_{x=\varepsilon^\beta+0} \quad (2)$$

и при граничных условиях

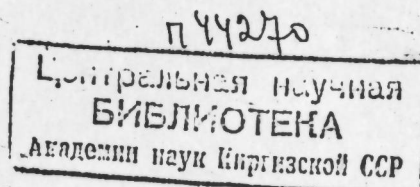
$$y_\varepsilon|_{x=0}=0 \quad y_\varepsilon|_{x=+\infty}=0 \quad (3)$$

Выражаясь языком квантовой механики, можно сказать, что эта задача соответствует исследованию стационарных состояний и уровней энергии квантomeханической частицы, находящейся в узкой, глубокой потенциальной яме.

* Руководствуясь видом функции $c_\varepsilon(x)$, в этом случае часто говорят о глубокой, узкой потенциальной яме. Скачкообразное возрастание потенциальной энергии на границах области (на конечную величину), вообще говоря, приводит к отбрасыванию частицы внутрь области.

РЕДАКЦИОННАЯ КОЛЛЕГИЯ: З. И. Халилов (главный редактор), Ш. А. Азизбеков, В. Р. Волобуев, Д. М. Гусейнов, И. А. Гусейнов, М. А. Дадашзаде (зам. главного редактора), М. А. Далин, Ч. М. Джуварлы, С. М. Кулиев, М. Ф. Нагиев (зам. главного редактора), М. А. Топчибашев, Г. Г. Зейналов (ответственный секретарь).

Адрес: г. Баку, Коммунистическая, 10. Редакция «Докладов Академии наук Азербайджанской ССР».



Оказывается задача (1), (2), (3) приводится к задаче, рассмотренной в работе [4].

В самом деле, заменяя $\frac{x}{\varepsilon^\beta} = x_1$, перейдем к переменной x_1 . В новых координатах уравнение для собственной функции

$$-\frac{d^2y_\varepsilon}{dx^2} + c_\varepsilon(x)y_\varepsilon = \lambda_\varepsilon y_\varepsilon,$$

$$\text{где } C_\varepsilon(x) = \begin{cases} -\frac{\bar{c}\left(\frac{x}{\varepsilon^\beta}\right)}{\varepsilon^{2\beta}} & 0 < x < \varepsilon^\beta \\ \frac{c^+\left(\frac{x}{\varepsilon^\beta}\right)}{\varepsilon^{2\alpha}} & \varepsilon^\beta < x < +\infty \end{cases}$$

приобретает следующий вид:

$$\begin{aligned} -\frac{d^2y_\varepsilon}{dx_1^2} - \bar{c}(x_1)y_\varepsilon &= \varepsilon^{2\beta}\lambda_\varepsilon y_\varepsilon \quad 0 < x_1 < 1 \\ -\frac{d^2y_\varepsilon}{dx_1^2} + \frac{c^+(x_1)}{\varepsilon^{2\alpha-2\beta}}y_\varepsilon &= \varepsilon^{2\beta}\lambda_\varepsilon y_\varepsilon \quad 1 < x_1 < +\infty. \end{aligned}$$

Теперь обозначая $\varepsilon^{2\beta}\lambda_\varepsilon = \lambda_\varepsilon^{(1)}$, имеем

$$\begin{aligned} -\frac{d^2y_\varepsilon}{dx_1^2} - \bar{c}(x_1)y_\varepsilon &= \lambda_\varepsilon^{(1)}y_\varepsilon \quad 0 < x_1 < 1 \\ -\frac{d^2y_\varepsilon}{dx_1^2} - \frac{c^+(x_1)}{\varepsilon^{2\alpha-2\beta}}y_\varepsilon &= \lambda_\varepsilon^{(1)}y_\varepsilon \quad 1 < x_1 < +\infty. \end{aligned}$$

Очевидно, интересен тот случай, когда $\beta < \alpha$, так как при $\alpha \leq \beta$ никакие стенки не появляются и в первом приближении отсутствует $c^+(x)$.

Далее, обозначая $\varepsilon^{\alpha-\beta} = \varepsilon_1$ имеем

$$\begin{aligned} -\frac{d^2y_\varepsilon}{dx_1^2} - \bar{c}(x_1)y_\varepsilon &= \lambda_\varepsilon^{(1)}y_\varepsilon \\ -\frac{d^2y_\varepsilon}{dx_1^2} + \frac{c^+(x_1)}{\varepsilon_1^2}y_\varepsilon &= \lambda_\varepsilon^{(1)}y_\varepsilon. \end{aligned}$$

Следовательно, задачу (1), (2), (3) привели к следующей задаче: найти асимптотическое разложение по малому параметру ε собственных функций и собственных значений оператора

$$\bar{L}_\varepsilon y_\varepsilon \equiv -\frac{d^2y_\varepsilon}{dx_1^2} + c_\varepsilon(x_1)y_\varepsilon, \quad (4)$$

$$\text{где } \bar{c}_\varepsilon(x_1) = \begin{cases} -\bar{c}(x_1) & 0 < x_1 < 1 \quad \bar{c}(x_1) \geq 0 \\ \frac{c^+(x_1)}{\varepsilon_1^2} & 1 < x_1 < +\infty \quad c^+(x_1) \geq p_0 > 0 \end{cases}$$

при условиях „склейки“

$$y_\varepsilon|_{x_1=1-0} = y_\varepsilon|_{x_1=1+0}, \quad \frac{dy_\varepsilon}{dx_1}|_{x_1=1-0} = \frac{dy_\varepsilon}{dx_1}|_{x_1=1+0}$$

и при граничных условиях

$$y_\varepsilon|_{x_1=0} = 0 \quad y_\varepsilon|_{x_1=+\infty} = 0.$$

Заменяя $c_\varepsilon^{(1)}(x_1) = c_\varepsilon(x_1) + k$, где $k \geq \max \bar{c}_\varepsilon(x_1)$, потенциальную функцию вида (4) можно привести к виду

$$c_\varepsilon^{(1)}(x_1) = \begin{cases} k - \bar{c}(x_1) & k - \bar{c}(x_1) \geq 0, 0 < x_1 < 1 \\ \frac{c^+(x_1) + k\varepsilon_1^2}{\varepsilon_1^2} & c^+(x_1) \geq p_0 > 0, 1 < x_1 < +\infty \end{cases}$$

Тем самым задача (1), (2), (3), рассмотренная в этой заметке, сводится к задаче, рассмотренной в работе [4]:

найти асимптотическое разложение по малому параметру ε_1 собственных функций и собственных значений оператора,

$$\text{где } L_\varepsilon^{(1)}y_\varepsilon \equiv -\frac{d^2y_\varepsilon}{dx_1^2} + c_\varepsilon^{(1)}(x_1)y_\varepsilon, \quad (5)$$

$$c_\varepsilon^{(1)}(x) = \begin{cases} \bar{c}_1(x_1) & \bar{c}_1(x_1) = -\bar{c}(x_1) + k \geq 0, 0 < x_1 < 1 \\ \frac{c^+(x_1) + k\varepsilon_1^2}{\varepsilon_1^2} & c^+(x_1) \geq p_0 > 0, 1 < x_1 < +\infty \end{cases}$$

при условиях „склейки“

$$y_\varepsilon|_{x_1=1-0} = y_\varepsilon|_{x_1=1+0}, \quad \frac{dy_\varepsilon}{dx_1}|_{x_1=1-0} = \frac{dy_\varepsilon}{dx_1}|_{x_1=1+0}$$

и при граничных условиях

$$y_\varepsilon|_{x_1=0} = 0 \quad y_\varepsilon|_{x_1=+\infty} = 0 \quad (7)$$

В силу теоремы 1 в работе [4], можно утверждать справедливость следующих теорем для оператора $L_\varepsilon^{(1)}$

Теорема 1. Если $\lim_{k \rightarrow \infty} \frac{c^+(x_1) + k\varepsilon_1^2}{\varepsilon_1^2} = \frac{c_0}{\varepsilon_1^2}$, то на полуоси $x < \frac{c_0}{\varepsilon_1^2}$

спектр оператора $L_\varepsilon^{(1)}$ может быть только дискретным, причем все его собственные значения $\lambda_\varepsilon^{(1)}$ близки к соответствующим собственным значениям λ_{10} оператора L_0 , точнее для любого фиксированного i имеет место оценка

$$|\lambda_\varepsilon^{(1)} - \lambda_{10}| \leq b_i \varepsilon^{1/2},$$

где b_i не зависит от параметра ε .

Теорема 2. Пусть на интервале $(0, +\infty)$ дан обыкновенный дифференциальный оператор второго порядка (5) при условиях склейки (6) и при граничных условиях (7). Тогда для i -го собственного значения $\lambda_\varepsilon^{(1)}$ и для соответствующей i -ой собственной функции

* Под оператором L_0 понимается оператор, заданный формулой $L_0 y \equiv -\frac{d^2y}{dx^2} + c^-(x_1)y$ и действующий на функции, заданные лишь на отрезке $(0; 1)$ и обращающиеся в нуль на обоих концах интервала.

ции $y_{i\epsilon}$ оператора (5) (с условиями (6), (7) имеют место следующие асимптотические разложения:

$$\lambda_{i\epsilon}^{(1)} = \sum \epsilon_1^k \mu_k + \epsilon_1^{m+1} \delta_{m+1}, \quad \delta_{m+1} = O(1)$$

$$y_{i\epsilon}^{(1)} = y_{i\epsilon, m} + \epsilon_1^{m+1} z_m, \quad \|z_m\| L_R(0, \infty) = O(1),$$

где

$$y_{i\epsilon, m} = \begin{cases} \omega_0 + \epsilon_1 \omega_1 + \dots + \epsilon_1^m \omega_m + \epsilon_1^{m+1} \alpha, & 0 < x_1 < 1 \\ 0 + \epsilon_1 v_1 + \dots + \epsilon_1^m v_m + \epsilon_1^{m+1} v_{m+1} + \epsilon_1^{m+2} v_{m+2}, & 1 < x_1 < +\infty \end{cases}$$

$\omega_0, \omega_1, \dots, \omega_k, v_0, \dots, v_k, \mu_0, \mu_1, \dots, \mu_k$ определяются буквально так же, как в работе [4].

Теперь, учитывая $\lambda_{i\epsilon}^{(1)} = \epsilon^{2\beta} \lambda_{i\epsilon}$ и $\epsilon_1 = \epsilon^{a-\beta}$, приходим к следующей теореме о разложении для исходного собственного значения $\lambda_{i\epsilon}$ и для соответствующей исходной собственной функции $y_{i\epsilon}$.

Теорема 3. Пусть на интервале $(0, +\infty)$ дан обыкновенный дифференциальный оператор второго порядка (1) при условиях склейки (2) и при граничных условиях (3).

Тогда для i -го собственного значения $\lambda_{i\epsilon}$ оператора L_ϵ и для соответствующей i -ой собственной функции $y_{i\epsilon}$ этого оператора имеют место следующие асимптотические разложения

$$\lambda_{i\epsilon} = \frac{1}{\epsilon^{2\beta}} (\mu_0 + \epsilon^{a-\beta} \mu_1 + \dots + \epsilon^{m(a-\beta)} \mu_m + \epsilon^{(m+1)(a-\beta)} \delta_{m+1}), \quad \delta_{m+1} = O(1)$$

$$y_{i\epsilon} = y_{i\epsilon, m} + \epsilon^{(m+1)(a-\beta)} z_m, \quad \|z_m\| = O(1),$$

причем

$$y_{i\epsilon, m} = \begin{cases} \omega_0(x_1) + \epsilon^{a-\beta} \omega_1(x_1) + \dots + \epsilon^{m(a-\beta)} \omega_m(x_1) + \epsilon^{(m+1)(a-\beta)} \alpha \\ \epsilon^{a-\beta} v_1 + \dots + \epsilon^{m(a-\beta)} v_m + \epsilon^{(m+1)(a-\beta)} v_{m+1} + \epsilon^{(m+2)(a-\beta)} v_{m+2} \end{cases}$$

здесь $\mu_0 = \lambda_{i0}$ есть i -ое собственное значение, а $\omega_0 = u_{i0}$ соответствующая i -я собственная функция оператора

$$L_0 y \equiv - \frac{d^2 y}{dx_1^2} + c_1(x_1) y$$

при условиях

$$y|_{x_1=0} = 0, \quad y|_{x_1=1} = 0.$$

Функции ω_j определяются как решение рекуррентных задач на отрезке $[0, 1]$, полученных с помощью первого итерационного процесса. u_j — функции типа пограничного слоя, определяются как решение рекуррентных задач, полученных с помощью второго итерационного процесса. μ_j определяются из условия разрешимости задач, полученных для определения ω_j (см. [4]).

ЛИТЕРАТУРА

- Блохинцев Д. И. Основы квантовой механики ГГТН, 1949.
- Вишик М. И., Люстерник Л. А. Регулярное вырождение и пограничный слой для линейных дифференциальных уравнений с малым параметром, УМН XII, вып. 5, 1957, 3.
- Вишик М. И., Люстерник Л. А. Асимптотическое поведение решений дифференциальных уравнений с большими и быстро изменяющимися коэффициентами. ДАН Азерб. ССР, 125, 1959, № 2. 4. Гусейнбекова А. М. Асимптотическое разложение собственных функций и собственных значений в задачах с потенциальной ямой. Изв. АН Азерб. ССР, 1950, № 6.

А. М. Эһмәдова

Еңсиз вә дар потенциал чөкүккү мәсәләләрдә мәхсуси гијмәт вә мәхсуси функцијаларын асимптотик тәфриги

ХҮЛАСӘ

Бу мәгаләдә

$$L_\epsilon y_\epsilon \equiv - \frac{d^2 y_\epsilon}{dx^2} + c_\epsilon(x) y_\epsilon, \quad (1)$$

$$c_\epsilon(x) = \begin{cases} -c^- \left(\frac{x}{\epsilon^\beta} \right) & 0 < x < \epsilon^\beta \\ c^+ \left(\frac{x}{\epsilon^\beta} \right) & \epsilon^\beta < x < +\infty \end{cases}$$

операторуна бахылыр.

(1) операторунун $x = \epsilon^\beta$ нөгтәсендә

$$y_\epsilon|_{x=\epsilon^\beta} = y_\epsilon|_{x=\epsilon^\beta} + 0, \quad \frac{dy_\epsilon}{dx}|_{x=\epsilon^\beta} = \frac{dy_\epsilon}{dx}|_{x=\epsilon^\beta} \Big|_{x=\epsilon^\beta} + 0$$

шәртләрни вә

$$y_\epsilon|_{x=0} = 0, \quad y_\epsilon|_{x=+\infty} = 0$$

сәрһәд шәртләрни өдәјән мәхсуси гијмәт вә мәхсуси функцијаларын тапылмасы мәсәләси әввәлки мәгаләдә [4] бахылан ашағыдағы форма кәтирилир:

$$L_\epsilon^{(1)} y_\epsilon \equiv - \frac{d^2 y_\epsilon}{dx_1^2} + c_\epsilon^{(1)}(x_1) y_\epsilon, \quad (1)$$

Бурада

$$c_\epsilon^{(1)}(x_1) = \begin{cases} c_1^-(x_1) & c_1^-(x_1) \geq 0, \quad 0 < x_1 < 1 \\ \frac{c_1^+(x_1) + k \epsilon_1^2}{\epsilon_1^2} & c_1^+(x_1) \geq \beta_0^0, \quad 1 < x_1 < +\infty \end{cases}$$

операторунун

$$y_\epsilon|_{x_1=1} = y_\epsilon|_{x_1=1+0}, \quad \frac{dy_\epsilon}{dx_1}|_{x_1=1-0} = \frac{dy_\epsilon}{dx_1}|_{x_1=1+0}$$

шәртләрни вә

$$y_\epsilon|_{x_1=0} = 0, \quad y_\epsilon|_{x_1=+\infty} = 0$$

сәрһәд шәртләрни өдәјән мәхсуси гијмәт вә мәхсуси функцијалары кичик ϵ параметринә кәре асимптотик тәфригинин тапылмасына кәтирилир.

Р. И. АЛИХАНОВА

О ЗАДАЧЕ КОШИ ДЛЯ ОДНОГО
КВАЗИ-ПАРАБОЛИЧЕСКОГО УРАВНЕНИЯ

(Представлено академиком АН Азербайджанской ССР З. И. Халиловым)

Настоящая работа является развитием работы [1] для интегродифференциального уравнения

$$\frac{du(t, x)}{dt} = - \sum_{|m| < 2r} \varphi^m \left[\int_{R_n} u^2(t, \xi) d\xi \right] A_m(t) D^m u(t, x) \quad (1)$$

при начальном условии

$$u(t, x)|_{t=0} = u_0(x). \quad (2)$$

Здесь $m = (m_1, m_2, \dots, m_n)$, $|m| = m_1 + m_2 + \dots + m_n$;

R_n — n -мерное евклидово пространство: $-\infty < x_s < +\infty$, $s = 1, 2, \dots, n$;
 $x = (x_1, x_2, \dots, x_n)$, $\xi = (\xi_1, \xi_2, \dots, \xi_n)$; $p = (p_1, p_2, \dots, p_n)$, $p^m = p_1^{m_1} p_2^{m_2} \dots p_n^{m_n}$,

$|p| = \sqrt{p_1^2 + p_2^2 + \dots + p_n^2}$; $D^m = D_1^{m_1} D_2^{m_2} \dots D_n^{m_n}$, $D_k = \frac{d}{dx_k}$, $k = 1, 2, \dots, n$;

$t \geq 0$, $x \geq 0$.

Предполагается, что

$$0 \leq \sum_{|m| < 2r} \varphi^m(z) A_m(t) p^m \leq C_0 [1 + |p|^2]^r,$$

где $C_0 > 0$ —определенное число, не зависящее от t и z .

Форма $\sum_{|m| < 2r} \varphi^m(z) A_m(t) p^m$ монотонно убывает по z при фиксирован-

ном t и вещественном векторе p . Функция $u_0(x)$ будет охарактеризована впоследствии. Решение ищется в классе функций, исчезающих вблизи бесконечности со своими производными $< 2r-1$ порядка и сводится к решению двойственной задачи следующим образом.

Пусть

$$v(t, p) = \int e^{i(p, x)} u(t, x) dx,$$

где интеграл распространяется по всему пространству R_n ; $(p, x) = p_1 x_1 + p_2 x_2 + \dots + p_n x_n$

Легко проверить, что $v(t, x)$ есть формальное решение задачи [1], [2], если $v(t, p)$ — решение двойственной задачи

$$\frac{dv(t, p)}{dt} = - \sum_{|m| < 2r} \varphi^m [\int v^2(t, p) dp] A_m(t) p^m v(t, p) \quad (1')$$

при начальном условии

$$v(t, p)|_{t=0} = v_0(p). \quad (2')$$

Предположим, что

$$0 \leq v_0(p) \leq \frac{N}{[1 + |p|^2]^{r + \frac{n+1}{2}}}, \quad (3)$$

где $N > 0$ — определенное число.

При этом предположении ясно, что интегралы

$$\int [1 + |p|^2]^{2r + \frac{n+1}{2}} v_0^2(p) dp \quad (4)$$

$$\int v_0^2(p) dp \quad (5)$$

сходятся.

Имеет место

Лемма 1. При выполнении неравенства (3) интеграл

$$\int [1 + |p|^2]^{2r + \frac{n+1}{2}} v^2(t, p) dp \quad (6)$$

сходится при $t \geq 0$. Здесь $v(t, p)$ есть формальное решение задачи (1), (2).

Доказательство. Так как $\sum_{|m| < 2r} \varphi^m [\int v^2(t, p) dp] A_m(t) p^m \geq 0$, то из уравнения (1') следует, что

$$v'_t(t, p) v(t, p) \leq 0$$

при $t \geq 0$.

Следовательно, производная по t функции $v^2(t, p)$ не положительна, т. е. $v^2(t, p)$ — невозрастающая функция. Итак,

$$v^2(t, p) \leq v_0^2(p)$$

при любом $t \geq 0$.

А так как при условиях леммы интеграл (4) сходится, то, следовательно, интеграл (6) также сходится для всех $t \geq 0$. Отсюда следует также сходимость интеграла

$$\int v^2(t, p) dp$$

для всех $t \geq 0$.

Лемма II. При выполнении неравенства (3) интеграл

$$\int [v'_t(t, p)]^2 dp \quad (7)$$

сходится для всех $t \geq 0$.

Доказательство. Обе части равенства (1') возведем в квадрат и проинтегрируем по p . Получим

$$\int [v'_t(t, p)]^2 dp = \int \left\{ \sum_{|m| < 2r} \varphi^m [\int v^2(t, p) dp] A_m(t) p^m v(t, p) \right\}^2 dp.$$

Отсюда

$$\int [v'_t(t, p)]^2 dp \leq C_0^2 \int [1 + |p|^2]^{2r} v^2(t, p) dp$$

Согласно лемме 1, отсюда вытекает сходимость интеграла (7) для всех $t \geq 0$.

Лемма III. При выполнении неравенства (3) интеграл

$$\int [1 + |p|^2]^r |v(t, p)| dp \quad (8)$$

сходится для всех $t \geq 0$.

Доказательство. Применив неравенство Шварца, имеем

$$\int [1 + |p|^2]^r |v(t, p)| dp \leq \sqrt{\int [1 + |p|^2]^{2r + \frac{n+1}{2}} v^2(t, p) dp} \times \\ \times \sqrt{\int \frac{1}{[1 + |p|^2]^{\frac{n+1}{2}}} dp}.$$

Отсюда, в силу леммы 1, следует сходимость интеграла (8) для всех $t \geq 0$.

Лемма IV. При выполнении неравенства (3) интеграл

$$\int |v'_t(t, p)| dp \quad (9)$$

сходится для всех $t \geq 0$.

Доказательство. Из уравнения (1') получаем

$$|v'_t(t, p)| \leq C_0 [1 + |p|^2]^r |v(t, p)|.$$

Обе части этого неравенства проинтегрируем по p . Получим

$$\int |v'_t(t, p)| dp \leq C_0 \int [1 + |p|^2]^r |v(t, p)| dp.$$

Откуда, в силу леммы III, вытекает сходимость интеграла (9) для всех $t \geq 0$.

Теперь докажем, что задача (1'), (2') имеет решение.

Задача (1'), (2') эквивалентна следующему интегральному уравнению

$$v(t, p) = v_0(p) e^{- \int_0^t \sum_{|m| < 2r} \varphi^m [\int v^2(\tau, p) d\tau] p^m A_m(\tau) d\tau}$$

Применим метод последовательных приближений. За нулевое приближение берем $v_0(p)$.

Следующие приближения определяем из равенств

$$v_n(t, p) = v_0(p) e^{- \int_0^t \sum_{|m| < 2r} \varphi^m [\int v_{n-1}^2(\tau, p) d\tau] A_m(\tau) p^m d\tau} \quad (10)$$

Интегралы

$$\int v_n^2(t, p) dp \quad (11)$$

сходятся для всех $t \geq 0$.

Действительно,

$$\int v_n^2(t, p) dp = \int v_0^2(p) e^{-2 \int_0^t \sum_{|m| < 2r} \varphi^m [\int v_{n-1}^2(\tau, p) d\tau] A_m(\tau) p^m d\tau} dp \leq \int v_0^2(p) dp$$

Следовательно, интегралы (11) сходятся для всех $t \geq 0$.

Теперь покажем существование предела

$$V(t, p) = \lim_{\nu \rightarrow \infty} v_\nu(t, p).$$

Рассмотрим последовательность функций

$$v_0(p), v_1(t, p), v_2(t, p), \dots, v_\nu(t, p), \dots$$

Для этой последовательности справедливо следующее соотношение

$$v_\nu(t, p) \leq v_{\nu-1}(t, p).$$

Докажем это методом математической индукции. Возьмем $\nu=1$.

$$v_1(t, p) = v_0(p) e^{-\int_0^t \sum_{|m|<2r} \varphi^m [\int v_0^2(\tau, p) d\tau] A_m(\tau) p^m d\tau} \leq v_0(p).$$

Теперь при предположении

$$v_{\nu-1}(t, p) \leq v_{\nu-2}(t, p).$$

докажем, что

$$v_\nu(t, p) \leq v_{\nu-1}(t, p).$$

Так как при

$$v_{\nu-1}(t, p) \leq v_{\nu-2}(t, p).$$

имеем

$$\sum_{|m|<2r} \varphi^m [\int v_{\nu-2}^2(\tau, p) d\tau] A_m(\tau) p^m d\tau \leq \sum_{|m|<2r} \varphi^m [\int v_{\nu-1}^2(\tau, p) d\tau] A_m(\tau) p^m d\tau,$$

то

$$v_0(p) e^{-\int_0^t \sum_{|m|<2r} \varphi^m [\int v_{\nu-1}^2(\tau, p) d\tau] A_m(\tau) p^m d\tau} \leq v_0(p) e^{-\int_0^t \sum_{|m|<2r} \varphi^m [\int v_{\nu-2}^2(\tau, p) d\tau] A_m(\tau) p^m d\tau}.$$

т. е.

$$v_\nu(t, p) \leq v_{\nu-1}(t, p).$$

Следовательно, $v_\nu(t, p)$ при возрастании ν не возрастает. Функции $v_\nu(t, p)$ ограничены снизу:

$$v_\nu(t, p) = v_0(p) e^{-\int_0^t \sum_{|m|<2r} \varphi^m [\int v_{\nu-1}^2(\tau, p) d\tau] A_m(\tau) p^m d\tau} \geq 0.$$

Таким образом, мы доказали, что $v_\nu(t, p)$ — функции, ограниченные снизу и не возрастающие при возрастании ν . На основании принципа Арцела, предел

$$V(t, p) = \lim_{\nu \rightarrow \infty} v_\nu(t, p)$$

существует.

Переходя к пределу в равенстве (10) при $\nu \rightarrow \infty$, получаем тождество

$$V(t, p) = v_0(p) e^{-\int_0^t \sum_{|m|<2r} \varphi^m [\int v^2(\tau, p) d\tau] A_m(\tau) p^m d\tau},$$

т. е. $V(t, p)$ есть решение (10), а следовательно, задачи (1'), (2').

12

Решение задачи (1), (2) находим при помощи формулы обращения

$$u(t, x) = \left(\frac{1}{2\pi} \right)^n \int V(t, p) e^{-i(p, x)} dp. \quad (12)$$

Теперь остается показать, что интеграл (12) сходится вместе со своими производными $\leq 2r$ порядка по x и первой производной по t . Сходимость интеграла (12) вытекает из леммы III. В самом деле, из (12) имеем

$$|u(t, x)| \leq \left(\frac{1}{2\pi} \right)^n \int |V(t, p)| |e^{-i(p, x)}| dp = \left(\frac{1}{2\pi} \right)^n \int |V(t, p)| dp.$$

В силу леммы III, интеграл (12) сходится для всех $t \geq 0$. Далее имеем

$$\left| \frac{du(t, x)}{dt} \right| \leq \left(\frac{1}{2\pi} \right)^n \int |V'_t(t, p)| |e^{-i(p, x)}| dp = \left(\frac{1}{2\pi} \right)^n \int |V'_t(t, p)| dp.$$

Этот интеграл сходится, на основании леммы IV.

Теперь покажем, что производные $\leq 2r$ порядка по x интеграла (12) также сходятся.

Имеем

$$|D^m u(t, x)| \leq \left(\frac{1}{2\pi} \right)^n \int |p|^m |V(t, p)| |e^{-i(p, x)}| dp = \\ = \left(\frac{1}{2\pi} \right)^n \int |p|^m |V(t, p)| dp \leq \left(\frac{1}{2\pi} \right)^n C \int [1 + |p|^2]^m |V(t, p)| dp.$$

Этот интеграл сходится, на основании леммы III.

Следовательно, интеграл (12) представляет собой требуемое решение задачи (1), (2).

Замечание. В работе [1] относительно начальной функции $v_0(t)$ сделано предположение

$$-\alpha^2 \leq v_0(p) \leq \frac{N}{|p|+1}^{2+\delta+1}.$$

Авторы заметили, что для метода, примененного в работе [1], указанное условие надо заменить условием

$$0 \leq v_0(p) \leq \frac{N}{|p|+1}^{2+\delta+1}.$$

В заключение хочу выразить глубокую благодарность моему научному руководителю Г. Н. Агаеву за предложенную им задачу и повседневно оказываемую помощь в работе.

ЛИТЕРАТУРА

1. Агаев Г. Н., Алиханова Р. И. Об одной задаче Коши для функционального уравнения. Труды Ин-та математики и механики АН Азерб. ССР, т. X, 1963.
2. Бериндей С. Н. Об одном классе функциональных уравнений с частными производными. "Изв. АН СССР, серия математич.", 1940, т. 4 № 1. З. Шилов Г. Е. Математический анализ. Спец. курс. Физматгиз, 1960.

Институт математики и механики

Поступило 2. VII 1963

ХУЛАСӘ

Мәгаләдә (1) интегро-диференциал тәнлийинин (2) шәрти дахилиннада һәлли тәдгиг едилир.

Фурје чөврилмәсийин көмәклини илә (1), (2) мәсәләси (1'), (2') икili мәсәләсийин һәллине кәтирилир.

Бир нечә көмәкчи лемма исбат олунур. Ардычыл јахыналашма үсүлү илә (1), (2) еләчә дә (1'), (2') мәсәләләринин һәллиниң варлығы исбат олунур.

МАТЕМАТИКА

И. Ш. ИБРАМХАЛИЛОВ

ОБ ОДНОМ СПОСОБЕ УЛУЧШЕНИЯ ОЦЕНКИ ПАРАМЕТРОВ

(Представлено академиком АН Украинской ССР Ю. О. Митропольским)

Будем рассматривать последовательность $\xi_1, \xi_2, \dots, \xi_n$ независимых одинаково распределенных случайных величин с функцией распределения $F(x, \alpha)$.

Предположим, что для функций $\psi(x, \alpha)$ выполнены следующие условия:

1. При любом α из некоторого интервала A

$$\int \psi(x, \alpha) dF(x, \alpha) = 0.$$

2. При любом $\alpha \in A$ для почти всех x существуют непрерывные ограниченные производные до третьего порядка

$$\frac{\partial \psi(x, \alpha)}{\partial \alpha}, \frac{\partial^2 \psi(x, \alpha)}{\partial \alpha^2}, \frac{\partial^3 \psi(x, \alpha)}{\partial \alpha^3} \text{ и } \frac{\partial^i \psi(x, \alpha)}{\partial \alpha^i} \neq 0, \quad i=1,2.$$

Мы желаем найти оценку, удовлетворяющую уравнение

$$\sum_{i=1}^n \psi(\xi_i, \alpha) = 0. \quad (1)$$

Уравнение (1) часто нельзя решить в явном виде. Приближенные решения уравнения (1) возможны, если имеется какая-нибудь оценка параметра α .

Пусть

$$\alpha_1^* = \alpha_0 + \frac{\gamma_{1n}}{\sqrt{n}},$$

некоторая оценка параметра $\alpha \neq 0$, где γ_{1n} асимптотически нормально $(0, b)$. Используем эту оценку для нахождения оценки из уравнения (1). Это имеет смысл, если оценка, полученная из (1), имеет большую асимптотическую эффективность.

Разложим функцию $\psi(x, \alpha)$ в ряд Тейлора по степеням. $\alpha - \alpha_1^*$, получим

$$\sum_{i=1}^n \psi(\xi_i, \alpha_i^*) + \sum_{i=1}^n \frac{\partial \psi(\xi_i, \alpha_i^*)}{\partial \alpha} (\bar{\alpha} - \alpha_i^*) + \\ + \frac{1}{2} \sum_{i=1}^n \frac{\partial^2 \psi(\xi_i, \alpha_i^*)}{\partial \alpha^2} (\bar{\alpha} - \alpha_i^*)^2 + \frac{1}{6} \sum_{i=1}^n \frac{\partial^3 \psi(\xi_i, \bar{\alpha})}{\partial \alpha^3} (\bar{\alpha} - \alpha_i^*)^3 = 0,$$

где $\bar{\alpha} \in (\alpha_i^*, \bar{\alpha})$

Кроме этого, напишем уравнение вида:

$$A_n + B_n (\bar{\alpha} - \alpha_i^*) + C_n (\bar{\alpha} - \alpha_i^*)^2 = 0, \quad (2)$$

где

$$A_n = \sum_{i=1}^n \psi(\xi_i, \alpha_i^*), \quad B_n = \sum_{i=1}^n \frac{\partial \psi(\xi_i, \alpha_i^*)}{\partial \alpha} \\ C_n = \frac{1}{2} \sum_{i=1}^n \frac{\partial^2 \psi(\xi_i, \alpha)}{\partial \alpha^2}.$$

Из (2) получим

$$\bar{\alpha} - \alpha_i^* = \frac{-B_n \pm \sqrt{B_n^2 - 4A_n C_n}}{2C_n}. \quad (3)$$

Очевидно, что $\bar{\alpha}$ есть решение уравнения

$$\sum_{i=1}^n \psi(\xi_i, \bar{\alpha}) = d,$$

где

$$d = \frac{1}{6} \sum_{i=1}^n \frac{\partial^3 \psi(\xi_i, \bar{\alpha})}{\partial \alpha^3} (\bar{\alpha} - \alpha_i^*)^3$$

и $\bar{\alpha}_i \in (\alpha_i^*, \bar{\alpha})$. Решением точного уравнения

$$\sum_{i=1}^n \psi(\xi_i, \bar{\alpha}) = 0$$

будет $\bar{\alpha}$.

Покажем следующее:

$$1. \bar{\alpha} - \alpha_i^* = 0 \left(\frac{1}{\sqrt{n}} \right)$$

2. $n^{-\frac{2}{3}} (\bar{\alpha} - \bar{\alpha})$ — ограничено по вероятности.

3. $\bar{\alpha}$ — асимптотически нормально и сходится по вероятности к α_0 .
Напишем

$$d = \sum_{i=1}^n \psi(\xi_i, \bar{\alpha}) - \sum_{i=1}^n \psi(\xi_i, \bar{\alpha}).$$

По формуле Лагранжа конечных разностей

$$\psi(x, \bar{\alpha}) - \psi(x, \alpha) = \frac{\partial \psi(x, \alpha)}{\partial \alpha} (\bar{\alpha} - \alpha),$$

где $\bar{\alpha} \in (\alpha, \bar{\alpha})$. Тогда получим

$$d = \sum_{i=1}^n \frac{\partial \psi(\xi_i, \bar{\alpha})}{\partial \alpha} (\bar{\alpha} - \alpha).$$

Следовательно,

$$\bar{\alpha} - \alpha = - \frac{d}{\sum_{i=1}^n \frac{\partial \psi(\xi_i, \bar{\alpha})}{\partial \alpha}}$$

Учитывая значение d , можем написать следующее соотношение:

$$|\bar{\alpha} - \alpha| \leq \frac{\frac{1}{6} \left| \sum_{i=1}^n \frac{\partial^3 \psi(\xi_i, \bar{\alpha})}{\partial \alpha^3} \right|}{\left| \sum_{i=1}^n \frac{\partial \psi(\xi_i, \bar{\alpha})}{\partial \alpha} \right|} |\bar{\alpha} - \alpha|^3.$$

Очевидно, что при $n \rightarrow \infty$

$$\frac{\sum_{i=1}^n \frac{\partial^3 \psi(\xi_i, \bar{\alpha})}{\partial \alpha^3}}{\sum_{i=1}^n \frac{\partial \psi(\xi_i, \bar{\alpha})}{\partial \alpha}} \xrightarrow{\substack{\int \frac{\partial^3 \psi(x, \alpha)}{\partial \alpha^3} dF(x, \alpha) \\ \int \frac{\partial \psi(x, \alpha)}{\partial \alpha} dF(x, \alpha)}} = L < \infty.$$

(сходимость по вероятности)

Тогда получим

$$|\bar{\alpha} - \alpha| \leq |\bar{\alpha} - \alpha|^3. \quad (4)$$

Для того чтобы окончательно оценить $|\bar{\alpha} - \alpha|$, и, следовательно, $|\bar{\alpha} - \bar{\alpha}|$, рассмотрим следующее:

$$a) \frac{A_n}{n} = \frac{1}{n} \sum_{i=1}^n \psi(\xi_i, \alpha_i^*).$$

Функцию $\psi(x, \alpha_i^*)$ разложим в ряд Тейлора по степеням разности $\alpha_i^* - \alpha_0$, сохранив только два члена. Тогда получим

$$\frac{A_n}{n} = \frac{1}{n} \sum_{i=1}^n \psi(\xi_i, \alpha_0) + \frac{1}{n} \sum_{i=1}^n \frac{\partial \psi(\xi_i, \bar{\alpha}_2)}{\partial \alpha} (\alpha_i^* - \alpha_0),$$

где $\bar{\alpha}_2 \in (\alpha_0, \alpha_i^*)$. Очевидно, что с вероятностью 1 при $n \rightarrow \infty$

274-2

п ЧЧ 240

Центральная научная
библиотека
Академии наук ССР

$$-\frac{1}{n} \sum_{i=1}^n \psi(\xi_i, \alpha_0) \rightarrow 0$$

и величина $\frac{1}{n} \sum_{i=1}^n \frac{\partial \psi(\xi_i, \alpha)}{\partial \alpha}$ при $n \rightarrow \infty$

сходится по вероятности к ограниченной величине. Кроме этого,

$$\alpha_1^* - \alpha_0 = \frac{\eta_n}{\sqrt{n}},$$

следовательно, очевидно, что

$$\frac{A_n}{n} = 0 \left(\frac{1}{\sqrt{n}} \right).$$

Таким же образом, как а) получим, что

$$6) \frac{B_n}{n} = \frac{1}{n} \sum_{i=1}^n \frac{\partial \psi(\xi_i, \alpha_0)}{\partial \alpha} + \frac{1}{n} \sum_{i=1}^n \frac{\partial^2 \psi(\xi_i, \beta_1)}{\partial \alpha^2} (\alpha_1^* - \alpha_0).$$

$$v) \frac{C_n}{n} = \frac{1}{2n} \sum_{i=1}^n \frac{\partial^2 \psi(\xi_i, \alpha_0)}{\partial \alpha^2} + \frac{1}{2n} \sum_{i=1}^n \frac{\partial^3 \psi(\xi_i, \beta_2)}{\partial \alpha^3} (\alpha_1^* - \alpha_0),$$

где $\beta_i \in (\alpha_0, \alpha_1^*)$, $i=1, 2$.

Из а), б) и в) следует, что при $n \rightarrow \infty$

$$\begin{aligned} \frac{A_n}{n} &\rightarrow 0, \quad \frac{B_n}{n} \rightarrow \int \frac{\partial \psi(x, \alpha)}{\partial \alpha} dF(x, \alpha), \\ \frac{C_n}{n} &\rightarrow \frac{1}{2} \int \frac{\partial^2 \psi(x, \alpha)}{\partial \alpha^2} dF(x, \alpha) \end{aligned}$$

(сходимость по вероятности).

Заметим, что в формуле (3) квадратный корень из $\beta_n^2 - 4A_n C_n$ берется с таким знаком, чтобы величина $|\bar{\alpha} - \alpha_1^*|$ принимала наименшее значение.

(3) можем написать в виде:

$$\bar{\alpha} - \alpha_1^* = \frac{-2A_n \operatorname{sign} B_n}{\sqrt{B_n^2 - 4A_n C_n} + |B_n|}$$

Из этого следует, что при достаточно больших n можно написать

$$\bar{\alpha} - \alpha_1^* \sim \frac{A_n}{|B_n|}$$

или

$$\bar{\alpha} - \alpha_1^* = 0 \left(\frac{1}{\sqrt{n}} \right).$$

Тогда

$$(\bar{\alpha} - \alpha_1^*)^2 = 0(n^{-1}),$$

следовательно,

$$\bar{\alpha} - \alpha_1^* = 0(n^{-1}),$$

Тогда можем написать оценку вида

$$\bar{\alpha}^* = \alpha_1^* + z_n,$$

где

$$z_n = \frac{-B_n + \sqrt{B_n^2 - 4A_n C_n}}{2C_n}.$$

z_n сходится по вероятности к нулю.

Оценка $\bar{\alpha}^*$ обладает теми же асимптотическими свойствами, что и α^* , являющаяся решением (1). Значит, оценка $\bar{\alpha}^*$ асимптотически нормальна и состоятельна.

Замечание. Если исходная оценка

$$\alpha_1^* = \alpha_0 + \frac{\eta_n}{n^\epsilon}$$

где $\epsilon > 0$, то, применяя несколько раз указанную процедуру, можем получить оценку, имеющую ту же асимптотическую эффективность, что и $\bar{\alpha}^*$.

В заключение этой статьи выражаю свою сердечную благодарность профессору Анатолию Владимировичу Скороходу, помочь и замечания которого сделали эту работу возможной.

ЛИТЕРАТУРА

1. Крамер Г. Математические методы статистики, М., ИЛ., 1948. 2. Ибрамхэлилов И. Ш. Некоторые методы оценки параметров распределений. ДАН Азерб. ССР.

Киевский государственный
университет

Поступило 24. IX 1963

И. Ш. Ибрамхэлилов

Пајлама параметрләрин гијмәтләрини дәғигләшdirмәjин бир үсулу

ХУЛАСӘ

Параметрләрин мүәjjән гијмәтләри мә'лумдурса, онлары һәмишә дәғигләшdirмәk мүмкүндүр. Мәгаләдә параметрләрин гијмәтләрини дәғигләшdirмәk үсулу вернилir вә алынан гијмәтләрин җаxшы асимптотик хассәләрә малик олдуғу көстәрилir.

И. Л. БАГБАНЛЫ, К. Н. НӘЧӘФОВА

КОБАЛТЫН РЕЈНЕКЕ ДУЗУ ВАСИТӘСИЛӘ ҺӘЧМИ
МЕТОДЛА ТӘ'ЈИНИ

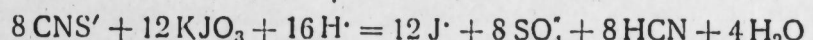
(Азәрбајҹан ССР ЕА әкадемики М. Ф. Нагыјев төгдим етмишdir)

Иківалентли кобалтын Рейнеке дузу тә'сири алтында әмәлә қәтиридиң һексаминкобалто-рејнекеат $[Co(NH_3)_6][Cr(CNS)_4(NH_3)_2]_2$ чөкүнтүсүнә әсасланып апарылан тәдгигатын нәтичәсіндә микромигдар кобалтын өзеки методу илә тә'јин едилмәсі шәралы өјрәнилмишdir.

Назыркы ишдә мәғсәд микромигдар кобалтын һәчми методла тә'јин едилмәсі шәралынин өјрәнмәкдән ибаратtdir.

Һәчми метод принцип е'тибары илә кобалтын һексаминкобалто-рејнекеат шәклиндә әмәлә қәтиридиң $[Co(NH_3)_6][Cr(CNS)_4(NH_3)_2]_2$ чөкүнтүсүнүн әсасларла парчаланысадан алышнан роданид ионларынын CNS' хлорид туршусу мүһитиндә KJ_0_3 -ла титрләнмәсі реаксијасына әсасланып.

Чөкүнтүнүн тәркибиндә иштирак едән компонентләрдән анчаг роданид ионлары реаксијада иштирак етдиинидән, титрләмә реаксијасыны ашағыдақы тәнликлә ифадә етмәк олар.

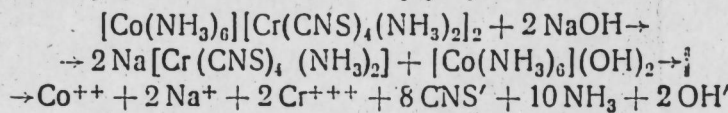


Реаксијадан көрүндүjү кими, бир атом кобалт 12 молекула KJ_0_3 -а эквивалентdir; бурадан да методун чох һәссас [ола биләчәjи аждылашыр.

1 мл кобалт мәһlулу тутуму 50 мл олан стәканта төкүлүр, үзәрине 0,5 мл 1 N— NH_4Cl вә 0,5 мл гаты NH_4OH әlavә едиләрек гарышдырылып; 2—3 дәгигә көзләдикдән соңра әмәлә қәлмиш амиакат комплекс иону $[Co(NH_3)_6]^{++}$ тәзэ һазырланишын вә сүзүлмүш 2,5%-ли Рейнеке дузу мәһlулу илә чөкдүрүлүр.

Көзләнилән һәр 1 мг кобалт үчүн арамсыз гарышдырмаг шәрти илә 1,5 мл чөкдүрүчү әlavә едилir; 15 дәгигә көзләдикдән соңра чөкүнтүнүн үзәриндәki мәһlул зәнif вакуум алтында, кичик диаметрли (5 см) сых сүзкәч кағызыдан сүзүлүр. Чөкүнту 1—2 дамла NH_4OH -ла әсасиләшдирилмиш 1%-ли Рейнеке дузу мәһlулу илә стәкандан сүзкәчә кечирилир. Чөкүнтуу јумаг үчүн бензол вә яхуд 7 : 1 нисбәттindә гарышдырылыш бензол-асетон гарышыбындан истифадә едилмәклә, сүзүнүтдә чөкдүрүчүнүн гырмызы рәнки итәнә кими յуулур.

Чөкүнүү сүзкәң кағызы илә бирликдә кичик бир стәканда (50 мл) кечирилиб, үзәрине 10 мл 5%-лы NaOH әлавә едиләрәк гыздырылып. Мәһлүлүн жашыл рәнк алмасы парчаланманын битдијини көстәрип ки, бу заман мәһлүлдә ашағыдақы схема үзрә роданид ионлары насыл олур.



Мәһлүл 250 мл-лик Ерләнмејер колбасына кечирилип; бу заман мәһлүлүн үмуми һәчми 15—20 мл-дән артыг олмамалыдыр. Мәһлүла 10 мл гаты хлорид туршусу ($d = 1,19$), 10 мл бензол (тиофенләрдән тәмизләнмиш) әлавә едәрәк титри мә'лум KJO₃ мәһлүлу илә титрләнир.

Титрләмәнин сону ахырынчы дамладан сонра бензол лајындақы бәнөвшәжи рәнкин итмәси илә тә'жин едилүр.

Кимјәви тәмиз кобалт дузу үзәринде апарылан тәчрүбәләрин нәтижеси ашағыдақы чәдвәлдә көстәрилмишdir.

ЧӘДВӘЛ

Көтүрүлән кобалтын мигдары мг-ла	Сәрф олупан 0,1N—KJO ₃ мәһлүлу илә		Тапталан кобалтын мигдары		Нисби сәһиб %-ла
	иәзәри һесаб-лаймышдыр	тәчрүбәдә кетмишдири	мг-ла	%-ла	
5,95	48,40	48,60	5,97	100,42	+0,42
5,95	48,40	48,50	5,96	100,20	+0,22
5,95	48,40	48,50	5,96	100,20	+0,22
3,04	24,94	24,80	3,02	99,44	-0,55
3,04	24,94	24,80	3,02	99,44	-0,55
3,04	24,94	24,80	3,02	99,44	-0,55
0,59	4,80	4,80	0,59	100,00	-
0,59	4,80	4,80	0,59	100,00	-
0,59	4,80	4,80	0,59	100,00	-

Чәдвәлин көстәришләрindән айдын олур ки, 0,1 N—KJO₃ мәһлүлүндән истифадә етдиңдә, чөкдүрмәк үчүн көтүрүлән кобалтын мигдары 6 мг-дан артыг оларса, титрләјичи мәһлүл 50 мл-дән, јәни бир бүретдән артыг сәрф ола биләр ки, бу да методике негтеji-нәзәрдән доғру дејилдир. Белә налларда мәһлүлү дурулашдырымагла концентрасијаны азалтмағ мәсләһәтдир. 0,59 мг-дан ашағы концентрасијада олан кобалтын тә'жин едилмәси үзәриндә микроанализ шәрәтиндә тәдгигат давам етдирилүр.

Апарылан тәчрүбәләрдән ашағыдақы нәтижәје кәлмәк олар:

1. Кобалты тә'жин етмәк үчүн, онун Рейнеке дузу илә әмәлә кәтириди һексамминкобалто-рејнекеат бирләшмәснин тәркибиндәки роданид группунун турш мүнитдә KJO₃-ла титрләнмәснә эсасланан јени һәчми метод тәклиф едилүр.

ЭДӘБИЙЛАТ

1. Колътгоф И. М., Белчев Р., Стенгер В. А., Матсуяма Дж. Объемный анализ, т. III, М., 1961, стр. 440. 2. Багбанлы И. Л. "ДАН Азерб. ССР", 1952, т. VIII, № 5. 3. Митчел А. Д., Уорд В. М. Новые методы химического количественного анализа. М.—Л., ОНТИ. Госхимиздат, 1933. 4. Багбанлы И. Л. Применение тетрагранодиамминхромата аммония в аналитической химии редких и цветных металлов. Баку, 1961.

Кимја Институту

И. Л. Багбанлы, К. Н. Наджафова

Объемно-иодатометрический метод определения кобальта с применением соли Рейнеке

РЕЗЮМЕ

Аммиачно-комплексный ион кобальта $[\text{Co}(\text{NH}_3)_6]^{++}$ при взаимодействии с солью Рейнеке, применяемой в качестве избирательного осадителя, образует в аммиачно-щелочной среде с кобальтом окрашенный, характерный для кобальта кристаллический осадок.

Профильтрованный и промытый осадок разлагается едкой щелочью слабым нагреванием; при этом раствор обогащается ионами роданида CNS, которые выделяются в эквивалентном количестве по отношению к кобальту. Раствор подкисляется соляной кислотой, и выделившиеся ионы роданида титруются раствором KJO₃ в присутствии бензола в качестве индикатора.

ОРГАНИЧЕСКАЯ ХИМИЯ

С. И. САДЫХ-ЗАДЕ, Р. СУЛТАНОВ, Ф. А. ГАСАНОВА, А. П. БОКОВОЙ,
О. В. ЛИТВИНОВА, В. А. ПОНОМАРЕНКО

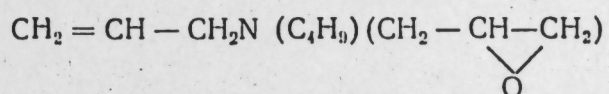
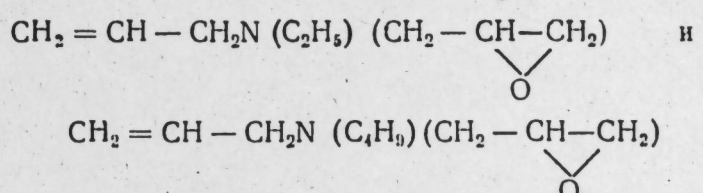
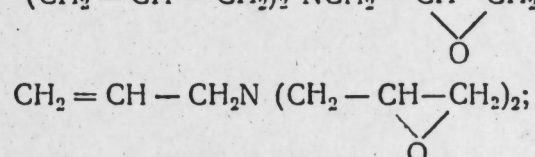
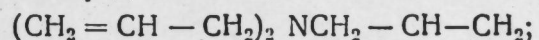
СИНТЕЗ ЭПОКСИАМИНООРГАНОСИЛАНОВ

(Представлено академиком АН Азербайджанской ССР М. А. Далинским)

Несмотря на существенные успехи химии полиоргансилоксанов, смешанные эпоксикремнийорганические полимеры изучены мало.

В предыдущих работах [1-5] мы сообщили о синтезе кремнийорганических мономеров, содержащих эпоксигруппы в органических радикалах, связанных с кремнием.

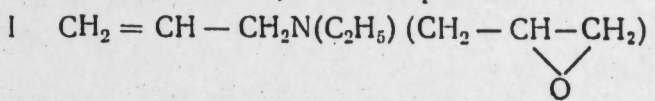
Продолжая исследование в указанной области, в настоящей работе нами установлено, что в реакции присоединения кремнийгидридов в присутствии платинохлористоводородной кислоты с успехом могут быть использованы непредельные эпоксиамины:



Большинство полученных эпоксиаминооргансиланов (см. таблицу) частично полимеризуются при стоянии. Полимеризационные свойства синтезированных соединений будут сообщены отдельно.

Экспериментальная часть

N-этил-N-аллил-N-2,3 эпоксипропиламин.

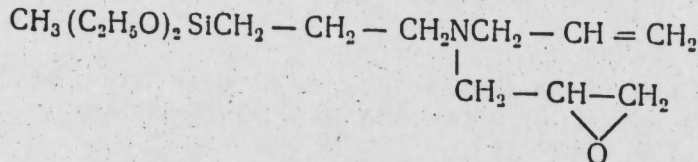


В колбу с обратным холодильником поместили 46,3 г (0,5 моля) эпихлоргидрина и при перемешивании приливали 17 г (0,2 моля) этилаллиламина в течение 30 минут, при температуре 30°. Смесь охладили до 5—7° и обработали 48 г KOH в 40 мл воды. Органический слой экстрагировали эфиром и сушили над безводным Na₂SO₄. Затем отогнали эфир, добавили ингибитора "эджрайт" (альдоль-альфа-нафтамин) и разогнали под вакуумом. Т. кип.—44 (4 мм).

Аналогично были получены N—бутил—N—аллил—N—2,3 эпокси-пропиламины (II) и N—аллил, N—ди (2,3 эпоксипропил) амин (III).

Свойства и элементарный анализ аллилалкилэпоксиаминов представлены в таблице.

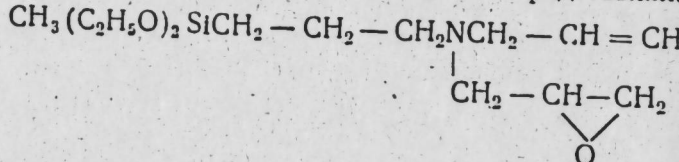
IV N—аллил—N—2,3—эпоксипропиламинопропилметилдиэтоксисилан.



В трехгорную колбу, снабженную обратным холодильником с хлоркальциевой трубкой, капельной воронкой и термометром, поместили 75 г (0,5 моля) N—диаллил—N— (2,3 эпоксипропил) амина, полученного по методике [6]. Содержимое колбы нагрели до температуры 105°C и добавили 4 капл. 0,1 н раствора H₂PtCl₆ в изопропиоловом спирте, а затем порциями приливали 66,5 г (0,5 моля) метилдиэтоксисилана. После приливания расчетного количества гидрида кремния температура реакционной смеси поднялась до 160°.

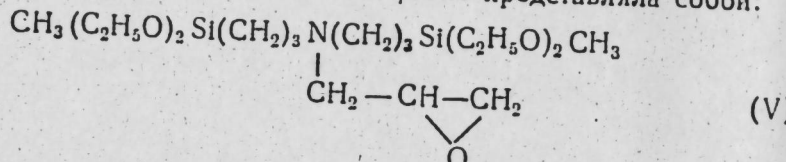
После отгонки легкокипящих компонентов вакуумной разгонки выделены следующие фракции:

I фр. с температурой кипения 124—125°/1 мм представляла собой



и имела следующие свойства: $n_{\text{D}}^{20}=1,4500$; $d_4^{20}=0,9533$;

II. фр. с температурой кипения 183—185°/1 мм представляла собой:

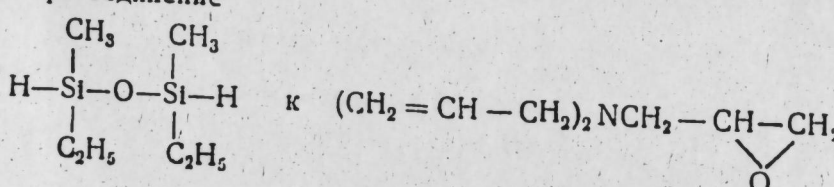


и имела следующие константы:

$n_{\text{D}}^{20}=1,4440$; $d_4^{20}=0,9724$.

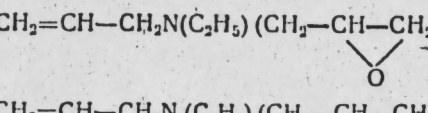
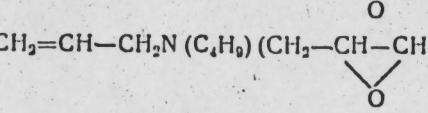
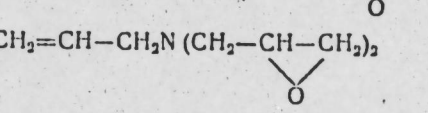
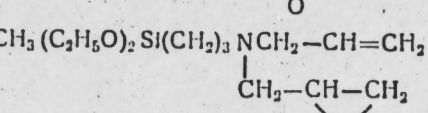
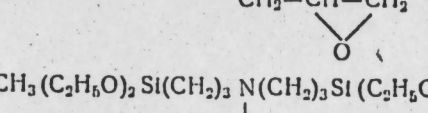
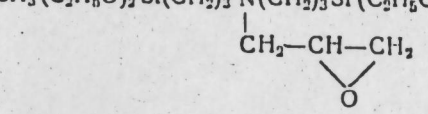
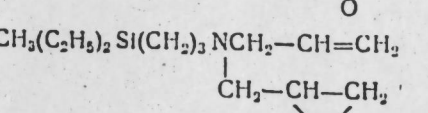
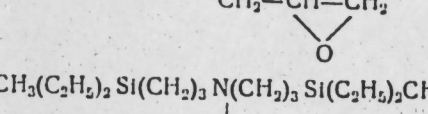
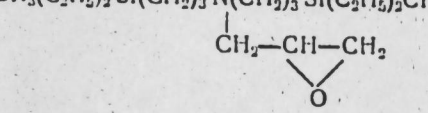
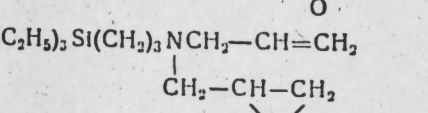
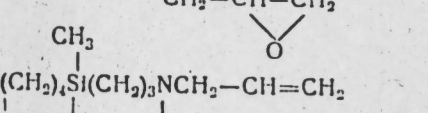
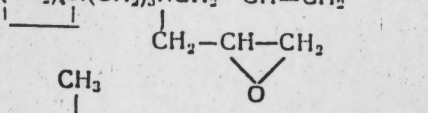
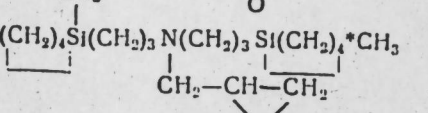
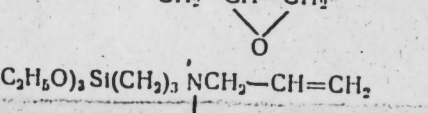
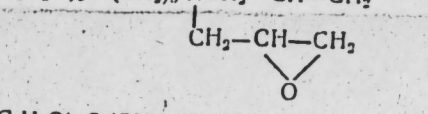
Аналогичным образом были синтезированы соединения VI—XV, свойства и элементарный анализ которых представлены в таблице.

XVI Присоединение



25,0 г (0,163 моля) свежеперегнанного N—диаллил—N—(2,3 эпоксипропил) амина, 26,4 г (0,163 моля) диметилдиэтилгидридисилоксана и 3 кап. 0,1 н раствора H₂PtCl₆ загрузили в толстостенную ампулу. Ампулу запаяли в токе азота и нагревали при температуре 150—155° в течение 4 часов. Затем содержимое ампулы растворили в 100 мл этанола и после отгонки растворителя остаток вакуумно-отог

	I	Идено %		1958. 105, жур- Ф. А. заде 1962,
		H	N	
	II	CH	—	8,12 8,20
	III	CH	—	8,12 8,20
	IV	CH ₂ 30	10,05 10,25	—
	V	CH ₂ 10	10,20 10,12	—
	VI	C	—	
	VII	C	—	
	VIII	(—	
	IX	—	—	
	X	—	—	
	XIII	—	—	

Формула соединения	Т. кип. °С и.и рт. ст.	n_D^{20}	d_4^{20}	MR _D %		Выход, %	Вычислено %				Найдено %				
				Выч.	Найд.		Si	C	H	N	Si	C	H	N	
I	$\text{CH}_2=\text{CH}-\text{CH}_2\text{N}(\text{C}_2\text{H}_5)(\text{CH}_2-\text{CH}-\text{CH}_2)$ 	44 4	1,4472	0,9014	42,28	41,87	52,0	—	—	—	9,92	—	—	—	9,72 9,98
II	$\text{CH}_2=\text{CH}-\text{CH}_2\text{N}(\text{C}_4\text{H}_9)(\text{CH}_2-\text{CH}-\text{CH}_2)$ 	38,5 2	1,4485	0,8897	51,49	50,98	48,0	—	—	—	8,27	—	—	—	8,12 8,20
III	$\text{CH}_2=\text{CH}-\text{CH}_2\text{N}(\text{CH}_2-\text{CH}-\text{CH}_2)_2$ 	91,5—93,5 5,5	1,4690	1,0206	46,66	46,18	36,0	—	—	—	8,27	—	—	—	8,12 8,20
IV	$\text{CH}_3(\text{C}_2\text{H}_5\text{O})_2\text{Si}(\text{CH}_2)_3\text{NCH}_2-\text{CH}=\text{CH}_2$ $\text{CH}_2-\text{CH}-\text{CH}_2$ 	124—125 1	1,4500	0,9533	81,08	81,04	51,0	9,77	58,48	10,16	—	10,10 10,39	58,19 58,30	10,05 10,25	—
V	$\text{CH}_3(\text{C}_2\text{H}_5\text{O})_2\text{Si}(\text{CH}_2)_3\text{N}(\text{CH}_2)_3\text{Si}(\text{C}_2\text{H}_5\text{O})_2\text{CH}_3^*$ $\text{CH}_2-\text{CH}-\text{CH}_2$ 	183—185 1	1,4440	0,9724	115,75	115,20	8,0	13,31	54,11	10,27	—	13,60 13,21	53,92 54,40	10,20 10,12	—
VI	$\text{CH}_3(\text{C}_2\text{H}_5)_2\text{Si}(\text{CH}_2)_3\text{NCH}_2-\text{CH}=\text{CH}_2$ $\text{CH}_2-\text{CH}-\text{CH}_2$ 	111—112,5 1	1,4655	0,8901	79,32	79,42	57,0	10,99	65,81	11,44	—	11,10 10,82	65,72 65,65	11,21 11,52	—
VII	$\text{CH}_3(\text{C}_2\text{H}_5)_2\text{Si}(\text{CH}_2)_3\text{N}(\text{CH}_2)_3\text{Si}(\text{C}_2\text{H}_5)_2\text{CH}_3$ $\text{CH}_2-\text{CH}-\text{CH}_2$ 	168—169 1	1,4662	0,8810	112,33	112,5	57,9	15,69	63,79	12,11	—	15,73 15,81	63,53 63,60	12,00 11,89	—
VIII	$(\text{C}_2\text{H}_5)_3\text{Si}(\text{CH}_2)_3\text{NCH}_2-\text{CH}=\text{CH}_2$ $\text{CH}_2-\text{CH}-\text{CH}_2$ 	133,5—135 1	1,4690	0,8956	83,83	83,81	48,6	10,42	66,84	11,59	—	10,65 11,00	66,78 66,97	11,58 11,25	—
IX	$(\text{CH}_2)_3\text{Si}(\text{CH}_2)_3\text{NCH}_2-\text{CH}=\text{CH}_2$ $\text{CH}_2-\text{CH}-\text{CH}_2$ 	134—135 1,5	1,4822	0,9363	77,43	77,13	46,7	11,09	66,40	10,74	—	11,30 10,95	66,23 66,35	10,80 10,66	—
X	$(\text{CH}_2)_3\text{Si}(\text{CH}_2)_3\text{N}(\text{CH}_2)_3\text{Si}(\text{CH}_2)_4^*\text{CH}_3$ $\text{CH}_2-\text{CH}-\text{CH}_2$ 	200—201 1,5	1,4922	0,9478	108,55	108,20	14,0	15,88	64,56	11,12	—	15,60 16,10	64,80 64,73	11,35 11,41	—
XI	$(\text{C}_2\text{H}_5\text{O})_3\text{Si}(\text{CH}_2)_3\text{NCH}_2-\text{CH}=\text{CH}_2$ $\text{CH}_2-\text{CH}-\text{CH}_2$ 	133—135 1	1,4465	0,9782	86,47	86,64	55,3	8,84	56,74	9,80	—	9,00 8,91	56,55 56,48	9,71 9,69	—
XII	$(\text{C}_2\text{H}_5\text{O})_3\text{Si}(\text{CH}_2)_3\text{N}(\text{CH}_2-\text{CH}-\text{CH}_2)_2$ 	132—134 1	1,4467	1,0332	87,03	86,30	37,0	—	—	—	4,20	—	—	—	4,34 4,29
XIII	$(\text{C}_2\text{H}_5\text{O})_3\text{Si}(\text{CH}_2)_3\text{N}(\text{C}_2\text{H}_5)(\text{CH}_2-\text{CH}-\text{CH}_2)$ 	98—100 1	1,4345	0,9656	82,65	82,57	55,0	—	—	—	4,58	—	—	—	4,61 4,50
XIV	$(\text{C}_2\text{H}_5\text{O})_3\text{Si}(\text{CH}_2)_3\text{N}(\text{C}_4\text{H}_9)(\text{CH}_2-\text{CH}-\text{CH}_2)$ 	123—124 1	1,4362	0,9520	91,95	91,64	57,0	—	—	—	4,20	—	—	—	4,61 4,50
XV	$\text{CH}_3(\text{C}_3\text{H}_7)_2\text{Si}(\text{CH}_2)_3\text{NCH}_2-\text{CH}=\text{CH}_2$ $\text{CH}_2-\text{CH}-\text{CH}_2$ 	154—155 1,5	1,4645	0,8824	88,82	88,75	45,5	9,90	67,77	11,73	—	9,75 9,81	67,65 67,38	11,50 11,68	—

* Выделено паряду с продуктом моноприсоединения.

В колбу с обратным холодильником поместили 46,3 г (0,5 моля) эпихлоргидрина и при перемешивании приливали 17 г (0,2 моля) этилаллиламина в течение 30 минут, при температуре 30°. Смесь охладили до 5–7° и обработали 48 г KOH в 40 мл воды. Органический слой экстрагировали эфиром и сушили над безводным Na₂SO₄. Затем отогнали эфир.

—ал

А

проп

С

ставл

IV

В

хлорк

стили

получ

ратур

вом

диэто

кремн

По

выдел

I фр.

и имел

II. фр.

и имела

Анал

свойства

XVI При

H—S

C

25,0 г (0,163 моля) свежеперегнанного N—диаллил—N—(2,3 эпокси пропил) амина, 26,4 г (0,163 моля) диметилдиэтилдигидридисилоксана и 3 кап. 0,1 н раствора H₂PtCl₆ загрузили в толстостенную ампулу. Ампулу запаяли в токе азота и нагревали при температуре 150–155° в течение 4 часов. Затем содержимое ампулы растворили в бензоле, отфильтровали и после отгонки растворителя остаток вакуумировали в токе азота, при этом легкокипящие компоненты не отогнались (температура в кубе 180°/1 мм).

Полученный полимер¹ представлял собой светло-желтое, прозрачное вязкое масло. Выход количественный.

Молекулярный вес средний—1780 (определен криоскопическим методом в бензоле).

Найдено % N—4,82; 4,61.

[C₁₅H₃₃Si₂O₂N]_n Вычислено % N — 4,43.

Таким образом, в результате исследований была показана возможность синтеза эпоксиаминоорганосиланов реакцией присоединения алкилаллоксисиланов к непредельным эпоксиаминам в присутствии платинохлористоводородной кислоты.

ЛИТЕРАТУРА

1. Садых-заде С. И., Ноздрина Л. В., Петров А. Д. ДАН СССР*, 1958, 118, 723.
2. Садых-заде С. И., Петров А. Д. Азерб. хим. журнал, 1962, 5, 105.
3. Садых-заде С. И., Мамедов Магерам, Гасанова Ф. А. Азерб. хим. журнал, 1963, 4, 85–90.
4. Садых-заде С. И., Султанов Р., Гасанова Ф. А. ДАН Азерб. ССР*, 1963, № 12.
5. Гасанова Ф. А., Султанов Р., Садых-заде С. И. Азерб. хим. журнал (в печати).
6. Michelotti F. W. J. polymer, Sci., 1962, 3, 167, S. 1.

Институт нефтехимических процессов

Поступило 25. II 1964

С. И. Садых-заде, Р. Султанов, Ф. А. Ыасинова, А. П. Боково,
О. В. Литвинова, В. А. Пономаренко

Епоксиаминоорганосиланларын синтези

ХУЛАСЭ

Мәгалә силиснум үзви епоксиаминләрин синтезинә һөср өдилмишdir.

Мә'лум олмушdur ки, һидридисиланлар мүәjjән шәрантдә H₂PtCl₆ катализаторунун иштиракы илә дојмамыш епоксиаминләрлә асанлыгla бирләшәрәк силиснум үзви епоксиаминләр әмәлә кәтирир.

Мүәjjән өдилмишdir ки, еквимолјар мигдарда диһидридисилоксанла N-диалмил-N (2,3 епокси пропил) аминә бирләшдикдә полимер алыныр.

Мәгаләдә алынан маддәләрин физики хассәләри җәдвәл шәклиндә верилмишdir.

¹ При стоянии затвердевает.

ОРГАНИЧЕСКАЯ ХИМИЯ

И. М. АХМЕДОВ, М. А. МАМЕДОВ

ПРИСОЕДИНЕНИЕ ГИДРИДОВ КРЕМНИЯ
К ХЛОРОСОДЕРЖАЩИМ БИЦИКЛИЧЕСКИМ УГЛЕВОДОРОДАМ

(Представлено академиком АН Азербайджанской ССР А. М. Кулаевым)

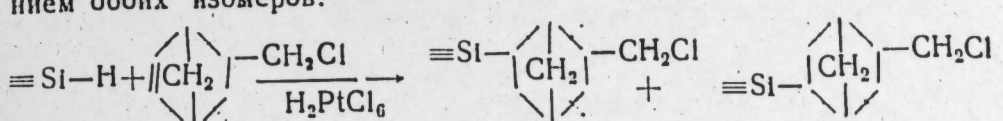
На немногочисленных примерах показано, что бициклические кремнийорганические соединения способны превращаться в термостойкие полимеры [1, 2]. Но эти бициклические соединения синтезированы при помощи реакции Дильса—Альдера [3, 4, 5]. Между тем подобные соединения могут быть синтезированы непосредственным присоединением гидридов кремния к двойной связи бициклического углеводорода. Работ, освещающих этот вопрос, в литературе очень мало.

А. Д. Петров, А. Ф. Платэ, Е. А. Чернышев и др. [6] показали, что гидриды кремния в присутствии H_2PtCl_6 присоединяются к двойной связи бицикло(2,2,1)-гептена-2 и бицикло(2,2,1)-гептадиена-2,5.

Реакция присоединения гидридов кремния к бициклическим углеводородам, имеющим в своем составе функциональные центры, почти не исследована. В работе Р. Султанова [7] приводятся данные о присоединении гидридов кремния к 2-нитрилбицикло-(2,2,1)-гептену-5. Вместе с тем указанная реакция представляет как теоретический, так и практический интерес. Нами начаты систематические исследования реакции присоединения гидридов кремния к бициклическим соединениям, содержащим в своем составе атом хлора.

Эта реакция интересна еще в свете ранее проведенных работ [8] об изменении активности двойной связи в галоидалкенах в зависимости от места расположения атома хлора.

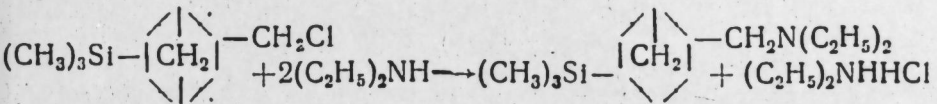
С этой целью проведена реакция присоединения силикохлороформа, метилхлорсилана, триэтоксисилана и метилсиликоцикlopентана к 2-хлорметилбицикло(2,2,1)—гептену-5. Катализатором реакции служил 0,1 N раствор платинохлористоводородной кислоты в изопропиловом спирте. Полученные кремнийорганические бициклические соединения весьма стабильны. Очевидно, реакция протекает с образованием обоих изомеров:



Формула	T. кипп. °C давл. м.m	n_D^{20}	d_4^{20}	MR				Найдено, %				Вычислено, %				Выход, %
				найд.	вычисл.	C	H	Si	Cl	C	H	Si	Cl	C	H	
<chem>Cl3Si1[C]2CC1-CC2Cl</chem>	140—142 1,5	1,5100	1,3235	62,82	62,17	—	—	—	—	38,19 38,10	34,53	4,32	10,07	38,30*	72,4	
<chem>CH3SiCl21[CH2]2-CC1-CC2Cl</chem>	110—112 1,5	1,5030	1,2072	63,05	62,54	—	—	—	—	27,43 27,31	41,94	5,83	10,87	27,57*	77,8	
<chem>(C2H5O)3Si1[CH2]2-CC1-CC2Cl</chem>	138—140 2	1,4560	1,0435	79,84	79,60	55,04 54,92	8,90 8,85	9,31 9,20	9,20	11,31 11,44	54,81	8,81	9,14	11,58	65	
<chem>(CH3)3Si1[CH2]2-CC1-CC2Cl</chem>	90—91,5 1,5	1,4855	0,9838	63,12	63,28	60,59 60,71	9,59 9,43	13,11 13,28	15,90 16,15	16,15	60,97	9,70	12,93	16,40	61	
<chem>H2C-CH2>Si1-CC2CC1-CC2Cl</chem>	148—150 7,5	1,5124	1,0341	70,41	70,41	64,45	9,49	11,64 11,59	14,53 14,41	14,41	64,33	9,48	11,55	14,64	55,7	

* Определено путем титрования атомов хлора, находящихся у атома кремния.

Изучена активность атома хлора в полученных бициклических кремнийорганических соединениях. Взаимодействие между 2-хлорметил-5 или 6-триметилсилилбицикло (2, 2, 1)-гептаном и диэтиламином показало, что лишь в очень жестких условиях удается замещать атом хлора аминогруппой:



ЭКСПЕРИМЕНТАЛЬНАЯ ЧАСТЬ

Присоединение силикохлороформа к 2-хлорметилбицикло (2, 2, 1)-гептену-5

В колбу, снабженную термометром, эффективным холодильником с хлоркальциевой трубкой и капельной воронкой, поместили 28,5 г (0,2 моля) 2-хлорметилбицикло(2, 2, 1)-гептен-5 и нагревали до 100°. Затем добавляли 0,5 мл 0,1 N раствора H_2PtCl_6 в изопропиловом спирте и 5—6 мл силикохлороформа из общего количества 27,1 г (0,2 моля). При этом температура смеси самопроизвольно поднималась до 150°. Поддерживая температуру в пределах 130—150° в течение 40 мин, добавляли остальное количество силикохлороформа. После этого реакционную массу нагревали при 210° в течение 2 ч. После отгонки легкокипящих компонентов остаток подвергали вакуумной разгонке. Выделено 20 г 2-хлорметил-5 или 6-трихлорсилилбицикло (2, 2, 1)-гептан, константы которого приводятся в таблице.

В аналогичных условиях получены другие бициклические кремнеуглеводороды, константы которых также приведены в таблице.

Взаимодействие 2-хлорметил-5 или 6-триметилсилилбицикло (2, 2, 1)-гептана с диэтиламином

12,81 г диэтиламина и 15,2 г 2-хлорметил-5 или 6-триметилсилилбицикло(2, 2, 1)-гептана (полученного из 2-хлорметилтрихлорсилилбициклогептана и CH_3MgJ) в запаянной ампуле нагревали при 190—195° в течение 10 ч. После охлаждения и вскрытия ампулы продукт реакции промывали слабым раствором $NaOH$. Органический слой отделяли и сушили над $MgSO_4$. После вакуумной разгонки выделено 7,9 г непрореагировавшего исходного кремнийорганического соединения и 5,5 г 2-N-диэтиламинометила, 5-или 6-триметилсилилбицикло (2, 2, 1)-гептана с выходом 31 %, т. кипп. 108—112/1,5 n_D^{20} 1,4783; d_4^{20} 0,8847.

$$MR_{\text{найд.}} = 80,99; \quad MR_{\text{выч.}} = 80,76$$

Найдено % N—5,91; 5,83.

Вычислено % N—5,53.

Выводы

- Проведена реакция присоединения гидридов кремния к 2-хлорметилбицикло (2, 2, 1)-гептену-5. Установлено, что гидриды кремния—силикохлороформ, метилдихлорсилан, триэтоксисилан и метилсиликоцикlopентан легко присоединяются к двойной связи 2-хлорметилбицикло (2, 2, 1)-гептена-5 с образованием соответствующих крем-

нийорганических бициклических углеводородов с выходом 55–78 %. Катализатором указанной реакции служил 0,1 N раствор H_2PtCl_6 в изопропиловом спирте.

2. Вероятно, гидриды кремния присоединяются к двойной связи бициклического углеводорода как в положении 5, так и в положении 6, т. е. имеет место образование обоих изомеров.

ЛИТЕРАТУРА

1. Anderson A. W., Merekling N. G. Амер. патент 2 721 189, РЖ хим., 1956, № 18, 59 701.
2. Каргин В. А., Платэ Н. А., Дудник Л. А. Высокомолекулярные соединения. 1959, 1, 420.
3. Wagner G. H., Bailey D. L., Pines A. N., Dunham M. L., Intire D. B. Ind. Eng. ch. 1953, 45, 367.
4. Bailey D. L., Black W. T. Амер. патент 2 868 825, С. А. 53, 13 080, 1959.
5. Пономаренко В. А., Снегова А. Д. Изв. АН СССР. ОХН, 1960, 135.
6. Петров А. Д., Платэ А. Ф., Чернышев Е. А. и др. ЖОХ, 1951, 31, 1199.
7. Султанов Р. Диссертация. М. ИОХ, 1963.
8. Мамедов М. А., Ахмедов И. М., Гусейнов М. М. и Садыхзаде С. М. ЖОХ (в печати).

ИНХП им. Ю. Г. Мамедалиева

Поступило 18. XII 1963

И. М. Эмадов, М. Э. Мамедов

Силианіндилләрин хлорлубитсиклик карбоңидрокенләрә бирләшмәси

ХУЛАСӘ

Мә'лум олдуғу кими, битсиклик карбоңидрокенләрдән алымыш полимер маддәләр бир сыра үстүнлүкләрә малиkdir. Тәрүбәләр көстәрик ки, һәмин полимерләrin тәркибиңе силиснум элементинин элавә едилмәси онларын јүксәк температура гарыш давамлылығыны артырыр. Іан зәнчирдә вә ја билаваситә тиклә һалокенләrin олмасы да һәмин полимерләrin хассәләrinе тә'сир едир. Лакин полимер материалларын алымасы үчүн илкин саýлан бу маддәләrin синтези нагында әдәбијатда мә'лumat жохдур.

Буна көрә дә, көстәриләn мәгаләdә мүхтәлиф гурулушлу силианіндилләrin 0,1 N H_2PtCl_6 иштиракы илә 2-хлорметилбитсикло [2, 2, 1] – һептен-5-ә бирләшмәси тәдгиг олунмушдур. Муәjжәn едилмишdir ки, силиснум атомы йанында хлор атомлары тәдричлә үзви радикалларла әвәз олундугда алыман маддәләrin чыхымы азалыр.

Нормал шәрәнтә һан зәнчирдә олан хлор атомы амино группу илә әвәз едилмир. Бунун үчүн, јүксәк температур тәләб олунур.

РАЗРАБОТКА НЕФТЯНЫХ И ГАЗОВЫХ МЕСТОРОЖДЕНИЙ

Ф. А. АЛИ-ЗАДЕ, А. Ф. КАСИМОВ

О НЕОБХОДИМОЙ ЗОНЕ НЕЧУВСТИТЕЛЬНОСТИ СИСТЕМЫ АВТОМАТИЧЕСКОГО РЕГУЛИРОВАНИЯ РЕЖИМА РАБОТЫ ФОНТАННЫХ СКВАЖИН

(Представлено академиком АН Азербайджанской ССР С. М. Кулиевым)

Новые нефтяные месторождения вступают в промышленную разработку в большинстве случаев с фонтанным способом добычи при пластовом давлении, намного превышающем давление насыщения нефти газом ($P_{\text{нас}}$). Одним из основных условий рациональной разработки таких месторождений является соблюдение на забоях скважин, дренирующих пласт, условия $P_{\text{заб}} \geq P_{\text{нас}}^*$ [1]. Заметим, что значение $P_{\text{нас}}^*$ обуславливается не только физико-химическими свойствами нефти и газа, но и условиями движения потока и отличается от $P_{\text{нас}}$, определяемого лабораторным путем [2, 3].

Практика эксплуатации ряда месторождений Азербайджана (Нефтяные Камни, Кюорвадаг и др.) показывает, что даже при отсутствии искусственного воздействия на пласт фонтанные скважины в течение ряда лет работают при указанном забойном условии.

В настоящее время ставится актуальная задача автоматического управления процессом разработки нефтяного пласта [4, 5, 6], выполнение которой связано с решением ряда вопросов, в частности автоматического регулирования режима работы самих скважин.

Здесь рассматриваются вопросы выбора регулируемого параметра и нахождения диапазона допустимых его изменений для системы автоматического регулирования (САР) режима работы фонтанной скважины. Последний вопрос связан с нахождением необходимой зоны нечувствительности САР.

Величина нечувствительности САР определяется пороговыми значениями входных сигналов (разных знаков), и только при превышении сигналом этих значений система может воздействовать на объект регулирования.

Отметим, что понятия "нечувствительность САР" и "необходимая нечувствительность САР" различны.

Нечувствительность САР может быть вызвана, например, сухим трением в подвижных частях элементов системы, зазорами в соединениях элементов или электрических контактов и т. п. [7].

Однако если объект регулирования специфичен по своей технологии (в рассматриваемом случае наличие пульсаций потока фонтанной

скважины в условиях нормальной работы), то для качественного проведения процесса регулирования возникает необходимость в задании определенной зоны нечувствительности САР.

Наиболее целесообразно режим работы фонтанной скважины для САР задавать в виде величины ее дебита [4], ибо дебит скважины является ее наиболее характерным параметром и определяется поверхностными измерениями.

Величина дебита задается на основе изучения геологических условий разрабатываемого пласта и в САР используется в качестве регулируемого параметра, а регулирующим параметром является буферное давление ($P_{буф}$), изменение которого осуществляется устьевым штуцером.

В условиях нормальной работы фонтанной скважины имеет место колебание значения буферного давления. На рис. 1 и 2 приведены диаграммы изменения буферного давления, снятые соответственно на скважинах № 395 месторождения Нефтяные Камни и № 17 месторождения Кюровдаг.

Как видно из диаграмм, изменения величины $P_{буф}$ колеблются в пределах для скважины № 396 $\Delta P_{буф} = \pm 0,3$ атм и для скважины № 17 $\Delta P_{буф} = \pm 3,0$ атм. Величина $\Delta P_{буф}$ является максимальным значением приращения $P_{буф}$ при нормальной работе скважин.

Вместе с колебаниями $P_{буф}$, естественно, колебляется и величина дебита Q (пульсирующий режим потока фонтанной скважины).

В связи с этим возникает задача определения диапазона допустимых колебаний дебита $\pm \Delta Q$, в условиях нормальной работы фонтанной скважины, и установления необходимой зоны нечувствительности САР. При превышении измеренного дебита ($Q_{изм}$) заданного диапазона колебаний ΔQ , т. е.

$$Q_{зад} + \Delta Q < Q_{изм} < Q_{зад} - \Delta Q, \quad (1)$$

система автоматического регулирования будет соответственно действовать на режим работы фонтанной скважины.

Искомую величину $\pm \Delta Q$ представляется возможным определить следующим образом: вначале на основе $\pm \Delta P_{буф}$ определяются соответствующие изменения забойного давления $\pm \Delta P_{заб}$, затем по индикаторной кривой находится соответственно $\pm \Delta Q$.

Для аналитического определения забойного давления фонтанной скважины, работающей при забойном условии $P_{заб} \geq P_{нас}^*$, воспользуемся следующим выражением:

$$P_{заб} = P_{нас} + \gamma_{ж}(L-l) \left(1 + \lambda \frac{W_{ж}^2}{2gD} \right); \quad (2)$$

$$W_{ж} = \frac{4Q}{\pi L^2}; \quad Q = Q_n + Q_v;$$

где: L — длина подъемных труб (рассматривается случай, когда трубы спущены до фильтра); D — диаметр подъемных труб;

$\gamma_{ж}$ — удельный вес жидкости с растворенным в ней газом;

Q_n, Q_v — соответственно дебиты нефти и воды;

λ — коэффициент гидравлических сопротивлений;

l — длина газо-жидкостной смеси в подъемных трубах;

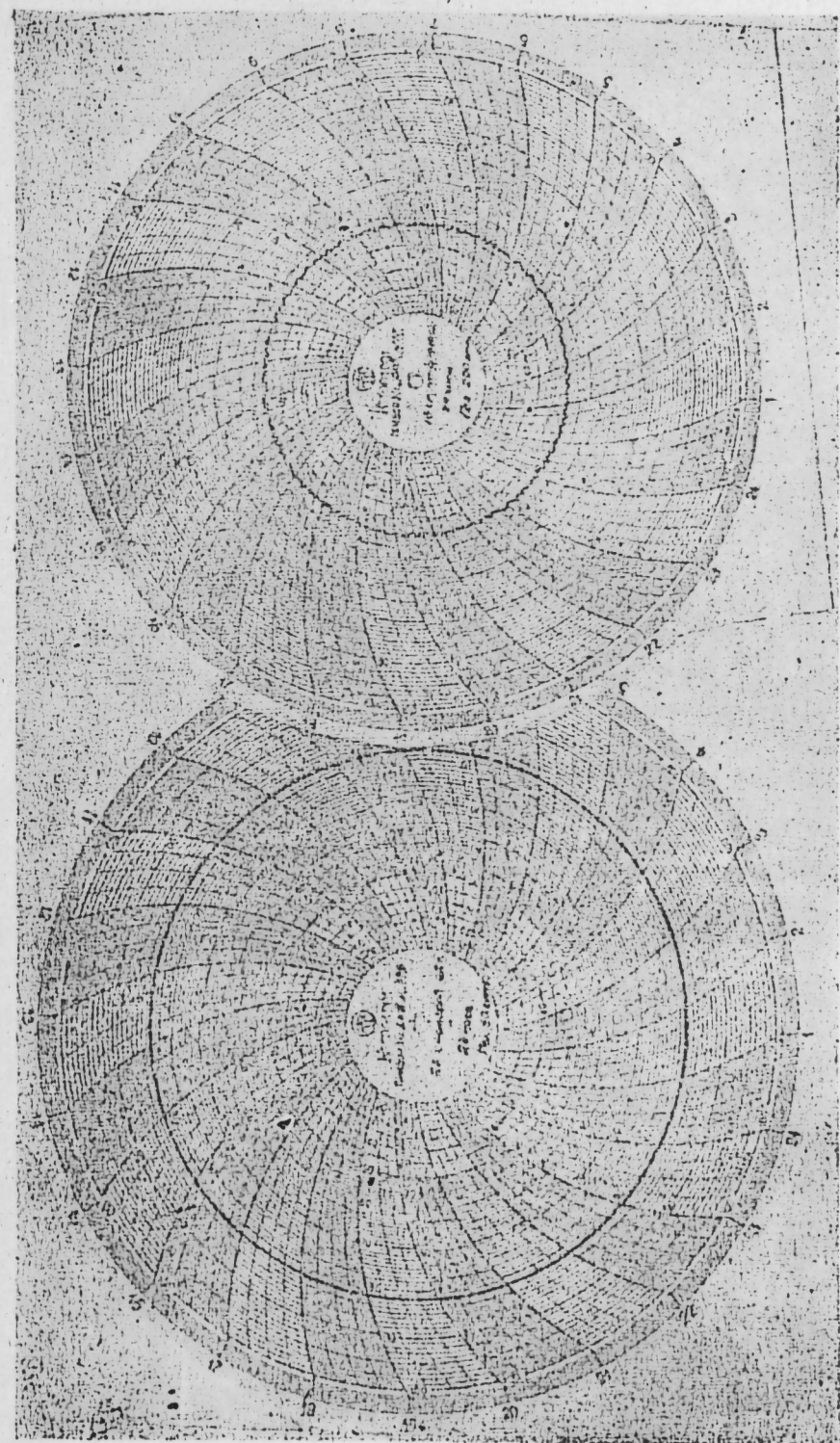


Рис. 1, 2

$$l = \pi^2 D^5 g \int_{P_{\text{буф}}}^{P_{\text{нас}}} \frac{r \varphi(P)}{\pi^2 D^5 g r f(b_0) + 8 \lambda Q_u^2 \varphi(P) \psi(P) \times} dP; \quad (3)$$

$$\times \left[\frac{1}{1-b_0} + \frac{F(P)}{\psi(P)} \right]^2 \left[1 + (1-b_0) \frac{P_0 \psi(P) - r \gamma_{ro}(P+P_0)}{\psi(P) + (1-b_0) F(P)} \frac{\Gamma - kP}{P+P_0} \right]$$

$$\varphi(P) = (1-b_0) \left(r + \frac{\Gamma - kP}{P+P_0} P_0 \frac{T}{T_0} z \right) + b_0; \quad F(P) = \gamma_{ro} r (\Gamma - kP);$$

$$f(b_0) = (1-b_0)(\gamma_u + \gamma_{ro}\Gamma) + b_0 \gamma_u; \quad \varphi(P) = (\gamma_u - \gamma_{ro})b_0 + \gamma_u + kP \gamma_{ro};$$

$$b_0 = \frac{Q_u}{Q_u + Q_v}; \quad \Gamma = \frac{Q_{ro}}{Q_u};$$

где:
 r — коэффициент объемного увеличения нефти;
 k — коэффициент растворимости газа в нефти;
 z — коэффициент сжимаемости газа;
 γ_u , γ_v — соответственно, удельный вес дегазированной нефти и воды;
 γ_{ro} — удельный вес газа при нормальных условиях;
 Γ — газовый фактор при нормальных условиях;
 P_0 — атмосферное давление;
 T_0, T — соответственно, абсолютная и текущая температура;
 Q_{ro} — дебит газа при нормальных условиях.

Заметим, что в выражении (3) в работе [8] допущена опечатка, которая исправляется в данной статье.

Выражение (3) справедливо, когда $P_{\text{буф}} \geq P_{\text{кв}}$, где $P_{\text{кв}}$ — давление квазигомогенности, выше значения которого газо-жидкостная смесь ведет себя как квазигомогенная [9]:

$$P_{\text{кв}} = \frac{\Gamma T z - 2,846 r T_0}{k z T P_0 + 2,846 r T_0} P_0 \quad (4)$$

Численные расчеты показывают, что величины потери напора на трение с колебанием $P_{\text{буф}}$ практически не изменяются, и поэтому представляется возможным ими пренебречь, так как нас в конечном счете интересует не $P_{\text{заб}}$, а $\pm \Delta P_{\text{заб}}$.

Тогда выражения (2) и (3) примут вид [8]:

$$P_{\text{заб}} = P_{\text{нас}} + (L - l) \gamma_u; \quad (5)$$

$$l = \int_{P_{\text{буф}}}^{P_{\text{нас}}} \frac{(1-b_0) \left[r + (\Gamma - kP) \frac{P_0}{P+P_0} \frac{T}{T_0} z \right] + b_0}{(1-b_0)(\gamma_u + \gamma_{ro}\Gamma) + b_0 \gamma_v} dP. \quad (6)$$

Необходимо отметить, что практическое применение аналитического определения $P_{\text{заб}}$ с использованием выражения для l дало удовлетворительные результаты [8].

Для определения $\pm \Delta P_{\text{заб}}$ необходимо нижний предел интегрирования в выражении (6) задавать соответственно $P_{\text{буф}} \pm \Delta P_{\text{буф}}$.

В качестве иллюстрации определим ΔQ для скважины № 17 месторождения Кюровдаг. Исходные данные следующие: $P_{\text{нас}} = 214$ атм; $Q = 35 \text{ м}^3/\text{сутки}$; $b_0 = 0,085$; $\Gamma = 70,5 \text{ м}^3/\text{м}^3$; $\gamma_u = 0,918 \text{ кг}/\text{м}^3$; $v_u = 0,41 \text{ см}^2/\text{сек}$; $\gamma_{ro} = 0,680 \text{ кг}/\text{м}^3$; $L = 2062 \text{ м}$; $D = 2 \frac{1}{2}''$. Помимо этих величин даны кривые зависимостей $k = k(P)$, $r = r(P)$ и $z = z(P)$ (рис. 3), а также индикаторная кривая (рис. 4).

Задаваясь значением максимального отклонения $\Delta P_{\text{буф}} = 3$ атм (рис. 2) и подставив в (6) $P_{\text{буф}} = 62$ атм и $P_{\text{буф}} = 62 + 3 = 65$ атм, находим значение l соответственно 2048 м и 1995 м.

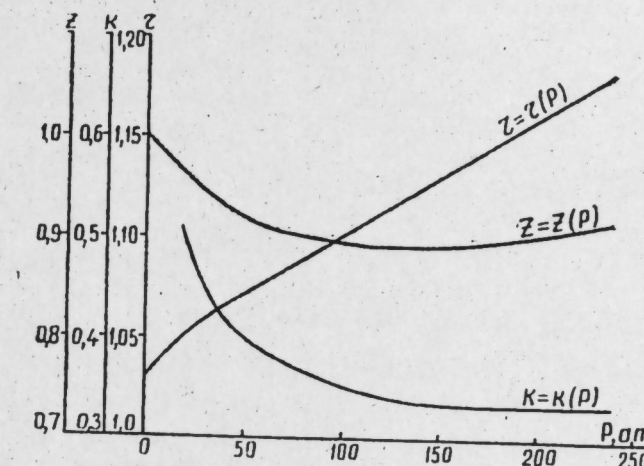


Рис. 3

Далее, по (5) определяем величину забойного давления, соответственно 212,6 атм и 217,0 атм. Следовательно, $\Delta P_{\text{заб}} = 217,0 - 212,6 = 4,4$ атм.

Теперь по индикаторной кривой надо определить величину ΔQ , для чего вначале по заданному $Q = 35 \text{ м}^3/\text{сутки}$, чему соответствует точка A на рис. 4, находим точку B .

Затем, откладывая от точки B величину $\Delta P_{\text{заб}} = 4,4$ атм (отрезок BC) соответствует величине $\Delta P_{\text{заб}}$, находим точку D . Отрезок AD соответствует искомому значению ΔQ при $P_{\text{буф}} = 62 + 3 = 65$ атм и равно $\sim 2,3 \text{ м}^3/\text{сутки}$.

Аналогично, имея $P_{\text{буф}} = 62 - 3 = 59$ атм, определено значение ΔQ , равное $\sim 2,4 \text{ м}^3/\text{сутки}$.

Следовательно, необходимая зона нечувствительности САР по дебиту скважины № 17, согласно выражению (1), составляет

$$32,6 \text{ м}^3/\text{сутки} <_{изм} Q < 37,3 \text{ м}^3/\text{сутки}.$$

Таким образом, приведенные методика и пример из промысловой практики показывают пути определения необходимой зоны нечувствительности системы автоматического регулирования работы фонтанных скважин.

ЛИТЕРАТУРА

1. А. П. Крылов и др. Проектирование разработки нефтяных месторождений. Гостоптехиздат. 1962.
2. Н. Н. Непримеров. Экспериментальные исследования некоторых особенностей добычи парафинистых нефтеей. Изд. Казанского университета, 1958.
3. К. В. Виноградов. Кандидатская диссертация. АзИНЕФТЕХИМ им. Азизбекова, Баку, 1962.
4. М. В. Миронов. Э. С. Салимжанов. Некоторые вопросы теории

управления нефтяными скважинами. Изв. АН СССР*, ОТН, техническая кибернетика, № 3, 1963. 5. А. С. Вирновский, А. П. Крылов, Л. Б. Кублановский. О перспективах автоматизации и телемеханизации контроля и регулирования процесса разработки нефтяных месторождений. Нефтяное хозяйство № 10, 1960. 6. Р. Д. Фаниев. О технологических основах комплексной автоматизации процессов добычи нефти. Нефтяное хозяйство, № 11, 1960. 7. Основы автоматического регулирования (под редакцией В. В. Соловьевника). Машгиз, 1954. 8. Гукасов Н. А., Касимов А. Ф., Пирвердин А. М. Об условиях фонтанирования скважин. Азерб. нефтяное хозяйство, № 11, 1959. 9. Касимов А. Ф. Докторская диссертация. АзИНЕФТЕХИМ им. М. Азибекова. Баку, 1963.

АзНИИ ДН
НИПН «Нефтехимавтомат»

Поступило 7. II 1964

Ф. А. Элизаде, Э. Ф. Гасымов

Фонтан гуулары режиминин автоматик тәнзим едилмәсинә даир

ХУЛАСӘ

Дени нефт јатагларынын ишләнилмәси жөстәрир ки, онлар бир нечә ил әрзиндә гууларын диг тәэжигинин ($P_{диг}$) нефтин газла дојмасы тәэжигиндән ($P_{дојма}$) бөյүк олдуку шәраитдә ($P_{диг} > P_{дојма}$) истисмар едилүр. Бундан башга, назырда нефт јатагларынын ишләнилмәсийн автоматлашдырылмасы кими мүһум вәзиғәнин йеринә јетирилмәси бир сыра мәсәләләрин һәллнни ортаја атыр. Бүнлардан бири фонтан гууларынын иш режиминин автоматик тәнзим едилмәсидир.

Мәгаләдә фонтан гуусунун иш режиминин тәнзиминде эсас амил оларын күндәлик насилатынын (Q) вә тә'сирдичи амил кими гуусунун буфер тәэжигини ($P_{буф}$) гәбул етмәкдән бәйс олунур; ени заманда автоматик гургуунун гуу насилатындакы мүәјжән ΔQ гәдәр дәјишикликләрә чаваб верилмәси мәсәләси тәдгиг едилүр.

Мә'дән тәчрубысы көстәрир ки, фонтан гууларынын нормал ишләмәси заманы буфер тәэжиги сабит галмаңыб, мүтәмади сурәтдә периодик дәјишир. Бу дәјишимәнин орта гијмәти $\mp \Delta P_{буф}$ гәдәр олур ки, бу да насилатын $\pm Q$ гәдәр дәјишимәсийн сәбәб олур. Беләликлә, автоматик тәнзимедичи насилатын $Q - \Delta Q$ илә $Q + \Delta Q$ арасындакы дәјишимәсийн "инс" етмәмәли вә Яалныз насилатын $Q - \Delta Q$ -дән аз, $Q + \Delta Q$ -дән чох олдуғу налларда гуусунун режиминә тә'сир көстәрмәлидир.

Мәгаләдә фонтан гууларынын $P_{диг} > P_{дојма}$ шәрти илә ишләмәси шәраити учүн $\pm \Delta Q$ -нүн тапылма методикасы верилмиш вә конкрет мисал илә айдынлашдырылыштыр.

АЗЭРБАЙЧАН ССР ЕЛМЛӘР АКАДЕМИЈАСЫНЫН МӘРҮЗӘЛӘРИ ДОКЛАДЫ АКАДЕМИИ НАУК АЗЕРБАЙДЖАНСКОЙ ССР

ТОМ XX

№ 6

1961

ГЕОЛОГИЯ НЕФТИ

Я. М. БАШИРОВ

НЕКОТОРЫЕ ВОПРОСЫ ИЗМЕНЕНИЯ ХИМИЧЕСКОГО СОСТАВА ПЛАСТОВЫХ ВОД X ГОРИЗОНТА ПЕСЧАНЫЙ-МОРЕ

(Представлено академиком АН Азербайджанской ССР А. Д. Султановым)

Солевой состав пластовых вод X горизонта Песчаный-море изучен на основе данных химических анализов вод 19 скважин, произведенных в 1957—1961 гг. в ЦНИПР НПУ „Орджоникидзенефть“.

Наряду с изучением химического состава вод особое внимание обращалось на изменение содержания хлора, сульфата, $\text{Ca} + \text{Mg}$ и общую минерализацию воды, выраженную в миллиграммэквиваленте на 100 г воды.

Воды X горизонта являются щелочными и относятся к гидрокарбонатнонатриевому генетическому типу—классу $S_1 A_1$, а и характеризуются наличием коэффициента первой щелочности „A“—от 1,68 до 17,68%.

Как видно из табл. 1, состав пластовой воды X горизонта отличается невысокой минерализацией и небольшим удельным весом при большой щелочности.

Содержание хлора в повышенной части структуры (2550—2900 м) колеблется от 43 до 61 мгэкв. Количество щелочных ионов $\text{Na} + \text{K}$ изменяется в пределах от 53 до 68,8, содержание $\text{Ca} + \text{Mg}$ —от 0,1—0,1, SO_4 —от 0,3—2,6 мгэкв. Количество бикарбонатов меняется в пределах от 3,8—10,7, а нафтеновых кислот—от 0,5—до 0,7 мгэкв.

Таким образом, при сопоставлении анализов вод выясняется, что пластовые воды X горизонта, расположенные в пониженных частях структуры (2900—3200 м), более минерализованы, чем воды, расположенные в повышенной части структуры, так как содержание хлора, $\text{Ca} + \text{Mg}$ увеличивается в направлении от повышенной части вниз по надвижу пластов к крыльям и периклинальным частям складки. В том же направлении наблюдается уменьшение бикарбонатов и нафтеновых кислот.

Из гидрохимической (рис. 1) карты (X гор.) видно, что минерализация воды ($\Sigma_{\text{к+и}}$) в повышенной части складки варьирует в пределах от 106 до 137,8 мгэкв, а в пониженной части пласта меняется в пределах от 130,6 до 188,8 мгэкв.

Такие инверсионного характера изменения химического состава воды (в сторону увеличения) были выявлены нами и по VI, VIII^a и

IX горизонтом в районе Зыхского грязевого вулкана, являющегося источником образования трещин, осложнивших структуру.

Таблица 1
Химический состав пластовых вод X горизонта Песчаный-море

№ скв.	Дата анализа	Солен. по Бе	Удельный вес	Эквивалентные значения, мг/экв							Характеристика по Пальмеру			
				Cl	SO ₄	HCO ₃	H.K.	Ca+Mg	Na+K	Σ _{K+}	S ₁	A ₁	a	
Повышенная часть структуры Песчаный-море (от 2550—2900 м)														
18	15.VII-57	4,00	1,0271	43,3	3,3	10,7	0,5	0,1	57,7	115,6	82,62	19,22	0,16	
25	18.I-57	4,05	1,0276	50,4	2,6	8,5	0,6	0,1	62,0	124,2	85,36	14,48	0,16	
34	2.XI-59	4,27	1,0291	61,3	—	6,9	0,7	0,1	68,8	137,8	88,96	10,90	0,14	
43	14.VII-57	4,16	1,0283	50,2	1,4	9,7	0,6	0,1	61,8	123,8	83,38	16,46	0,16	
47	25.VIII-57	3,96	1,0269	49,2	2,3	8,6	0,5	0,1	60,5	121,2	84,98	14,86	0,16	
52	14.XII-60	3,92	1,0266	50,8	0,3	8,6	0,7	0,1	60,3	120,8	84,60	15,24	0,16	
125	10.III-60	3,93	1,0267	53,8	1,6	8,0	0,5	0,1	63,5	127,2	86,64	13,20	0,16	
131	28.IV-60	3,56	1,0240	43,1	1,2	8,7	0,7	0,1	53,6	107,0	82,50	17,32	0,18	
133	7.IV-60	3,92	1,0266	46,6	1,7	3,8	0,7	0,1	58,7	117,6	82,16	17,68	0,16	
173	29.X-61	3,82	1,0259	49,1	0,9	8,7	0,5	0,1	59,1	118,4	84,46	15,38	0,16	
177	23.VIII-61	4,11	1,0280	50,6	0,3	8,3	0,7	0,1	59,8	119,8	84,98	14,86	0,16	
215	17.XI-61	3,57	1,0241	44,1	3,2	6,3	0,5	0,1	53,0	106,2	83,04	16,78	0,18	
Пониженная часть структуры (от 2900—3200 м)														
19	27.VI-57	5,14	1,0356	68,9	4,7	5,7	0,4	0,1	79,6	159,4	92,36	7,52	0,2	
22	11.III-57	4,07	1,0277	54,2	3,0	7,7	0,4	0,1	65,2	130,6	87,60	12,20	0,16	
26	31.III-60	5,84	1,0107	87,6	4,8	1,5	0,4	0,3	94,0	188,6	98,00	1,68	0,32	
30	30.III-57	4,54	1,0311	61,3	3,1	6,6	0,6	0,1	71,5	143,2	89,94	9,92	0,14	
31	8.IX-57	5,25	1,0365	76,5	0,6	5,1	0,7	0,2	82,7	165,8	93,00	6,76	0,24	
37	1 V-58	5,0	1,0345	65,0	4,9	7,1	0,4	0,1	77,3	154,8	90,30	9,58	0,12	
39	26.VIII-57	4,41	1,0301	59,9	3,3	6,6	0,5	0,1	70,2	140,6	89,90	9,96	0,14	

Пластовые давления в X горизонте, по С. Т. Овнатанову и Г. П. Тамразяну [4], высоки, в связи с чем изоляция пластовых вод при эксплуатации представляет большие трудности. Начальное пластовое давление обычно превышает гидростатическое на 10—20%. В скважинах часто наблюдается перелив воды. По X горизонту по направлению с севера на юг каротажная характеристика ухудшается, и в скважине № 25 этот горизонт эксплуатируется с большим содержанием воды в добываемой жидкости.

Установлено, что величина пластового давления связана с глубиной залегания пласта, причем увеличение давления происходит закономерно.

Накопилось много фактов, свидетельствующих о том, что в областях развития грязевого вулканизма пластовые давления водоносных пластов намного превышают гидростатические давления [3].

В процессе бурения скважины № 48, расположенной в восточной части структуры, во взятых колонковым долотом кернах на глубинах 2996—3000 м, соответствующих X горизонту, были встречены образцы пород в виде сопочной брекции.

Из данных В. С. Мелик-Пашаева становится очевидным, что полужидкая сопочная брекция грязевых вулканов оказывает большое влияние на проницаемые пластины в смысле увеличения в них давления [3].

Из вышеизложенного можно предположить, что слабоминерализованные пластовые воды X горизонта, залегающие в повышенной части

структурь (где С. Т. Овнатановым и Г. П. Тамразяном установлено наличие погребенного грязевого вулкана), смешиваются с маломинерализованными водами грязевого вулкана, в результате чего наблюдается резкое падение минерализации. Состав пластовых вод грязевого вулкана дается в литературе [2, 6].

Характерная особенность пластовых вод X горизонта — это повышенное количество сульфатов, которые со временем восстанавливаются до сероводорода. Появление сероводорода в водах указывает на протекание процессов десульфирования их.

Восстановление сульфатов происходит в пониженных частях структуры (в пределах 2900—3100 м) с температурой 70—80°C, где минерализация воды незначительно повышена.

Анализы пластовых вод и содержание H₂S приведены в табл. 2.

Из таблицы видно, что на 9.VII 1957 г. в скважине № 18 сульфата содержит 3,3 мг/экв, через 48 дней — 2,9 мг/экв, и в каждом случае присутствует сероводород. В скважине № 19 25.VI 1957 г. содержание сульфата составляло 5,4 мг/экв, сероводород отсутствует, но через 3 месяца сульфаты полностью восстанавливаются и в воде появляется сероводород в количестве 483 мг/л.

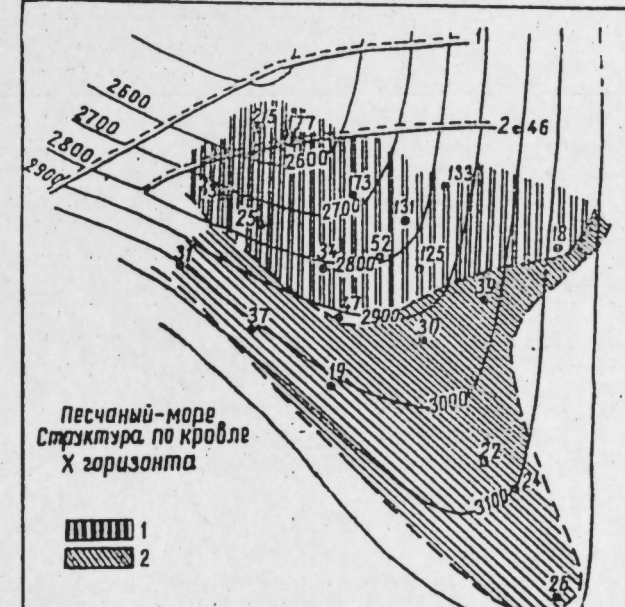
Аналогичное явление наблюдается и в других скважинах (22, 24, 30, 39, 47), отмеченных в таблицах. Содержание сульфата меняется при постоянстве содержания хлора.

Для характеристики вод X горизонта нами рассматривались имеющиеся данные как по работающим, так и по пространственным скважинам (выбывшим из эксплуатации по геологическим и техническим причинам) до применения методов поддержания пластового давления.

Можно предположить, что сероводород связан своим происхождением с деятельностью микроорганизмов, производящих восстановление сульфата.

Образовавшийся при восстановлении сульфатов сероводород мог связаться с породой в виде сернистых соединений железа. Указание на наличие конкреций пирита (FeS₂) бактериального происхождения дается Б. Л. Исаченко и другими исследователями.

Ряд исследователей [1, 5], изучавших литологию сопочной брекции грязевых вулканов, указывали, что состав тяжелой фракции всех исследованных проб характеризуется высоким содержанием рудных минералов, среди которых доминирующее значение выпадает на долю пирита (60—85%).



Гидрохимическая карта
1—106—137,8 мг/экв; 2—130,6—188,6 мг/л.

Таблица 2

J. M. Бәширов

№ скв.	Дата анализа	Глубина взятия пробы	Солен. по Бе	Удельный вес	Эквивалентные значения мг экв					Характеристика по Пальмеру			
					Cl	SO ₄	HCO ₃	H.K.	Ca+Mg	S ₁	A ₁	a	H ₂ S
18	9. VII-57	3180—3184	3,98	1,0271	43,3	3,3	10,7	0,5	0,1	82,62	19,22	0,16	+
	27. VIII-57	3146—3161	4,11	1,0280	49,0	2,6	9,6	0,5	0,2	83,64	16,04	0,32	+
19	27. VI-57	3090—3086	5,14	1,0356	68,9	4,7	5,7	0,4	0,1	92,36	7,52	0,12	—
	27. VIII-57	3066—3069	4,88	1,0336	70,8	2,4	6,2	0,4	0,1	91,74	8,14	0,12	+
	10. IX-57	3066—3069	5,68	1,0395	87,8	0,4	4,3	0,4	0,1	94,96	4,94	0,10	483 мг/л
	30. VII-60	3012—3063	4,58	1,0314	63,8	0,9	7,2	0,5	0,1	89,39	10,48	0,14	+
22	11. III-57	3054—3057	4,07	1,0277	54,2	3,0	7,7	0,4	0,1	87,60	12,24	0,16	—
	18. IV-57	3054—3057	4,17	1,0306	57,3	2,9	7,1	0,4	0,2	89,92	10,78	0,30	+
24	25. IX-58	3215—3221	4,42	1,0302	49,2	9,5	3,3	0,6	0,3	93,76	5,76	0,48	—
	9. XI-58	3180—3183	3,93	1,0267	45,3	7,0	5,0	0,6	0,2	90,32	9,34	0,34	+
	19. V-59	3180—3183	3,90	1,0265	43,7	4,8	7,0	0,6	0,2	86,46	13,18	0,36	645,1 мг/л
	20. VIII-59	3182—3185	4,54	1,0311	58,0	3,0	7,2	0,3	0,1	89,04	10,82	0,14	+
30	30. III-57	2932—2940	4,54	1,0311	61,3	3,1	6,6	0,6	0,1	89,94	9,92	0,14	—
	30. V-57	2932—2940	4,28	1,0292	59,7	1,2	9,0	0,4	0,1	86,64	13,22	0,14	+
	20. I-58	2932—2940	4,67	1,0320	65,0	1,1	8,1	0,6	0,1	88,38	11,48	1,14	+
	10. I-59	2932—2940	4,84	1,0333	65,5	0,8	7,6	0,5	0,1	89,12	10,76	0,12	+
39	26. VIII-57	2994—2999	4,41	1,0301	59,9	3,3	6,6	0,5	0,1	89,90	9,96	0,14	—
	10. IX-57	2998—2997	4,43	1,0303	61,3	1,4	8,6	0,4	0,1	87,44	12,42	0,14	800 мг/л
	20. XI-57	2998—2997	4,85	1,0334	72,3	0,9	6,5	0,5	0,1	91,28	8,60	0,12	+
47	25. VIII-57	2999—3010	3,96	1,0269	49,2	2,3	8,6	0,5	0,1	84,98	14,86	0,16	—
	27. VIII-57	2999—3010	4,20	1,0286	52,3	2,1	9,1	0,4	0,1	85,14	14,70	0,16	+
	29. VIII-57	2999—3010	4,11	1,0280	52,4	1,9	9,2	0,4	0,1	84,98	14,86	0,16	+

В X горизонте Песчаный-море тяжелая фракция состоит в основном из рудных минералов, среди которых главная роль принадлежит пириту с содержанием до 69,5%.

Учитывая существующие взгляды, можно полагать, что образование пирита в X горизонте Песчаный-море связано с бактериальными процессами, вызванными разложением органического вещества и сероводородным брожением в условиях восстановительной среды.

ЛИТЕРАТУРА

1. Азизбеков Ш. А., Якубов А. А. Новый остров на Каспийском море. Изв. АзФАН СССР, № 1, 1938. 2 Алиев А. А. Материалы по изучению грязевых вулканов района хребтов Малый, Большой Харрами и Мишводаг. Изв. АН Азерб. ССР, № 9, 1957. 3. Мелик-Пашаев В. В. О природе больших пластовых давлений в областях развития грязевого вулканизма. АНХ, № 5, 1949. 4. Овнатанов С. Т. Тамразян Г. П. Нефтеносность Балаханская свиты нового месторождения Песчаный-море. Новости нефтяной техники. «Геология», № 8, 1958. 5. Султанов А. Д. Литология сопочной брекции грязевого вулкана Большой Кянизадаг. ДАН Азерб. ССР, т. 7, № 8, 1951. 6. Тамразян Г. П. Соленость вод грязевых вулканов Азербайджана. ДАН Азерб. ССР, т. X, № 2, 1954.

Институт геологии

Поступило 1. XI 1963

Гумадасы X горизонт сularы кимjеви тэркибләринин дәжишилмәсинин бәзи мәсәләләри

ХУЛАСЭ

Іәлләтдијимиз мәсәләләр Гумадасы нефт ятагынын X горизонтуnda мөвчүд олан лај сularы кимjеви тэркибләринин дәжишилмәсинин аjdыналашдырыр.

Мәгаләдә һәмчинин лај шәрантиндә бактеријаларын hәјат шәрантиндән дөған биокимjеви просессләrin тә'сири нәтичәсindә лај сularы тэркибиндә мушаһидә олунан сулфатын бәрпа олунмасы сәбәбләри дә мүәjjин едилir.

Нидрокимjеви хәритәдән (1-чи шәкил) аjdын көрүнүр ки, az минераллыға малик олан сular чәнуб периклинальнын мәркәз һиссәсindә топланыштыр; мәркәздән чәнуб периклинальна вә ганадлара дөғру сularын минераллығы артыр.

Сularын кимjеви тэркибләринин дәжишилмәсindәki бу чүр ганунауығунсузлуг Зых палчыг вулканы раionunda јерләшиш Балаханы лај дәстәсindәn VI, VIIIa вә IX горизонтлары үчүн дә ашкар едилмишdir.

Күман етмәк олар ки, нидрокен-сулфид сулфатын бәрпа олунмасыны төрәдән микроорганизмләrin hәјат фәалиjети илә сых әлагәдардыр.

Сулфат бәрпа олунаркән төрәjен нидрокен-сулфид дәмирин күкүрд бирләшмәләри шәклиндә сүхур илә бирләшә биләр.

Бә'зи палчыг вулканлары раionunda сүхурларын минераложи тэркибләринин өjrәнилмәсindәn аlyнан нәтичәләр (1,5) көстәрир ки, һәмин сүхурларда пиритин фази 60—85-э чатыр.

Тәдгигат апардыгымыз Гумадасынын X горизонтуnda пиритин фазинин 69,5-э чатмасы јухарыда деjilәnlәri бир даha тәсдиg едир.

Мөвчүд фикирләри нәзәрә алараг күман етмәк олар ки, пиритин төрәмәси бәрпаедичи мүһитdә нидрокен-сулфидин гычгырмасы вә органик маддәләrin чүрүмәсindә сәбәб олан бактериологи просессләр илә сых әлагәдардыр.

ГЕОЛОГИЯ

А. К. ГЮЛЬ

НЕКОТОРЫЕ ОСОБЕННОСТИ ИЗМЕНЕНИЙ ФИЗИКО-
МЕХАНИЧЕСКИХ СВОЙСТВ ГЛИН АПШЕРОНСКОГО ЯРУСА
АПШЕРОНСКОГО П-ВА

(Представлено академиком АН Азербайджанской ССР Ш. Ф. Мехтиевым)

Как известно, Апшеронский п-в представляет собой зону погружения Главного Кавказского хребта, сильно осложненную разрывными дислокациями.

В сравнительно недавнем геологическом прошлом энергичные складчатые движения вывели Апшерон на дневную поверхность. Огромные по своим масштабам сбросы и сдвиги того времени смешали целые массивы пород, сопровождаясь серией оползней и обвалов. И сейчас вдоль линий крупных тектонических нарушений периодически возобновляются грязе-вулканическая и сейсмическая активность.

Дизъюнктивные дислокации меньших размеров в различных участках полуострова существенно отражаются на нормальном залегании пластов, моделируя их поверхности. Иногда это предрасполагает к возникновению оползневых процессов на склонах, приуроченных к линиям тектонических нарушений.

Складчатые движения апшеронского и последующего времени обусловили высокую плотность глинистых пород, упрочненность и сцепленность их структурных связей. При этом наибольшая прочность наблюдается у глин, залегающих в местах концентрации тектонических усилий, обычно в зонах перегиба складок. Дизъюнктивная же дислокированность пород сочетается с брекчированием и пониженной прочности.

Примером может служить результат сопоставления показателей физико-механических свойств глин из разных обнажений полуострова и их средних значений для всего яруса (таблица).

Места отбора	Характер нарушения	Естественная влажность	Коэффициент пористости	Модуль осадки	Сила сцепления
Гездек Кардаг	Сброс Перегиб складки	20,7 20,2	0,59 0,61	49,4 15,5	0,87 2,80
Среднее значение по ярусу		23,2	0,66	28,5	1,59

Как видно из таблицы, прочность глин среднего ашшерона на участке сброса оказалась меньшей, чем у почти таких же разностей, взятых вблизи перегиба складки. Исключением являются брекчированные породы с естественной влажностью, обломки которых спаяны известковистыми или сульфатными растворами по трещинам.

А. Г. Күл

Ашшерон юрымадасы, Ашшерон мәртәбәси килләринин физики вә механики хассәләринин дәјиши мәснәнә бә'зи хүсусијәтләр һагында

ХУЛАСӘ

Мә'лум олдуғу кими, позулма дислокацијалары илә зәнкүн олан Ашшерон юрымадасы Бөйүк Гафгаз силосиләсинин Хәзәр дәнисинә енән зонасында јерләшир.

Ашшерон вә ондан сонракы дәврләрдә баш вермиш гырышыг төрәдән һәрәкәтләр, кил сүхурларының бәркимәснә, онларын структур рабитәләринин сәртләшмәснә вә сементләшмәснә сәбәб олмуш дур. Беләликлә, килләрдә эн јүксәк сәртлик тектоник гуввәләрин мәркәзләшдири јерләрдә, јә'ни гырышылары әјилмә зонасында муша-нидә олунур.

Сүхурларда әмәлә кәлән дислокацијив позулмалар исә онларда чын-гыл даши формасында парчаланмаја вә сәртлини зәнфләшмәснә сә-бәб олур. Өյрәнилмеш килләрин физики вә механики хассәләри юрым-ада саһәснәдә мүәјҗән гануни үзрә мүнгәзәм дәјишир вә Гарадағ—Бу-зовна истигаматинде узанан хәтләр үзрә ejni әһәмијәтли золаглар тәшкил едир. Бу гануни гејд етдијимиз зонаның әсас қеоструктур хүсусијәти һесаб олунарса, дислокацијив позулмалары ашкара чыхармаг үчүн мүһәндис-кеоложи тәдгигаты мә'лumatларындан истифадә етмәк лазын кәлир.

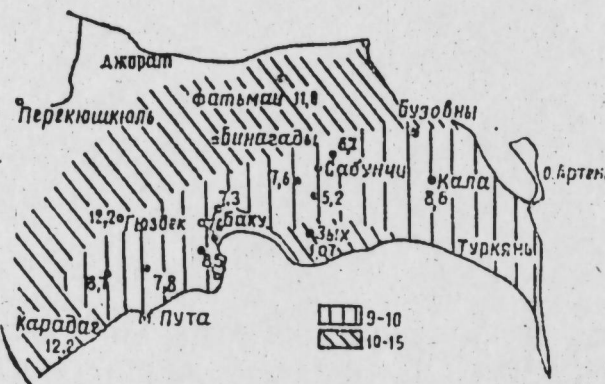


Рис. 1
Карбонатность (%)

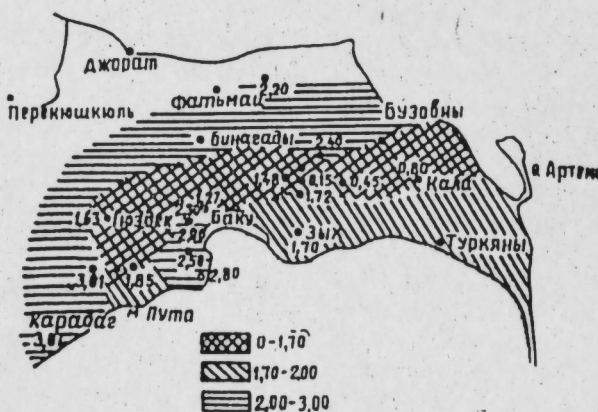


Рис. 2
Сили сцепления (kg/cm²)

Физико-механические свойства изученных глин закономерно изменяются по площади п-ва, образуя полосы близких значений вдоль линии, протягивающейся в направлении от Карадага к Бузовнам (см. рис. 1, 2).

Последнее, если исходить из геоструктурных особенностей названной зоны [1], допускает применение данных инженерно-геологических исследований для выявления дислокационных дислокаций

ЛИТЕРАТУРА

Тамразян Г. П. Пространственно-временная сопряженность деятельности пулькаров как один из признаков наличия глубинного разлома и некоторые вопросы ее периодичности. „Геология и разведка“, 1963, № 2.
Институт геологии

Поступило 4. XII 1963

ТЕКТОНИКА

Р. А. АЛЛАХВЕРДИЕВ

К ТЕКТОНИКЕ ШЕЙТАНУДСКОЙ СКЛАДКИ (ЦЕНТРАЛЬНЫЙ КОБЫСТАН)

(Представлено академиком АН Азербайджанской ССР М. А. Кашкаев)

Шейтанудская антиклинальная складка является одной из сложно построенных и перспективных в отношении поисков залежей нефти и газа структур Центрального Кобыстана. В морфологическом отношении местность, в которой находится складка, имеет обращенный рельеф. Хребты, окаймляющие складку с севера и юга, имеют синклинальное строение, а расположенная между ними слегка изрезанная продольными долинами и усеянная грязевулканическими сопками широкая холмистая равнина имеет антиклинальное строение.

В работах предыдущих исследователей в пределах рассматриваемой площади выделялись две самостоятельные антиклинальные структуры широтного простирания—Шейтанудская и Джуванская, сложенные майкопскими отложениями, а заключенные между ними мэотические и акчагыльские образования относились к Джуванской синклинали. Данные наших полевых исследований, а также детальный анализ результатов структурно-поискового бурения не позволяют согласиться с точкой зрения предыдущих исследователей. Анализ фактического материала показывает, что на площади располагается единая, крупная Шейтанудская антиклинальная структура с „наложенной“ синклиналью на своде. Она представляет собой асимметричную брахантектиналь широтного простирания, длиной 12 км, шириной 3,5–4 км, с крутым северным (45 – 50)° и более пологим южным (25)° крыльями; в геологическом строении складки принимает участие довольно большой комплекс отложений—от майкопской свиты до акчагыльского яруса включительно.

Джуанская и Шейтанудская антиклинали являются ни чем иным, как соответственно северным и южным крыльями структуры и, как выяснено, слои мэотиса и акчагыла, лежащие на размытом древнем своде складки, образуют небольшую синклинальную мульду, которая не находит своего отражения в более древних майкопских образованиях и, таким образом, является наложенной синклиналью, расположенной на своде складки, что убедительно доказано результатами структурно-поискового бурения. Достаточным подтверждением этому является также наличие многочисленных грязевулканических проявлений.

лений, расположенных, на первый взгляд, в центральной части „наложенной“ синклиналии, сложенной мэотическими и акчагыльскими отложениями. В действительности же они приурочены к погребенному своду складки, вырисовывающемуся по подстилающим майкопским отложениям. Свод складки, особенно в восточной части, разбит системой разрывных нарушений как продольных, так и поперечных, а один из них отчетливо фиксируется на поверхности по расположенным на нем грязевулканическим сопкам. В результате деятельности

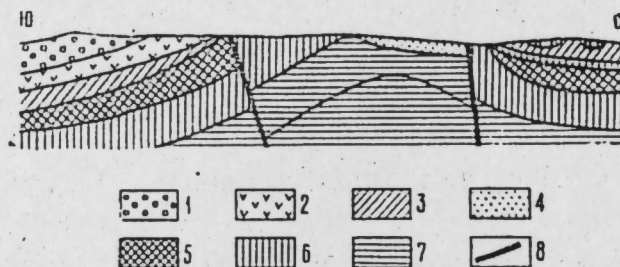


Рис. 1

Шейтануд. Геологический профиль.
1—продуктивная толща; 2—пластовая брекчия; 3—понтический ярус;
4—мэотический ярус; 5—диатомовая свита; 6—верхний майкоп;
8—разрывы; 7—нижний майкоп.

этих разрывов, свод разбит на отдельные блоки, опущенные по отношению друг к другу, где также наблюдается большая перемятость пород. Видимо, возникновение этих разрывов относится к предмэотическому времени, т. е. ко времени начала интенсивного роста складки. В результате этого центральная и восточная части свода оказались опущенными и впоследствии были заполнены отложениями мэотиса. Это хорошо видно по характеру контакта мэотиса с подстилающими образованиями.

Северное крыло складки в тектоническом отношении носит более спокойный характер и выражено нормальным чередованием слагающих его отложений, которые затем переходят в синклинальную мульду, разделяющую Шейтанудскую антиклиналь от Шихзагирлинской. Лишь в одном месте это крыло осложнено продольным разрывом, по которому верхний майкоп тектонически контактирует с сарматскими отложениями. Южное крыло в основном скрыто под продольным надвигом, по которому майкопские отложения надвинуты на миоценовые слои, а местами и на продуктивную толщу, которая слагает собой обширную синклиналь, разделяющую Шейтанудскую и Нардаран—Ахтарминскую складки.

Грязевулканические проявления, получившие широкое распространение на территории описываемой площади, мы подразделяем на четыре группы; они расположены на своде складки и приурочены к продольному присводовому разрыву. „Корни“ их связаны с майкопскими и, по-видимому, с коунскими отложениями (по данным анализов сопочной брекции и газа). Помимо сопочных брекций, на площади широкое распространение получили пластовые брекции, которые приурочены к подошве акчагыла, продуктивной толщи, мэотису. Это указывает на цикличность проявления грязевого вулканизма в среднем и нижнем плиоцене, а также после майкопа—в начале мэотиса. Наиболее мощные извержения, по-видимому, происходили после майкопа—в начале мэотиса, так как брекции, подстилающие мэотис, име-

ют наибольшую мощность, достигая в некоторых пунктах 135 м, в то время как мощность брекций, перекрывающих продуктивную толщу и point, колеблется в пределах от 32 до 80 м. Помимо сопочных и пластовых брекций, здесь выявлены тектонические брекции. Чаще всего они встречаются в майкопских отложениях, которые сильно перемяты и перетерты до степени брекции. Особенно хорошо это заметно в центральной, осложненной разрывами, присводовой части складки. Тектонические трещины встречаются и на южном крыле, в зоне продольного надвига, по которому майкопские отложения надвинуты на миоценовую и продуктивную толщи. Судя по тому, что акчагыл перекрывает все разрывы и контакты, возраст надвига определяется как доакчагыльский и завершился он, вероятно, в период между акчагыльским временем и веком продуктивной толщи.

Как видно из вышеизложенного, одновременно с ростом складки здесь происходила и активная тектоническая жизнь. Именно тектонические усилия явились одним из решающих факторов, способствовавших развитию интенсивной грязевулканической деятельности. Таким образом, центральная присводовая часть складки подвергалась сильным усилиям разрывных дислокаций, способствовавших возникновению грязевулканических явлений. В остальных частях структуры разрывные движения постепенно затухали, особенно на западном окончании ее, чем обусловлена нормальная геологическая последовательность отложений. Что касается восточной периклинали, то здесь наблюдается интересная картина, а именно то, что слои майкопа, мэотиса и pointa, в отличие от таковых западной части структуры (где отчетливо фиксируется замыкание складки), не испытывают тенденции к периклинальному завороту. Эти образования, простираясь здесь в широтном направлении, трансгрессивно, с резким азимутальным и угловым несогласием перекрываются плиоценовыми отложениями северного борта Джейранкечмезской депрессии, а затем вновь появляются на участке Бюргут, имея уже северо-восточное простижение. Чередование пластов сохраняется в такой же последовательности. Чуть северо-восточнее кочевки Бюргут отчетливо фиксируется периклинальное окончание по олигоцен-миоценовым отложениям. Однако этот участок выделяется в самостоятельную бюргутскую складку, несмотря на то, что он не имеет юго-западного периклинального окончания. Здесь эти отложения, также трансгрессивно, с резким угловым и азимутальным несогласием перекрыты плиоценовыми отложениями Джейранкечмезской депрессии. Что касается юго-восточного крыла на участке Бюргут, то здесь наблюдается то же самое, что и на Шейтанудском участке, а именно: майкоп надвинут на миоцен и продуктивную толщу. Хотя имеющиеся данные еще не совсем достаточны для уверенных выводов, но уже по выявленным фактам можно предположить, что это северо-восточное периклинальное замыкание в районе кочевки Бюргут представляет собой восточное окончание Шейтанудской антиклинальной складки.

ЛИТЕРАТУРА

1. Агабеков М. Г. Геологические исследования в пределах юго-восточной части планшета 11—2 (Боз-тапа) Центрального Кобыстана. Отчет о результатах инструментальной съемки за 1952 г. Баку, 1953.
2. Ахмедов Г. А. Геология и нефтегазоносность Кобыстана. Баку, Азнефтехиздат, 1957.
3. Жабрев И. П., Эфендиев А. Г. Геологический отчет о результатах работ Яванлаг-Тассинской инструментальной геологической партии (Западная часть Центрального Кобыстана) за 1953 г. Баку, 1954.
4. Мамедов Б. Б. Шейтануд. Геологический отчет ГПТ за 1954 г. Баку, 1956.
5. Салаев С. Г. Олигоцен-миоценовые отложения юго-восточного Кавказа и их нефтегазоносность. Баку, 1961.

Институт геологии

Поступило 16. XII 1963

Шејтануд гырышыглынын тектоникасына даир (Мәркәзи Гобустан)

ТОМ XX

№ 6

1984

ХУЛАСӘ

Шејтануд антиклинал гырышыглығы Мәркәзи Гобустанын мүрәккәб гурулушлу, нефт вә газ жатагларынын ахтарышы нәгтєи-нәзәриндән перспективли структурларындан биридир.

Структур-ахтарыш газымасы материалларынын дәғиг тәһили, һәм чинин чөл ишләри нәтичәсинде белә фикрә кәлмәк олар ки, Шејтануд саһәси сонракы дөврләрдә тағ һиссәси синклинал илә өртүлмүш бөյүк антиклинал гырышыгдан ибарәтдир. Беләниклә, дикәр тәдгигатчылар тәрәфиндән гејд олунмуш ики антиклинал мүәјжән етдијимиз гырышыгын шимал вә ҹануб ганадларына мұвағиғдир.

ПЕТРОГРАФИЯ

Р. К. ГАСАНОВ

**О МЕТАМОРФИЗОВАННЫХ УЛЬТРАОСНОВНЫХ
И ОСНОВНЫХ ПОРОДАХ ВДОЛЬ СЕВЕРО-И ОСТОЧНОГО
СКЛОНА ШАХДАГСКОГО ХРЕБТА (МАЛЫЙ КАВКАЗ)**

(Представлено академиком АН Азербайджанской ССР М. А. Кашиев)

Интрузивные породы вдоль северо-восточного склона Шахдагского хребта подверглись региональному метаморфизму, по-видимому, при оформлении Муродагского надвига. При метаморфизме за счет ультраосновных и основных пород образовались tremolитовые, актинолит-тремолитовые сланцы и амфиболиты, находящиеся с ними в тесной пространственной и генетической связи. Как правило, они приурочены к линиям разрывных нарушений, прослеживающихся вдоль хребта в северо-западном направлении.

О метаморфических породах рассматриваемой области в литературе сведений не имеется, поэтому представленные данные имеют некоторый интерес.

Тремолитовые и актинолит-тремолитовые сланцы обнажаются в виде небольших (10×30 м), обособленных друг от друга участков. Плоскость сланцевания в них крутая — до вертикальной, совпадает с общим простирианием линий разрывных нарушений. Эти особенности получили свое отражение в нематобластовой структуре, обусловленной ориентированностью зерен в направлении простириания плоскости сланцевания (рис. 1). Интересно отметить, что в этом же направлении располагается плоскость второго пинакоида (010) актинолита и tremolита. Содержание этих минералов около 85%. Местами они участками, реже — целиком хлоритизированы (8—10%); точечного и вкрапленного магнетита в них до 5%.

Амфиболиты в виде цепочки, в основном вдоль эндоконтактов габброидных интрузивов, образуют различной величины штоки и полосы (до 100×600 м). Широкого развития они достигли на Гейгельском габбро-перидотитовом массиве в связи с интрузивом роговообманкового габбро, расположенного у истоков р. Шамхорчай. Относительно реже амфиболиты встречаются в пределах центрального (г. Коджадаг) и северо-западного (верховья р. Четындере) участков шахдагского хребта, где широко развиты диориты и кварцевые диориты. Порода массивная, нередко сланцеватая. Структура грано-

бластическая, кристаллобластическая, реже — габброластовая, пойкилобластов, катакластическая и сланцеватая (рис. 2). Среди амфиболитов выделяем следующие разновидности: пироксеновые, роговообманковые (наиболее развитые), роговообманково-актинолитовые и



Рис. 1
Актиноолит-тремолитовый сланец. Ув. 30 ник. +

ортоклаз-микроклиновые. Основную часть породы составляют темноцветные компоненты. Оптические константы темноцветных компонентов актинолит-тремолитовых сланцев и амфиболитов приводятся в сводной табл. 1



Рис. 2
Сланцеватый амфиболит. Ориентированные кристаллы амфибала (Нв), в промежутках которых располагаются ксеноморфные, сильно разложенные зерна плагиоклазов (черные).

По битовниту (№ 73—84) амфиболитов интенсивно развиваются цоизит, альбит, пренит, реже — цеолит. Ксеноморфные ортоклаз и микроклин образуют каемки вокруг плагиоклазов. Гиперстен, диопсид и авгит нередко замещаются tremolитом, актинолитом или уралитом. Роговая обманка образует частые двойники по (100) и катаклизированные дробные агрегаты с волнистым погасанием. Обычно роговая

Таблица 1
Оптические константы темноцветных компонентов актинолит-тремолитовых сланцев и амфиболитов

Наименование породы	Наименование минерала	Разм. зерен, м.м.	Ng	Np	Ng — Np	cNg [100]	2 v
Актиноолит-тремолитовый сланец	Актиноолит Тремолит	0.2—0.4 • 1,650	1,665—1,670 1,650	1,645—1,652 1,631	0,020—0,018 0,019	14—15 17	-78— -80 -82
Амфиболит	Гиперстен Диопсид Авгит Рог. обм. 1 ^я ген. Рог. обм. 2 ^я ген.	0,1—0,3 0,2—0,5 0,2—0,7 0,5—0,2 1,0—3,0	1,712 1,698 1,694 1,662—1,665 1,680—1,665	1,700 1,669 1,669 1,640—1,638 1,660—1,643	0,012 0,029 0,025 0,020—0,018 0,022—0,020	0 39 41 20—22 15—19	-46 +56 +66 -84— -86 -84— -68

обманка второй генерации более железистая и включает роговую обманку первой генерации. Присутствуют апатит, циркон, сфен, гранат и магнетит.

Химизм и процессы привноса и выноса при метаморфизме

Химический состав актинолит-тремолитовых сланцев занимает некоторое промежуточное положение между дунитами и перидотитами с одной стороны и пироксенитами — с другой. Очевидно, они образовались не за счет дунитов и перидотитов, а за счет пироксенитов. По-видимому, этим объясняется их незначительное распространение, так как при условии перехода в сланцы всех разновидностей ультраосновных пород они, естественно, имели бы значительное площадное развитие.

По химическому составу амфиболиты близки к роговообманковым габбро и тесно связаны с преобразованием последних.

Химические анализы исходных (магматических) и метаморфических пород приводятся в табл. 2¹. По классификации А. Н. Заварницкого (1941) анализ 338 характеризует голомеланократовую породу, слабо недосыщенную кремнекислотой и бедную щелочами (класс 5-й, группа 19, подгруппа „в“); анализ 394 — голомеланократовую породу, недосыщенную кремнекислотой (класс 6-й, группа 23, подгруппа „в“). Анализы 4к, 60 и 601 характеризуют породу, слабо недосыщенную кремнекислотой и бедную щелочами (класс 5-й, группа 19, подгруппа „б“). Лишь анализ 83 характеризуется насыщенностью кремнекислотой и бедностью щелочами (класс 4-й, группа 15, подгруппа „а“).

С целью выяснения количественного учета мобильных компонентов (элементов, ионов) нами произведен расчет привноса и выноса при метаморфизме пород по методу Т. Барта (1955) (табл. 3).

Как видно из табл. 3, переход пироксенита в актинолит-тремолитовый сланец сопровождался в основном привносом Al, Fe, Mg, Na и выносом значительных количеств Si и Ca. Переход роговообманкового габбро в амфиболит сопровождался привносом значительных количеств Fe и Mg и выносом относительно небольших количеств Si, Al, Ca и воды. Резкое увеличение количества Fe²⁺, помимо прив-

¹ Анализы 338, 394, 83, 60 и 601 выполнены в геохимической лаборатории Института геологии АН Азерб. ССР, аналитик Э. Эфендиева. Анализ 4к приводится по данным М. А. Кашкая (1947).

Таблица 2

Химические анализы исходных и метаморфических пород

Компоненты	Пироксенит	Актинолит-тремолитовый сланец	Роговообманковые габбро		Амфиболиты	
	338	394	83	4к	60	601
SiO ₂	49,39	43,19	44,45	44,28	44,49	43,49
TiO ₂	0,02	0,10	0,01	0,23	0,05	0,15
Al ₂ O ₃	2,26	10,96	23,88	20,59	20,24	16,22
Fe ₂ O ₃	2,53	3,04	2,08	6,77	2,39	2,82
FeO	2,65	5,57	1,89	5,25	8,71	7,53
CaO	21,46	12,06	17,60	14,74	11,92	16,00
MgO	18,42	17,78	6,58	5,12	9,62	9,24
Na ₂ O	0,44	1,04	0,56	1,50	0,47	1,33
K ₂ O	0,06	0,42	0,06	0,29	0,13	—
H ₂ O	0,30	0,30	0,30	1,33	0,70	0,59
П. п. п.	2,07	6,09	2,07	—	0,87	2,61
Сумма	100,56	100,55	99,48	100,10	99,59	99,80

Числовые характеристики по А. Н. Заваризкому

N	a	c	b	s	f'	m'	c'	n	t	φ	Q	a/c
338	0,8	0,9	51,1	47,2	7,7	51,1	41,1	100	—	3,6	—8,1	0,90
394	2,75	5,15	45,1	47,0	17,0	63,0	20,0	81,0	0,1	5,5	—16,5	0,53
83	1,4	16,8	24,3	57,5	16,6	5,0	31,4	100	—	8,3	—4,6	0,08
4к	4,0	13,0	27,8	55,2	17,0	55,0	28,0	82,0	0,6	—	—8,7	1,33
60	1,2	14,0	30,1	54,7	37,0	58,8	5,0	87,5	—	7,3	—7,0	0,17
601	2,9	9,8	36,2	51,1	27,0	44,0	29,0	100	0,3	6,6	—13,0	0,30

Таблица 3

Результаты пересчета анализов по Т. Барту

Элементы	I				II			
	338	394	Привнос	Вынос	Среднее из анализ. 83 и 4к	Среднее из анализ. 60 и 601	Привнос	Вынос
Si	506	484	—	22	494	485	—	9
Tl	—	1	1	—	1	1	—	—
Al	14	67	53	—	147	118	—	29
Fe ⁺⁺⁺	10	13	3	—	18	11	—	7
Fe ⁺⁺	23	52	29	—	33	75	42	—
Ca	235	145	—	90	192	165	—	27
Mg	280	297	17	—	96	155	59	—
Na	4	11	7	—	11	10	—	1
K	—	3	3	—	1	—	—	—
OH	10	11	1	—	29	24	—	5

носа можно объяснить переходом в него Fe⁺⁺⁺. В общем балансе количества привнесенного вещества несколько преобладает над вынесенным, что, вероятно, связано с увеличением плотности породы на единицу объема при метаморфизме.

Выводы

1. В преобразовании пород ультраосновного и основного комплексов большую роль сыграл региональный метаморфизм, возникший, вероятно, в связи с оформлением Муровдагского надвига в верхнетретичное время.

2. Актинолит-тремолитовые сланцы образовались в результате преобразования ультраосновных (пироксенитов), а амфиболиты — основных пород. В пользу такого представления говорят следующие факты: а) непосредственная приуроченность актинолит-тремолитовых сланцев и амфиболитов соответственно к эндоконтактам и линиям тектонических нарушений в ультраосновных и основных породах; б) тесное химическое родство их с вмещающими интрузивными породами.

3. Преобразование ультраосновных пород в актинолит-тремолитовые сланцы сопровождалось в основном привносом Al, Fe, Mg и щелочей и выносом Si и Ca.

4. Преобразование габброидов в амфиболиты сопровождалось в основном привносом Fe и Mg и выносом Al, Ca и, незначительно, воды.

ЛИТЕРАТУРА

- Барт. Т. Теоретическая петрология. ИИЛ, М., 1956.
- Заваризкий А. Н. Пересчет химических анализов изверженных горных пород. Изд-во АН СССР, М., 1941.
- Кашкай М. А. Основные и ультраосновные породы Азербайджана. Изд-во АН Азерб. ССР, Баку, 1947.

Институт геологии

Поступило 12 XI 1963

Р. Г. Һәсәнов

Шаһдағ силсиләсүнин шимал-шәрг јамачларындакы
метаморфлашмыш ултраэсаси вә әсаси сұхурлар һағында

(Кичик Гағгаз)

ХУЛАСӘ

Бу сұхурларын метаморфлашмасы үчүнчү дөвр Муровдағ үстәкәлмәсі илә әлагәдардыр. Нәтичәдә ултраэсаси сұхурлар актинолит-тремолит шистләринә, әсасиләр амфиболитләрә чеврилмишdir. Ултраэсаси сұхурларын метаморфлашмасы Al, Fe, Mg гәләвиләрни кәтирилмәсі илә вә Si, Ca-ун чыхарылмасы илә мүшајиэт олунмуш, набелә габроидләрни метаморфлашмасы Fe, Mg-ун кәтирилмәсі, Si, Al вә чох аз мигдарда сујун чыхарылмасы илә мүшајиэт едилмишdir.

БИОХИМИЯ

З. Б. АГАЛАРОВА

**ОСНОВНЫЕ КАЧЕСТВЕННЫЕ ПОКАЗАТЕЛИ ЗЕЛЕНОГО
ЧАЙНОГО ЛИСТА ПРИ РАЗЛИЧНЫХ УСЛОВИЯХ
МИНЕРАЛЬНОГО ПИТАНИЯ**

(Представлено академиком АН Азербайджанской ССР Г. А. Алиевым)

Учитывая большое народнохозяйственное значение культуры чая и необходимость удовлетворения потребности населения в чае отечественного производства, советское правительство предусматривает дальнейшее увеличение урожайности чайного листа. Причем это увеличение должно быть достигнуто не только за счет расширения площадей, но и за счет повышения урожайности чайного листа с каждого гектара.

В целях изучения влияния минеральных удобрений на качество зеленого чайного листа нами были взяты растительные пробы с опытных участков колхоза им. Жданова Астаринского района в условиях орошения посадки 1938 г. колхоза им. Пушкина Ленкоранского района в богарных условиях посадки 1951 г. Опыты были заложены в 1952 г. лабораторией минеральных удобрений Института почвоведения и агрохимии АН Азербайджанской ССР, где в течение 10 лет ежегодно вносились удобрения, согласно схеме опыта.

В течение сезона 3 раза — в мае, июле и сентябре — брались пробы как в виде двухлистных побегов (флешей), так и в виде огрубевших старых листьев. Эти растительные образцы подвергались фиксации водяным паром в аппарате Коха в течение 2—3 минут. Фиксированный материал высушивался в термостате при температуре 65—70°, растирался и просеивался через миллиметровое сито. В них определялись основные качественные показатели чайного листа: танин и экстрактивные вещества по методике, применяемой Всесоюзным институтом чая и Институтом биохимии АН СССР. Из результатов анализа по определению танина и экстрактивных веществ видно, что в колхозах им. Жданова и им. Пушкина при внесении азотистых удобрений из расчета 90—180 кг/га азота происходит увеличение танина и экстрактивных веществ. При внесении же азота из расчета 360 кг/га наблюдается уменьшение содержания танина и экстрактивных веществ, в то время как содержание общего азота при этом увеличивается. Это подтверждается также данными Р. К. Гусейнова и А. Т. Мирзоян (1957).

Такое же явление наблюдается и при внесении фосфорных удобрений из расчета 90—180 кг/га, что положительно влияет на качество чайного листа в колхозе им. Пушкина, а в колхозе им. Жданова положительное влияние оказывает не только эта доза, но и 540 кг/га.

Как указывает Г. Н. Урушадзе (1937), во всех случаях, где образование новой ткани в растениях является наиболее активным, фосфорная кислота играет весьма важную роль. Поскольку в той части растения, которая перерабатывается в чай, образование новых клеток происходит необычайно интенсивно, то значение фосфора очень важно для получения высококачественного урожая.

При внесении калийных удобрений из расчета 100 кг/га происходит увеличение содержания танина и экстрактивных веществ по сравнению с вариантом, где внесен калий из расчета 200—300 кг/га.

Химический состав зеленого чайного листа также резко изменяется в зависимости от его возраста. Если сравнить содержание танина, экстрактивных веществ и общего азота в старых и молодых чайных листьях, то оказывается, что во всех случаях эти основные показатели качества чая содержатся в 2—3 раза меньше, в старых листьях, нежели в молодых.

Так, например, в молодых листьях содержание танина колеблется в пределах от 22,8 до 34,3% и экстрактивных веществ — от 42,4 до 50,7%, в то время как в старых огрубевших листьях содержание танина колеблется от 8,2 до 17,5%, а экстрактивных веществ — от 24,8 до 37,4%.

Из этих данных видно, что накопление основных качественных показателей зеленого чайного листа наиболее интенсивно происходит в молодых быстрорастущих листьях, чем в старых, где процесс фотосинтеза проходит слабее.

По мере появления новых листьев на кусте, обладающих высокой энергией фотосинтеза, эта функция у старых листьев, вероятно, постепенно сводится к минимуму. Кроме того, по мере старения листьев, как отмечает Г. П. Голетиани (1953), процесс гидролитического распада сложных органических соединений преобладает над процессом синтеза.

Если проследить за изменением содержания танина и экстрактивных веществ по месяцам, то наибольшее количество их обнаруживается в середине вегетации (июль) и несколько меньше в начале и в конце вегетации (май, сентябрь). Это объясняется тем, что в летние месяцы, особенно в июле, атмосферные осадки почти не выпадают, а танин, являющийся одним из основных продуктов фотосинтеза, вырабатывается в листе, при наличии оптимальной температуры и света.

Выводы

1. Количество танина и экстрактивных веществ в молодых листьях больше, чем в старых, что объясняется ослабленным процессом фотосинтеза, а также преобладанием процесса распада над процессом синтеза.

2. Азотистые удобрения, внесенные из расчета 90—180 кг/га, вызывают увеличение процентного содержания танина и экстрактивных веществ как в молодых, так и в старых листьях, чем внесение его в дозе 360 кг/га.

3. Фосфорные удобрения, внесенные в дозе 90—180 кг/га действующего начала, вызывают увеличение содержания танина и экстрактивных веществ в зеленом чайном листе, а также в старых листьях, а при дозе 540 кг/га наблюдается незначительное их уменьшение.

4. Максимальное увеличение содержания танина и экстрактивных веществ наблюдается в июле.

5. С внесением высоких доз азотных удобрений общее содержание азота увеличивается, а количество танина и экстрактивных веществ уменьшается, что отрицательно влияет на качество чая.

ЛИТЕРАТУРА

- Голетиани Г. И. О роли старых листьев в режиме питания чайного растения и связи с применением удобрений. «Сов. агрономия», № 3, 1953.
- Урушадзе Г. Н. Химический метод определения качества чайного сырья. Тр. ВНИИЧиЦХ. № 7, 1937.
- Гусейнов Р. К., Мирзоев А. Т. «Сов. с/х Азербайджана», № 4, 1957.

Институт почвоведения и агрономии

Поступило 10. I 1964

З. Б. Агаларова

Мұхтәлиф минерал гидаланма шәрәнтиндә жашыл чај Іарпағының әсас көзінде көстәрілдірі

ХҮЛАСӘ

Мұхтәлиф гидаланма шәрәнтиндә жашыл чај Іарпағының көзінде көстәрілдірінде көре апарылған тәлгигиттар көстәрір ки, 1ектара 90—180 кг несабында верилмиш азот вә фосфор күбрәләри һәм чаван, һәм дә жашыл чај Іарпағында танини вә экстрактив маддәләрini артмасына сәбәб олур. Азот күбрәләрini 360 кг дозасында верилмәси танини вә экстрактив маддәләрini артмасына, фосфор күбрәләрini 540 кг верилмәси исә онларын көзә чаримајан мигдарда азальмасына сәбәб олмушадур.

Жашыл чај Іарпағында танини вә экстрактив маддәләрini мигдары жашыл Іарпағында иисбәтән өткөрдір. Бу да фотосинтез процесинин зәйніләмәсін вә парчаланма процесинин әмәләкәлмә процеси үзәрinden-ки үстүнлүгү илә изән едилір.

Танини вә экстрактив маддәләрini максимум мигдарда артмасы илүл айнанда көрүнүр.

Битки анализи көстәрди ки, азот күбрәләрini үзек дозасы (360 кг) үмуми азотун артмасына сәбәб олур ки, бу да чајын көзінде жашыл мәнфи тә'сир көстәрір.

А. Г. КАСЫМОВ

НОВЫЙ ВИД ЛИЧИНКИ ТЕНДИПЕДИД (CRYPTOCHIRONOMUS
PANKRATOVAE KASUMOV sp. n.) ИЗ р. КУРЫ

(Представлено академиком АН Азербайджанской ССР А. Н. Даргавиной)

Описываемую личинку мы находили довольно часто в 1959—1962 гг. в нижней Куре. По всем признакам личинка относится к роду *Cryptochironomus*. На это указывают: форма головной капсулы, расположение глаз, антени, длинный щупик максиллы и другие морфологические признаки, свойственные реофильным формам рода *Cryptochironomus*.

Длина личинки *C. pankratovae*—4—5 мм.

Голова светло-желтая и расширенная у основания. С каждой стороны головы по паре глазков неодинаковой величины. Мандибула широкая, изогнутая и конец ее желтый (рис. 1, а). Концевой зубец

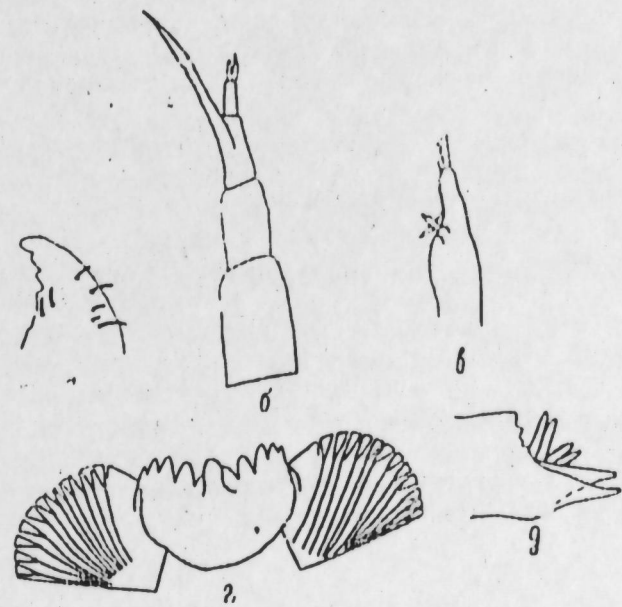


Рис. 1
Cryptochironomus pankratovae sp. n.

несколько тупой, два другие почти треугольные, равные между собой. Под зубцами мандибулы имеется две щетинки и на наружной стороне их всего пять с двумя длинными щетинками. Усик семичлениковый (рис. 1, б). Основной членник несколько длиннее второго и значительно меньше щетинки. Второй и третий членники почти равны по длине. Границы между 6-м и 7-м членниками не ясны, и вершинный членник очень маленький, заостренный. Щетинка усика отходит от третьего членника, сросшись с его основанием, и ее конец больше конца усика. Щупик максиллы с двумя трехчленистыми придатками (рис. 1, в). Лаутерборнов орган сидит на конце четвертого членника и чуть не доходит до конца усика. Субментум с округленным средним зубцом и четырьмя парами острых боковых зубцов (рис. 1, г). Второй боковой зубец выше всех остальных. Пластина субментума примерно одинакова в ширину

Рис. 2
Экологический спектр *Cryptochironomus pancratovae* sp. n.

и высоту, с рубчиками по верхнему краю. Верхняя пара анальных папилл хорошо развита и лишь немного короче подталкивателей (рис. 1, д). Тело личинки веретеновидное.

Местонахождение. р. Кура от Зардoba до Сальян. Биотоп—илисто-песчаное и песчаное дно, при скорости воды от 0,3 до 0,6 м/сек (рис. 2). Прозрачность воды была 0,11—0,20 м. Соленость воды достигает зимой и весной 302—362 мг/л, летом—382 мг/л и осенью—468 мг/л. Содержание растворенного в воде кислорода равно 93%, при температуре воды 6,2 зимой и 26,0° летом.

Тип хранится в коллекции лаборатории гидробиологии Института зоологии Академии наук Азербайджанской ССР и лаборатории пресноводной и экспериментальной гидробиологии Зоологического института АН СССР.

Институт зоологии

Поступило 14. III 1963

Э. Г. Гасымов

Күр чаында тәзә нөв тендипедид сүрфәси (*Cryptochironomus pancratovae* Kasumov sp. n.)

ХУЛАСӘ

Бу сүрфә Күр чаынын ашагы һиссәсендә 1959—1962-чи илләрдә йығылмышдыр. Бүтүн эlamәтләrinә көрә сүрфә *Cryptochironomus* чинисә лиддир. Мәгаләдә сүрфәнин морфологияни эlamәтләри вә екологијасы һаггында бә'зи мә'lуматлар верилир.

	Олиготип	Мезотип	Политип
термина			
течение			
прозрачность			
pH			
O ₂			
Сө			
Ca			
иЛ			

МИКРОБИОЛОГИЯ

Н. А. МЕХТИЕВА

КРИТИЧЕСКИЙ ОБЗОР ХИЩНЫХ ВИДОВ *TRICHOThECIUM*

(Представлено академиком АН Азербайджанской ССР В. Р. Воловуевым)

В современной микологической литературе в род *Trichothecium* помещаются обычно грибы с двухклетными бесцветными конидиями, расположеннымами одиночно или в виде одной терминальной головки на конидиеносцах. Иначе говоря, исследователи придерживаются определения Линка (Link, 1809), приведенного для *Trichothecium* (Saccardo, Drechsler, Clements и др.). В то же время другие авторы (Duddington, Сопрунов, Кондакова, Расульев и др.) придерживаются понимания рода *Trichothecium*, предложенного Корда (Corda, 1842) для рода *Cephalothecium*, и при этом рассматривают *Cephalothecium* в качестве синонима *Trichothecium* Link.

Следует отметить, что основной мотивировкой авторов, изучающих хищные грибы для помещения видов с двухклетными спорами в род *Trichothecium*, часто служило сходство в морфологии изучаемого гриба с *Trichothecium roseum* Link или отличие от *Arthrobotrys superba* Corda.

Однако и такой подход носил чисто формальный характер, что привело к тому, что грибы, помещенные этими авторами в *Trichothecium* не имели ничего общего с *Trichothecium roseum* Link.

Экспериментальное изучение динамики развития конидий у *T. roseum*, описанного Линком в качестве типа *Trichothecium*, показало отсутствие какой-либо конидиальной головки и стеригм на дистальном конце конидиеносца.

Образование головки конидий у *T. roseum* существенно отличается от истинных головок, встречающихся у многих родов несовершенных грибов (*Gonobotrys*, *Arthrobotrys* и мн. др.).

Наблюдение за развитием от начальной стадии возникновения первой конидии до формирования головки с многочисленными конидиями показало, что в данном случае на конидиеносце возникает не головка конидий, а цепочка, состоящая из многочисленных конидий¹.

¹ О подробности образования конидиальной цепочки см. «ДАН Азерб. ССР», № 3, 1961. «Критический подход к определению родов *Arthrobotrys* и *Trichothecium*».

Это очень важное обстоятельство позволило критически разобраться в хищных видах, отнесенных указанными авторами к роду *Trichothecium*.

Из доступных нам литературных источников до сих пор известны 5 видов и 2 вариации хищных грибов из рода *Trichothecium*.

Первый хищный вид *Trichothecium*—*T. polybrochum*—описан в 1937 г. Дрекслером на разлагающихся *Spinacia oleracea* в штате Виргиния (США).

Мотивировкой для помещения этого гриба в род *Trichothecium* Дрекслер считает сходство конидиального спороношения с *Trichothecium* (в понимании Линка). Однако сам Дрекслер признает при этом отсутствие у данного гриба какого-либо сходства с *T. roseum* Link (рис. 1).

Возникает вопрос, если данный гриб не имеет никакого сходства с *T. roseum*, являющимся типом рода *Trichothecium*, то на каком же основании Дрекслер поместил данный вид в род *Trichothecium*. Если *T. polybrochum* сходен с *Trichothecium* только по наличию одной конидии на конидиеносце, которая по рисунку самого автора отнюдь не является по форме характерной для *Trichothecium*, то от *Dactylella* он отличается лишь образованием единственной перегородки, разделяющей конидию на две клетки. Все остальные признаки—наличие одной конидии на дистальном конце длинного конидиеносца, многочисленных сжимающихся колец на мицелии, форма и размеры (соотношение длины к ширине) конидий—являются явными признаками рода *Dactylella*.

Следует отметить, что количество перегородок в конидиях у рода *Dactylella* может варьировать в пределах не только рода, но и вида. Это наблюдается у видов *Dactylella thaumasia*, *D. eudermata*, *D. psychrophila*, *D. doedycoides* и др., описанные самим Дрекслером конидии которых разделены 2—3—4 и более перегородками.

Из изложенного видно, что *T. polybrochum* стоит ближе к роду *Dactylella* и не имеет ничего общего с *Trichothecium*. В связи с этим мы считаем правильнее поместить его в род *Lactylella*.

Два хищных гриба *Trichothecium* обнаружил в Англии Даддингтон. Один из них *T. flagrans* выделен им из разлагающихся остатков (рис. 2) овощей в июне 1947 г. в Лондоне. По описанию Даддингтона, конидиальная головка расположена на дистальном конце конидиеносца и содержит до 10 и более конидий, возникающих следующим образом: первая конидия возникает вначале в виде расширения верхушки конидиеносца, затем сгибается в сторону. Вторая конидия возникает на конидиеносцах ниже первой и т. д.

Конидии разделяются на 2 равные по величине клетки. Улавливающий аппарат—в виде петель.

Поместив свой гриб в род *Trichothecium*, Даддингтон отмечает: "морфологически, особенно по аппарату улавливания, гриб напоми-

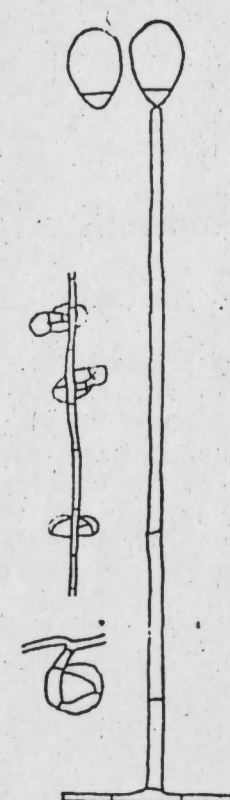


Рис. 1
T. polybrochum D. r.

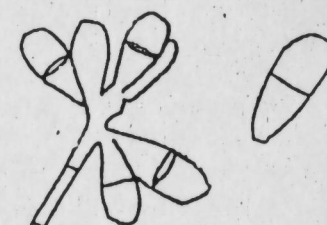


Рис. 2
T. flagrans D. r.

нает *Arthrobotrys*, но форма конидий, которые образуются последовательно на конидиеносце без стеригм, более характерна для *Trichothecium*" (1949, стр. 287).

Приведенные Даддингтоном данные по развитию конидий имеют некоторые общие черты с *Trichothecium*.

Однако, как яствует из рисунка и описания Даддингтона, конидии, возникающие последовательно, остаются прикрепленными к дистальному концу конидиеносца и создают настоящую головку, тогда как у *T. roseum* Link конидии прикрепляются не к вершине конидиеносца, а друг к другу в виде цепочки, а к конидиеносцу остается прикрепленной только одна конидия, развившаяся последней.

Таким образом, по наличию конидиальной головки *T. flagrans* D. r. ближе стоит к *Arthrobotrys*, чем к *Trichothecium*.

И так как все другие признаки напоминают *Arthrobotrys*, считаем правильным поместить *T. flagrans* D. r. в род *Arthrobotrys*.

Другой вид хищного гриба, помещенный Даддингтоном в род *Trichothecium*—*T. cystosporium*—обнаружен им на разлагающейся древесине, взятой в буковом лесу в октябре 1948 г. в Соррей (Англия).

Конидиальная головка гриба (рис. 3) развивается на дистальном конце конидиеносца или на его ветвях и содержит обычно 12 конидий, а в старых культурах—20 и более. Первая конидия возникает на вершине конидиеносца, последующие возникают ниже первой, которая часто поворачивается в сторону. Конидии сидят на коротких ветвях конидиеносца и разделяются на 2 неравные клетки, из которых дистальная намного больше проксимальной.

По словам Даддингтона, "гриб помещен в род *Trichothecium* потому, что по образу развития конидий он больше характерен для *T. roseum*, чем для *A. Superba*. Ветвление конидиеносца отличает данный гриб от *T. roseum*, однако образование последовательных конидий в базипетальном направлении, отмеченное Elliot (1918) и отличие гриба от рисунка Корда, приведенного для *A. superba* (183.), говорит о близости этого гриба к *T. roseum*" (1951, стр. 601).

Как видно из приведенного высказывания Даддингтона, автор сам был в большом сомнении в точности определения родовой принадлежности выделенного им гриба.

Учитывая наличие явно выраженных стеригм на вершине конидиеносца, характерную форму конидий и расположение перегородки в ней, считаем нужным поместить *T. cystosporium* D. r. в род *Arthrobotrys*.

В Советском Союзе новые виды хищных грибов *Trichothecium* описаны Сопруновым (1958). Им обнаружены в почвах Туркменистана 2 вида и 2 вариации—*T. pravicovi*, *T. globosporum*, *T. globosporum* var. *microsporum* и var. *roseum*.

При анализе диагноза и рисунка, приведенных самим автором для *T. pravicovi* (рис. 4), совершенно явно бросается в глаза отсутствие общности у данного вида с *Trichothecium*.

Автор пишет, что "дистальный конец конидиеносца сильно утолщен и неравномерно расширен, образуя как бы головку сложной

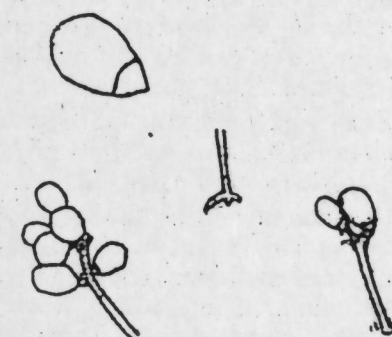


Рис. 3
T. cystosporium D. r.

формы, усеянную шипами, к которым прикреплены конидии в виде одной терминальной грозди" (стр. 116).

Как видно, описание конидиальной головки у *Arthrobotrys*. Скопление конидий на вершине конидиеносца имеет внешнее сходство с конидиальной головкой. Это является результатом слишком близкого расположения расширенной конидиеносца и шипов на них, что натолкнуло автора поместить данный гриб в род *Trichothecium*. Однако близкое знакомство с развитием конидиальной головки, что прекрасно иллюстрировано у самого автора, не оставляет никаких сомнений в том, что данный гриб должен быть помещен в род *Arthrobotrys*.

Если при описании *T. pravicovi* Сопрунов был уверен в точности помещения своего гриба в род *Trichothecium*, то этого нельзя сказать о *T. globosporum* (рис. 5).

Установив новый вид, Сопрунов приводит для него следующие описания конидиального спороношения: "дистальный конец конидиеносца снабжен несколькими утолщениями, усеянными шипами, к которым прикреплены конидии. Расстояние между утолщениями конидиеносца не превышает 23–30 μ , оно уменьшается к дистальному концу, который обычно неравномерно утолщен и усеян шипами.

Образование новых конидий происходит акропетально" (стр. 119).

Как видно из приведенного, описаный гриб, без всяких сомнений, должен быть помещен в род *Arthrobotrys*.

Кстати, это заметил и сам автор, который писал: "прямой неветвящийся конидиеносец с расширениями в местах прикрепления конидий, как известно, характерен для рода *Arthrobotrys*, по-

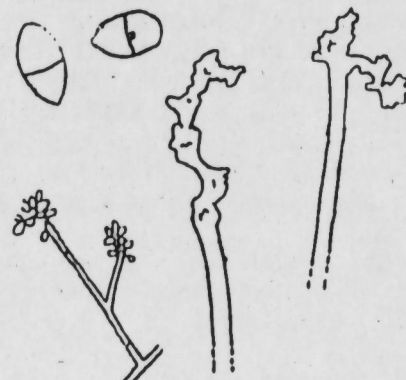


Рис. 4
T. pravicovi Sopr.

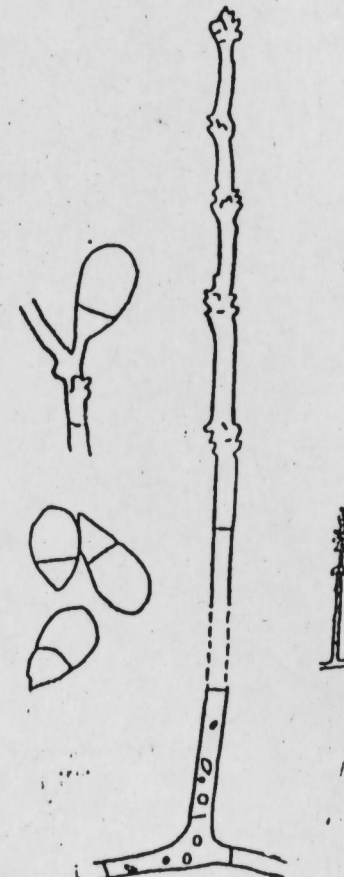


Рис. 5
T. globosporum Sopr.

тому невольно возникает сомнение: не следует ли данный гриб отнести к роду *Arthrobotrys*? (стр. 119).

Однако, несмотря на явное отличие данного гриба от *Trichothecium*, автор считал нужным поместить его в род *Trichothecium*, основанием

для чего считал форму конидий и форму и размеры колец-ловушек, что явно недостаточно для помещения гриба в тот или иной род.

Критически обрабатывая хищные грибы из группы *Hyalodidymae*, Сопрунов считал нужным перевести несколько видов, помещенных Дрекслером и Даддингтоном в род *Arthrobotrys*, в род *Trichothecium*. Таковы *A. cladodes* D. r., *A. musiformis* D. r., *A. robusta* Dudd.

Мотивировкой для помещения *A. cladodes* (рис. 6) в род *Arthrobotrys* служило, по мнению Дрекслера (1937, стр. 459), большая близость гриба к *A. superba*, чем к *T. roseum*. Несколько ниже Дрекслер указывает, что этот гриб следовало бы отнести к роду *Serphalothecium Corda*.

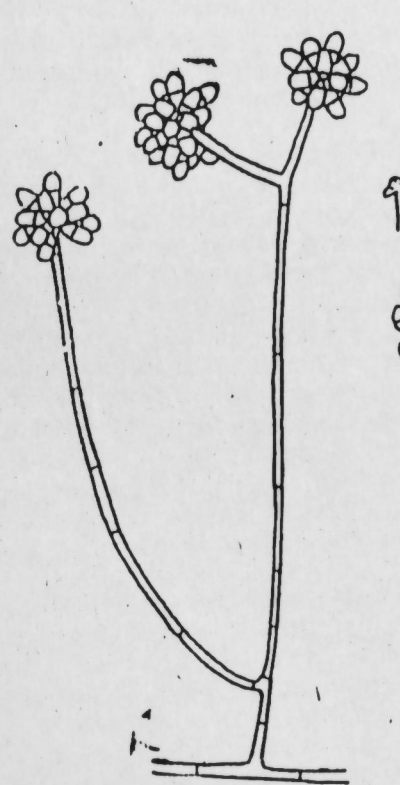


Рис. 6
A. cladodes D. r.

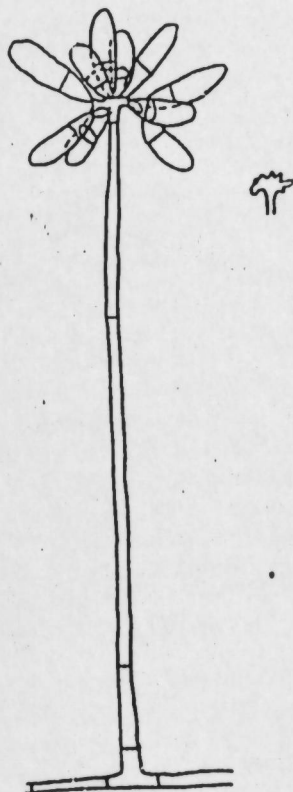


Рис. 7
A. musiformis D. r.

Как видно, главной причиной, побудившей Дрекслера поместить *A. cladodes* в род *Arthrobotrys*, является отсутствие общности с *T. roseum*.

Наличие расширений, усеянных шипами на дистальном конце конидиеносца, дает полное основание считать, что Дрекслер был вполне прав, поместив *A. cladodes* в род *Arthrobotrys*.

Другой вид *Arthrobotrys* Дрекслера, переведенный Сопруновым в *Trichothecium* — *A. musiformis* (рис. 7), также имеет одну терминальную гроздь на дистальном конце конидиеносца, где конидии прикреплены одиночно к имеющимся на расширении конидиеносца шипам (Drechsler, 1937, стр. 477).

Наличие ясно выраженных стеригм на расширенной вершине конидиеносца дало основание Дрекслеру поместить данный вид в род

Arthrobotrys. Сопрунов не учел эту особенность *A. musiformis* и основанием для перевода его в род *Trichothecium* считал наличие одной терминальной грозди конидий на конидиеносце.

При определении *A. robusta* (рис. 8) Даддингтон пишет: "Ввиду наличия двухклеточных гиалиновых конидий и их расположения в головке, этот вид лучше поместить в род *Arthrobotrys*" (1951, стр. 599).

Такой подход к определению родовой принадлежности грибов не совсем подходящий, тем более, что два других вида грибов, помещенные Даддингтоном в род *Trichothecium*, имеют такие же признаки. Несмотря на то, что мотивировка для помещений *A. robusta* в род *Arthrobotrys* не совсем веская, тем не менее родовая принадлежность данного гриба определена Даддингтоном совершенно правильно.

Доказательством тому является наличие стеригм на дистальном конце конидиеносца, к которым одиночно прикреплены конидии.

Из приведенного материала вытекает, что главной ошибкой исследователей, описавших новые виды хищных грибов *Trichothecium*, является недооценка основного признака рода—развития своеобразной конидиальной цепочки,—в то время как у *Arthrobotrys* конидии всегда возникают одиночно на более или менее развитых стеригмах и в конце концов оказываются собранными в головке.

Анализируя литературные сведения о хищных грибах *Trichothecium* в свете нового подхода к определению родовых особенностей *Trichothecium* и *Arthrobotrys* считаем необходимым внести следующие уточнения положения в ряде видов:

Arthrobotrys cladodes Drechsler. Mycologia, 29, 4, (459) 1937.
Syn: *Trichothecium cladodes* (Dr.) Sopr., Хищн. гр.—гифом. (85, 88) 1958.

Arthrobotrys cladodes var. *macroides* Dr. Mycologia, 36, (144) 1944.
Syn: *Trichothecium cladodes* var. *macroides* (Dr.) Sopr. Хищн. гр.—гифом., (85, 88) 1958.

Arthrobotrys musiformis Dr. Mycologia, 29, 4, (477) 1937.
Syn: *Trichothecium musiformis* (Dr.) Sopr., Хищн. гр.—гифом., (85, 88) 1958.

Arthrobotrys robusta Dudd. Trans. Brit. Mys. Soc., 34, 4, (598) 1951.
Syn: *Trichothecium robusta* (Dudd.) Sopr. Хищн. гр.—гифом., (85, 88) 1958.

Dactylella polybrochum (Dr.)
Syn: *Trichothecium polybrochum* Dr. Mycologia, 29, 4, (535) 1937.

Arthrobotrys flagrans (Dudd.)
Syn: *Trichothecium flagrans* Dudd. Trans. Brit. Mys. Soc. 32, 3—4, (284) 1949.

Arthrobotrys cystosporium (Dudd.)
Syn: *Trichothecium cystosporium* Dudd. Trans. Brit. Mys. Soc., 34, 4, (600) 1951.

Arthrobotrys globosporum (Sopr.)
Syn: *Didymozoopaga globospora* Sopr. Микробиол., 20, 6, (495) 1951.
Trichothecium globosporum Sopr. Хищн. гр.—гифом., (117) 1958.
Arthrobotrys globosporum var. *microsporum* (Sopr.)
Syn: *Didymozoopaga globospora* var. *microspora* Sopr. Микро-

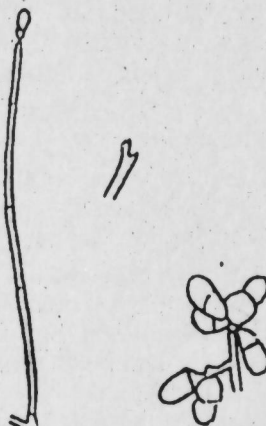


Рис. 8
A. robusta Dudd.

нидии всегда возникают одиночно на более или менее развитых стеригмах и в конце концов оказываются собранными в головке.

Анализируя литературные сведения о хищных грибах *Trichothecium* в свете нового подхода к определению родовых особенностей *Trichothecium* и *Arthrobotrys* считаем необходимым внести следующие уточнения положения в ряде видов:

Arthrobotrys cladodes Drechsler. Mycologia, 29, 4, (459) 1937.
Syn: *Trichothecium cladodes* (Dr.) Sopr., Хищн. гр.—гифом. (85, 88) 1958.

Arthrobotrys cladodes var. *macroides* Dr. Mycologia, 36, (144) 1944.
Syn: *Trichothecium cladodes* var. *macroides* (Dr.) Sopr. Хищн. гр.—гифом., (85, 88) 1958.

Arthrobotrys musiformis Dr. Mycologia, 29, 4, (477) 1937.
Syn: *Trichothecium musiformis* (Dr.) Sopr., Хищн. гр.—гифом., (85, 88) 1958.

Arthrobotrys robusta Dudd. Trans. Brit. Mys. Soc., 34, 4, (598) 1951.
Syn: *Trichothecium robusta* (Dudd.) Sopr. Хищн. гр.—гифом., (85, 88) 1958.

Dactylella polybrochum (Dr.)
Syn: *Trichothecium polybrochum* Dr. Mycologia, 29, 4, (535) 1937.

Arthrobotrys flagrans (Dudd.)
Syn: *Trichothecium flagrans* Dudd. Trans. Brit. Mys. Soc. 32, 3—4, (284) 1949.

Arthrobotrys cystosporium (Dudd.)
Syn: *Trichothecium cystosporium* Dudd. Trans. Brit. Mys. Soc., 34, 4, (600) 1951.

Arthrobotrys globosporum (Sopr.)
Syn: *Didymozoopaga globospora* Sopr. Микробиол., 20, 6, (495) 1951.
Trichothecium globosporum Sopr. Хищн. гр.—гифом., (117) 1958.
Arthrobotrys globosporum var. *microsporum* (Sopr.)
Syn: *Didymozoopaga globospora* var. *microspora* Sopr. Микро-

биол., 20, 6, (496) 1951; *Trichothecium globosporum* var. *microsporum* Sopr., Хищн. гр.—гифом., (120) 1958.

Arthrobotrys globosporum var. *roseum* (Sopr.).

Syn: *Didymozoopaga globospora* var. *rosea* Sopr.. Микробиол., 20, 6, (496) 1951; *Trichothecium globosporum* var. *roseum* Sopr., Хищн. гр.—гифом., (122) 1958.

Arthrobotrys pravicovi (Sopr.)

Syn: *Didymozoopaga pravicovia* Sopr., Микробиол. 20, 6, (496) 1951; *Trichothecium pravicovi* Sopr., Хищн. гр.—гифом., (115) 1958.

ЛИТЕРАТУРА

- Кондакова Е. Хищные грибы в подмосковье. Докл. ВАСХНИЛ, № 3, 1958.
- Расульев У. К флоре хищных грибов Ленинградской области. Сб. работ аспирантов отд. биол. наук АН Узб. ССР. Ташкент, 1958. 3. Сопрунов Ф., Галиуллина З. Хищные гифомицеты из почв Туркменистана. Микробиология, 20, № 6, 1951. 4. Сопрунов Ф. Хищные грибы-гифомицеты и их применение в борьбе с патогенными нематодами. Ашхабад, 1958. 5. Corda A. Pracht—Flora europaea Schimmel—bildung, 1839. 6. Corda A. Anleitung zum studium der Mycologie, 1842, Prag. 7. Drechsler C. Some hyphomycetes that prey on free living tericolous nematodes. Mycologia, 29, № 4, 1937. 8. Drechsler C. Three hyphomycetes that capture nematodes in adhesive networks. Mycologia, 36, № 2, 1944. 9. Duddington C. A new predacious species of *Trichothecium*. Trans. Brit. Mycol. Soc. 32, № 3—4, 1949. 10. Duddington C. Two new predacious hyphomycetes. Trans. Brit. Mycol. Soc. 34, № 3, 1951. 11. Link J. Observations in ordines plantarum naturelles. Magazin Gesell. Nat. 1809, Berlin. 12. Saccardo. Sylloge Fungorum. IV, 1886.

Институт почвоведения
и агрохимии

Поступило 10. VII 1963

Н. Э. Меңдијева

Trichothecium чинснин жыртычы нөвләри һагында тәнгиди ичмал

ХУЛАСӘ

Һазырда әдәбијатда *Trichothecium* чинснән 5 нөв жыртычы көбәләк мәлүмдүр. Онлардан 1 нөв Америкада, 2 нөв Инкилтәрәдә вә 2 нөв Совет Иттифагында тапылышыдыр.

Жыртычы көбәләкләрә һәэр едилиш әдәбијатла таныш олдугда айры-айры алимләrin jени тапылыш нөвләрини башын чинсә мәнсуб олмасы мәсәләсінә мүхтәлиф нәгтиji-нәзәрдән җанашыглары аждына шыр. Бу мүбәнисәли мәсәләни һәлл етмәк мәгсәдилә *Trichothecium* чинснин харakterик нұмајәндеси олан *T. roseum* Link. үзәринде кешниш тәдгигат апарараг, онун *Arthrobotrys* чинснән асанлыгы айрылмасыны тә'мин едән харakterик нишанәсими ашкар етмишик. Бу *Trichothecium* вә *Arthrobotrys* чинсләринде конидиләрни инициафетмә динамикасыны бир-бириндән хејли фәргли олмасындан ибәрәтдир. Мәгаләдә *Trichothecium* чинснин конидиләрнин инициафетмә динамикасына әсасланараг бу чинснин жыртычы нөвләринә ашағыдақы тәнгиди тәһилл верилмишdir:

Америкалы алим Дрекслер тәрәфиндән гејд едилиш *T. polybrochum* көбәләжи морфологи чәһәтдән *Dactylella* чинснән жаҳын олдуғундан бу көбәләжин һәмни чинсә дахил едилиш мәси тәклиф олуңур. Инкилис алими Даддингтонун тапдығы *T. flagrans* вә *T. cystosporium* вә еләчә дә совет алими Сопруновун jени нөв *T. globosporum*, *T. pravicovi* көбәләкләри тамамилә *Arthrobotrys* чинснән жаҳын олдуғундан оиласын *Arthrobotrys* чинснә көчүрүлмәси дүзкүн жаҳын һесаб олуңур.

Беләликлә, бу вахта гәдәр мүхтәлиф алимләр тәрәфиндән тапылыш жени нөв жыртычы көбәләкләр әслиндә башга көбәләк чинсләрни нұмајәндәләри олдуғундан дүзкүн олмајараг *Trichothecium* чинснә дахил едилишdir.

АГРОХИМИЯ

Н. А. КУЛИЕВА

**ВЛИЯНИЕ НЕФТИНОГО РОСТОВОГО ВЕЩЕСТВА (НРВ)
НА ОПАДЕНИЕ ПЛОДОВ МАСЛИНЫ**

(Представлен академиком АН Азербайджанской ССР Д. М. Гусейновым)

Известно, что урожайность маслины—ценнейшего субтропического растения, культивируемого в Азербайджане в промышленных масштабах,—сильно колеблется в зависимости от внешних условий. В результате недостатка влаги и питательных веществ у маслины образуется большое количество цветков с недоразвитыми пестиками, не способными оплодотворяться и завязывать плоды. Число цветков с недоразвитыми пестиками у некоторых сортов маслины в отдельные годы составляет 90 и более процентов (Н. К. Аренд, 1934; Н. Ф. Соколова, 1939; И. А. Жигаревич, 1949; 1955; 1961 г.). Кроме того, в процессе формирования урожая у маслины опадает от 60 до 90% крупной и мелкой завязей, которые не получают достаточного питания для своего развития.

Для выполнения решений XXII съезда партии и мартовскогоplenума ЦК КПСС (1962 г.) в части создания изобилия продуктов питания и сырья для легкой промышленности необходимо использовать все резервы повышения урожайности сельскохозяйственных культур, в том числе и химические.

Среди химических веществ, стимулирующих рост и увеличивающих урожай растений, выявленных наукой за последние годы, особого внимания заслуживают натриевые соли нафтеновых кислот, или, как их называют, нефтяное ростовое вещество (НРВ), близкое к таким известным стимуляторам роста, как гетроауксин, гибберелловая кислота, и т. д. Этот новый вид стимулятора был предложен и разработан профессором Д. М. Гусейновым в 1950 г.

Многочисленными исследованиями, проведенными в Азербайджане и в других республиках, установлено, что применение нефтяного ростового вещества в отдельности и в смеси с минеральными удобрениями значительно увеличивает урожайность многих сельскохозяйственных растений, например, кукурузы и овощей (Г. И. Аболина, 1961; М. М. Алиев, 1961—1962; Атауллаев, 1961; Э. Г. Гринфельд, 1961; А. Б. Глуховский, А. Н. Коржина, Ю. М. Кобелев, 1961 и др.), винограда (В. Д. Корнейчук, Е. П. Сичкарь, 1961; А. Арутюнян, В. Сан-

турян, 1961—1962 и др.), сахарной свеклы, пшеницы, хлопчатника (К. Нурмагамбетов, 1961—1962 и др.). НРВ влияет также на рост, развитие, опадение завязи и плодоношение некоторых древесных пород (О. Г. Джадарли, 1961; Г. Г. Сардарова, З. А. Алиева, 1960—1962, и др.)¹.



Рис. 1
Соотношение числа цветков и количества созревших плодов у маслины европейской.
1 — количество цветков; 2 — количество созревших плодов на деревьях, опрынутых НРВ; 3 — количество созревших плодов на контролльных деревьях (в % от числа цветков).

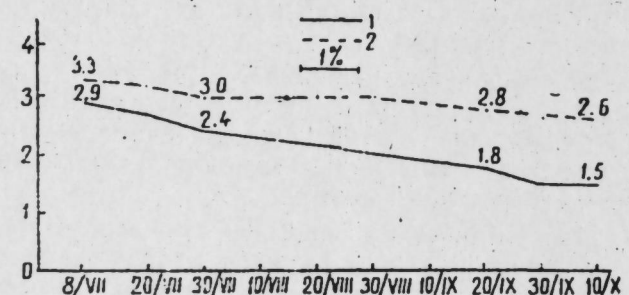


Рис. 2
Динамика опадения завязи и плодов маслины европейской на Апшероне.
1 — кривая опадения завязи после цветения на контролльных деревьях; 2 — кривая опадения завязи после цветения на деревьях, опрынутых 0,01%-ым раствором НРВ.

¹ См. материалы второго Всесоюзного совещания по применению нефтяного ростового вещества (НРВ) в сельском хозяйстве (тезисы докладов), Баку, 22—25 января 1963 г.

² Работа проводится под руководством д-ра биол. наук Г. Е. Капинос.

Полученные данные представлены графически на рис. 1 и 2.

Результаты опытов показали, что опрыскивание деревьев маслины европейской водным раствором НРВ в концентрации 0,01% в период бутонизации и массового опадения завязей является одним из эффективных приемов, способствующих удержанию значительного числа завязей и плодов на дереве, в результате чего урожайность возрастает в 1,7 раза. Если в контроле созревает в среднем 1,5% плодов от числа цветков, то на опрынутых ветвях — 2,6%.

Из данных нашего опыта ясно, что опрыскивание деревьев маслины НРВ в стадии бутонизации не может повлиять на уменьшение количества дефективных цветков — для этого необходимо более раннее воздействие в целях общего улучшения режима питания дерева. В связи с этим дальнейшие опыты, призванные подтвердить влияние НРВ на развитие цветков и плодов маслины при различных сроках и дозах воздействия, представляются очень перспективными.

ЛИТЕРАТУРА

- Аренд Н. К. 1929—1931. К вопросам биологии цветения и плодоношения маслины. Тр. Гос. Никитского бот. сада, т. XIV, вып. 2. Ялта.
- Сергеева К. А. 1952. Заложение и развитие цветочных почек маслины. "Агробиология", № 4. З. Соколова Н. Ф. 1939. Дефективность цветков у маслины. Докл. Всесоюзн. акад. с/х наук им. В. И. Ленина, вып. 8. 4. Жигаревич И. А. 1955. Культура маслины. Гос. изд. с/х литературы, М. 5. Жигаревич И. А. 1949. Размножение маслины. Баку.
6. Жигаревич И. А. 1961. Морфологический состав цветков у маслины и его влияние на урожай. "Субтропические культуры", № 3. 7. Инструкция по применению нефтяного ростового вещества (НРВ) и комплексного органо-минерального микроудобрения (МУ) в сельском хозяйстве. Баку, 1963. 8. Библиография по вопросу применения нефтяного ростового вещества (НРВ), комплексного органо-минерального микроудобрения (МУ) и других органических удобрений из отходов нефтяной промышленности в сельском хозяйстве и медицине. Баку, 1963. 9. Материалы второго Всесоюзного совещания по применению нефтяного ростового вещества в сельском хозяйстве (тезисы докладов). Баку, 22—25 января 1963 г.

Поступило 6.XII 1963

Институт почвоведения и агрохимии

Н. А. Гулијева

Нефт бој маддәсинин зејтуң ағачларында мејвәләрин төкүлмәсінә тә'сирі

ХУЛАСӘ

1963-чү илдә Азәрбајҹан ССР ЕА Нәбатат бағында нефт бој маддәсинин Авропа чешидли зејтуң ағачы мејвәләринин төкүлмәсінә тә'сирі өјрәнилмишdir. Бунун үчүн, нефт бој маддәсинин 0,01%-ли мәнелүлүндөн гөнчәләнмә вә мејвә әмәлә қәлмәси вахты чиләмә васитәси илә истифадә едилмишdir.

Нәтичәдә мұәjjән едилмишdir ки, нефт бој маддәси зејтуң ағачы мејвәләринин төкүлмәсін гарышыны алмаға мүсбәт тә'сир көстәрир.

Тәчрүбә биткиләрinden контрола нисбәтән 1,7 дәфә чох мәңсул көтүрүлмүшdir.

ГЛИПТИКА

И. БАБАЕВ

НЕКОТОРЫЕ ВОПРОСЫ ИЗУЧЕНИЯ ПАМЯТНИКОВ
ГЛИПТИКИ В АЗЕРБАЙДЖАНЕ¹

(Представлено академиком АН Азербайджанской ССР А. С. Сумбатзаде)

При археологических раскопках на территории Азербайджана наряду с другими памятниками было обнаружено определенное количество предметов глиптики, к числу которых относятся и печати, сделанные из разных материалов с разными изображениями на рабочей поверхности. Представленное сообщение посвящено изучению этих памятников древнего и раннего средневекового периода.

Большинство печатей было изготовлено из разных цветных камней. Имеются также печати, изготовленные из металла и стекла.

Изображения на всех печатях даны углубленной резьбой, в оттисках они получались выпуклыми.

Как известно, все печати имеют утилитарное значение. В древности они имели большое распространение и применялись чаще, чем в настоящее время. Помимо скрепления частных и официальных документов, они заменяли замки, закрепляли имущество за собственником, служили украшениями, а иногда и в виде оберегов.

Поэтому при изучении вопросов имущественного неравенства, образования классов и государства печати имеют первостепенное значение и являются прекрасным вещественным источником.

Одновременно они могли быть незаменимым источником при выяснении культурных и экономических связей одного народа с другим. Некоторые экземпляры печатей, имеющиеся в нашей коллекции, несомненно иностранного происхождения.

Древние печати интересны и с точки зрения искусствоведческих наук. Среди печатей имеются такие экземпляры, что вырезанные изображения на них смело можно назвать шедевром древнего искусства. Высокое художественное мастерство, воплощенное на этих миниатюрных камнях, и ныне изумляет взор человека.

Древние печати являются источником для изучения вопросов идеологии, в том числе вопросов, связанных с религией. Вера в чудо-

¹ Настоящее сообщение является кратким содержанием доклада, прочитанного автором на научной сессии аспирантов и соискателей АН Азербайджанской ССР в июне 1963 г.

действенную силу разнообразных камней сохранилась и до наших дней. Даже в настоящее время у нас встречаются еще пережитки ношения амулетов. По верованиям народа имеются камни, предохраняющие их носителей от сглаза и разнообразных болезней. В древние времена эти верования были гораздо сильнее.

Таким образом, печати охватывают широкий круг вопросов, в связи с чем изучение их приобретает большое значение. Однако, несмотря на это, печати, найденные в Азербайджане, до сих пор должны были изучены. В результате, кроме одной маленькой статьи и одного сообщения проф. Е. А. Пахомова², им не было посвящено ни одной исследовательской работы.

Исследование памятников глиптики Азербайджана в настоящее время является актуальным и имеет определенное научное значение.

Почти все печати, найденные при археологических раскопках Азербайджана, относятся к домусульманскому периоду. Но встречаются печати и более поздних времен. Этнографические данные показывают, что в Азербайджане частные печати не выходили из употребления до начала XX в.

На основании просмотра и первичного анализа материалов можно сделать следующие предварительные выводы общего характера.

Еще в VII—VI вв. до н. э. в Азербайджан привозились печати из культурных центров Востока, в основном из Ассирии. Это—цилиндрические печати с изображениями на поверхности, оттиски с которых получались путем наката. Они имеют продольное отверстие для продевания шнура (рис. 1). Из таких печатей у нас имеются пока два экземпляра. Одна из них с изображением льва под пальмой найдена случайно в Имишлиинском районе, другая, с религиозной сценой, куплена Музеем истории Азербайджана.



Рис. 1



Рис. 2

В дальнейшем потребность в печатях в Азербайджане стала увеличиваться, так как в памятниках Ахеменидского периода стали чаще попадаться печати. Среди этих печатей нам известна только одна каменная цилиндрическая печать, датируемая V в. до н. э. Остальные же печати этого периода—металлические перстни, изготовленные литейным способом (рис. 2). После литья на жуковине этих перстней вырезали изображения человека, быка, льва, рака, рыбы, птицы, фантастических существ и др. На основании археологических комплексов и форм перстней их скорее всего можно отнести к V—IV вв. до н. э., хотя некоторые возможно бытовали и в III в. до н. э.

В IV—III вв. в Азербайджане были в употреблении многогранные печати из синего стекла (рис. 3) и резные камни в форме скарабеонда. На основании тщательного анализа грузинских многогранных печатей крупный знаток памятников глиптики М. И. Максимова, уста-

² Е. А. Пахомов. Доисламские печати и резные камни Музея истории Азербайджана. МКА, т. 1, Баку, 1949, стр. 104—110. Его же. Об одном загадочном типе кавказских резных камней. Изв. АзФАН СССР, № 5, Баку, 1944; стр. 108—109.

новила, что стеклянные многогранники были изготовлены на Кавказе, точнее в Иберии, а оригиналы их привозились из Малой Азии.³

В Азербайджан привозились и античные геммы. Количество их особенно увеличилось после похода Помпея в середине I в. до н. э.⁴ С III в. н. э. приток римских резных камней почти прекращается. Почти все памятники глиптики, связанные с Римом, плоские или плоско-выпуклые резные камни и такие же стеклянные литехи, предназначенные для вставления в металлические оправы. На большинстве из них изображены боги античного пантеона: бог войны Арес—Марс, бог солнца Гелиос и др.

Особенно много найдено печатей, связанных с парфяно-сасанидским Ираном. Большинство из них имеют форму ложного перстня (рис. 4). А некоторые, плоские, вставлены в металлические перстневые оправы. На этих печатях изображены животные, человек, растения, жертвенник, небесные тела и др.

Наряду с привозными печатями в Азербайджане употреблялись печати местного производства. Факт существования печатей местного производства в Азербайджане подтверждается находками разновидных каменных заготовок для печатей и многие другие наблюдения.

Институт истории



Рис. 3



Рис. 4

Поступило 21. I 1964

И. Бабаев

Азәрбајчанда глиптика абиәләринин өјрәнилмәсинин бә'зи мәсәләләри

ХУЛАСӘ

Азәрбајчан әразисинде апарылан археологи газынтылар заманы башга археологи материалларла бирликдә мүәjjән гәдәр ер. әв. VII—бизим еранын VII әсрләrinә aid olan гәдим мәһүрләr әлдә едишлишидир. Ишләнмә сәтindә мұхтәлиф тәсвиrlәr hәkk olunan vә мұхтәлиф материаллардан (даш, метал, шүшә, кил) дүзәлдиләn чох кичик hәчмeli бу мәһүrләr глиптика абиәләri сырасына дахилдир.

Гәдимдә мәһүrләr рәсми vә шәxsi сәнәdlәri тәsdiг etmәkдәn башга, гыфыл әвәzinә dә istifadә olunmuşdur. Bундан әlavә, онлaryи бир чоху bәzәk vә мұхтәлиф хәstәliklәrdәn, o чүмләdәn kәzdej-mәdәn горујучы vasitә rolunu da ojnamышdyr.

Гәдим мәһүrләrin чох кичик olan ишләnмә sәtindә bә'zi hаллarda jүksәk сәnәtkarлыg mәhәratı ilә bitki, hejvan, insan, гәдимларда, әфсанәvi vүchudlar, kөj chisimlәri vә c. tәsvir olunur.

Азәрбајчанын мәһүrләrinдәn bir чоху гәдим Ассурия, Иран, Йунаистан, Рома vә b. өлкәlәrdәn kәtiрилmiшиdir.

Буна көrә dә гәдим мәһүrләr мүлки bәrabәrsizliji, синиflәrin vә dөвләtin mejdana kәlmәsinи, ticharәt vә mәdәni әlagәlәri, чәmij-

³ M. I. Maksimova. Стеклянные многогранные печати, найденные на территории Грузии. ИИЯИМК, вып. X, Тбилиси, 1941, стр. 91—92.

⁴ M. I. Maksimova. Геммы из некрополя Мцхеты—Самтавро (раскопки 1938/39 гг.). ВГМГ, XIV в., Тбилиси, 1950, стр. 225.

јетин мәдәни сәвијјәсини, естетик вә дини көрүшләри вә с. тарихи мәсәләләри өјрәнмәк үчүн гијмәтли мәнбәdir.

Илк тәдгигатлар көстәрмишdir ки, бунларын эксәријјәти ер. әв. VII әсрдән башлајараг, бизим еранын VII әсринә гәдәр олан бөյүк тарихи дөврү әһатә едир. Археологи газынтылар вә етнографик материаллар әсасында Азәрбајчанда шәхси мәһүрләrin XX әсрә кими өз әһәмијјәтини мүәjjән дәрәчәдә сахладығыны сөјләмәк мүмкүндүр.

Илк тәдгигатлар нәтичәсindә бир груп мәһүрләrin Азәрбајчанын өзүндә назырландыры мүәjjән едилемишdir.

Ш. ГУЛИЈЕВ, Џ. РУСТАМОВ, Т. БУНЈАДОВ

АЗӘРБАЙЧАН ГАРА КОТАНЫ

(Азәрбајчан ССР ЕА академики Ә. Ә. Элизадә тәгдис итмишишdir)

Јерин шумланмасында ишләнән аләтләр ичәрисиндә ағыр котанлар хүсуси әһәмијјәт кәсб едир. Бу аләт XIX әсрин соңу вә XX әсрин әvvәлләrinә гәдәр Азәрбајчанын әкинчиликлә мәшғул олан бир сырға рајонларында кениш јајымышдыр. Әкинчиләр белә тәкмилләшмиш аләт васитәси илә нисбәтән кениш саһени кејфијјәтлә шумламаг имканина малик олмушлар. Көркәмли тәбиэтшүнас һәсән бәј Зәрдаби ағыр котана јүксәк гијмәт верәрәк јазмышды: „Котан јахшы олдугча јери јахшы нарын едир. Ону ишләтмәјин зәһмәти аз вә јерин бәһрәси чох олур. Јахшы котан кәрәк шуму бир галынлыгда кәсиб, галхызыб, чевириб әзсин“!¹ Топланан етнографик материаллардаң аждын олур ки, ағыр котанла бир күндә јарым һектардан чох јери шумламаг мүмкүндүр. Лакин айры-айры зоналарда исә бу өлчү торпагын тәркибиндән асылы олараг аз вә ја чох олурду.

Ағыр котанын нә ваҳтдан мејдана чыхмасы тарихи чох аз өјрәнил-миш вә һәләлик гәти һәлл олунмамышдыр. Проф. Б. Н. Заходер јазыр ки, сәккиз бојун өкүз гошулан ағыр котан ҳәлифәт дөврүндә әкинчиликдә истифадә едилемишdir.² Бу гијмәтли фикрә әсасланараг, Загафгазијада белә котанларын ерамызын VIII—IX әсрләrinde шумламада ишләдилдијини сөјләмәк олар.

Бу јахынларда Шимали Гафгазда X—XI әсрләре аид гәдим Адијух шәһәри јеринде апарылан археологи газынтылар заманы котанын 45 см узунлуғында олан дәмир гылынчынын тапылмасы елми чәһәтдән чох гијмәтлидир. Т. М. Минајева бунун котанын габаг һиссәсинә бәркидиләрәк, јери кәсиб каваһын үчүн хүсуси „пај“ вермәси вәзифәсини көрдүйнү гејд едир.³ Мүәллиф сөзүнә давам едәрәк јазыр ки, чох еһтимал бу гылынчдан башга, котанын торпагы чевирән тахта һиссәси

¹ Һ. Б. Зәрдаби. Сечилмиш әсәрләри, Бакы, 1960, сәh. 170.

² Б. Н. Заходер. История Восточного средневековья. Курс лекции. МГУ, М., 1944, сәh. 71.

³ Т. М. Минајева. К истории земледелия на территории Ставрополя. Материалы по изучению ставропольского края, вып. 10. Ставрополь, 1960. сәh. 279.

вә тәкәрләри да олмушдур⁴. Бу факта әсасланараг, Загафгзијада белә аләтин даһа гәдим олдуғуну е'тираф етмәк лазымдыр. Күрчүстанда ағыр котанларын ерамызын XI—XII әсрләrinдә ишләдилдијини бир сыра материаллар сүбут едиr⁵. Азәрбајҹаның орта эср шәһәри Бејләганда апарылан археологи газынтылар заманы тапылмыш, XII әсрин соңу вә XIII әсрин әvvәлләринә аид едилән, нисбәтән енли-ағызлы каваһының ағыр котан үчүн гајрылдығыны еһтимал едирик. Бу аләтин узуинуғу 41 см, ағача кечирилән һиссәси 15 см, ағызының кәсик һиссәси исә 24 см-ә гәдәрdir⁶.

Азы минниллик тарихи олан ағыр котанларының форма вә гуруулуштарында тәбии-чөграғи шәрләйтлә вә башга амилләрлә әлагәдар оларға бир сырға фәргләнән чәһәтләр олмушшур. Лакин бунуңла Яанаши, онларда охшарлығ да иәзәрә чарпыр. Бу да ону көстәрир ки, ағыр котанлардан кичик бир әрази әһли дејил, бүтүн Загағазија халглары әсрләр бою истифадә етмишләр¹. Азәрбајҹан әкинчилүүнә дайр мөвчуд әдәбијатларда бу мәсәләјә дайр чох өтәри мә’лумат верилмишdir. Мәһәз буна көрә дә ваҳты илә Губа—Хачмаз зонасында кениш ишләдилән ағыр котан нағбында әтрафлы мә’лумат вермәк мәгсәдә уйғундур.

Бу әразидә фабрик котанларындан истифадә едилмәси нәтижесинде ағыр котанлар тәдричән арадан чыхышдырып. Лакин белә котанла узун мүддәт јер шумлајан јашлы шәхсләрин көмәји илә онун гурулушу вә истифадә едилмәси гајдасыны дәгиглиү илә бәрпа етмәк мүмкүн олмушшудур. Бу җәһәтдән Гусар рајонунун Бостанчы кәнд сакини 70 јашлы Паша Исмаїл оғлу Ахундовун häзырладыры ағыр котанын модели бөյүк әһәмијәтә маликдир. Моделин тәсвиринә кечмәздән әvvәл, ағыр котанын ады häggynäда бир нечә сөз демәк лазындыры.

Котаның ағаң һиссәләри дүзәлдилән заман одда үтүләрек гара рәнк алыр, она көрә дә она „гара котан“ ады верилмишdir. Онуң һиссәләринин чоху ағаңдан олдуғуна көрә, бә’зән „ағаң котан“, ағырлығына көрә исә „ағыр котан“ адландырышлар. Шұбhәсиз, котана верилән белә мұхтәлиф адларын hәр бириндә мүәжjән гаңунаујғунлуг вардыр. Лакин котаның мәзмунуны там әкс етдиридиини нәзәрә алараг, елми әдәбијатларда она ағыр вә ja гара котан ады верилмәси даһа дүзкүндүр. Лакин бу мәгаләдә онуң иккінчи адындан истифадә едилir. Гара котандан әсасән тахылчылыг, чәлтикчилик, бостанчылыг вә башга шум ишләриндә дә истифадә олунмушдур. Гара котан ашағыдақы һиссәләрдән ибарәтдиr:

Давамлы ағачдан (хүсусилә гара ағачдан) дүзәлдилән әјрибаз котанын ән мүһүм һиссәләрниңдәнди० (шәклә бах). Онуң узунлугу тәхминән 2—2,20 см, диаметри исә 12—15 см-ә گәдәрдир. Әјрибаза кечирилән гылыч қаваһыдан тәхминән 3—4 см габагда олур. Торпагы дөграјыб қаваһын үчүн „пай“ аյыран гылынчын узунлуғу 50—60 см, ени 4—5 см-дир. Әјрибазла әлагәли һиссәләрдән бири дә топалдыры⁸. Топалының, язған котанын отурачагының узунлуғу 1—1 м 20 см, диаметри 10—12 см олуб, дәндә ағачыдан назырланыр. Топалының қаваһын кечән „баш“ һиссәси бир گәдәр чәртилмиш олур, онун архасында тәхминән 10 см узунлуғунда аяг гојмаг үчүн одан һисса дабан

⁴ Т. М. Минеева. К истории земледелия на территории Ставрополя. Материалы по изучению ставропольской почвы, вып. 10. Ставрополь. 1960, с. 270.

⁵ Народи Каекае, т. II, М., 1962, сан. 239.

⁶ А. Л. Яковсон. Раскопки на городище Орекала в 1953—1955 гг. Труды Азерб. (Орекалдинский) археологической экспедиции, т. I. М.—Д. 1959, с. 102.

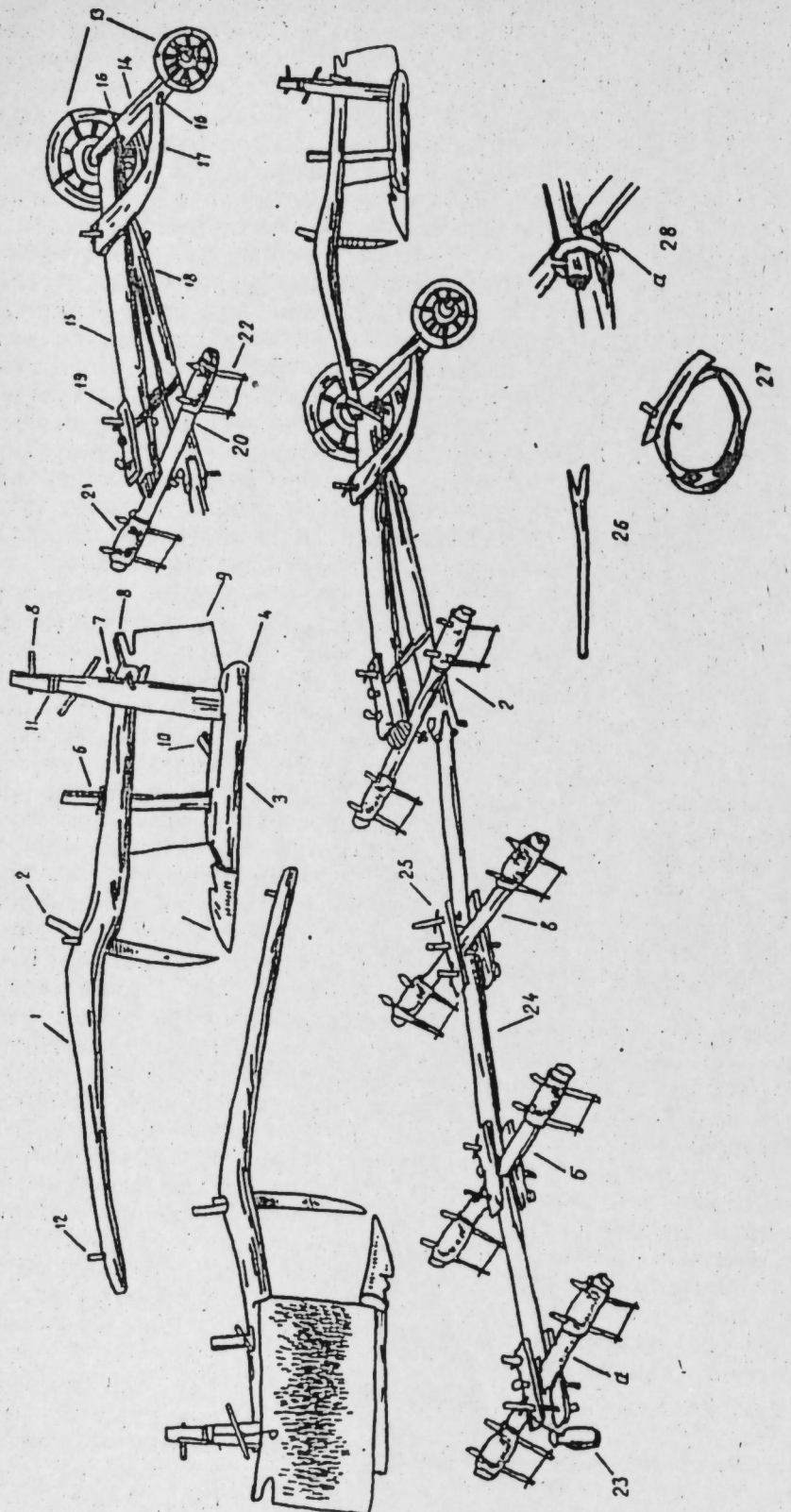
Г. Читая земледельческие системы и находки орудий Грузии. Вопросы этнографии Кавказа, Тбилиси, 1952, с. 100—101; Народы Кавказа, т. II, М., 1962, с. 565.

⁸ Топала Шүрекең өзбекшілік „біна“ деңгелі.

адланыр. Топалы вә әјрибазы бир-биринә мөһкәмләтмәк үчүн дараг адланан ағач һиссә олур. Оның һүндүрлүгү 70–80 см-э гәдәрdir. Дарагын бир учу топалы дешәрәк ораja, дикәр учу исә әјрибаза кечирилиб чүjlә бәркидилир. Топала бәркидилән ағач дәстәнин ортасына әјрибазын гуртараачағы кечирилир. Бу һиссәдә шуму дајаз вә дәрин көтүрмәк үчүн паралар (пазлар) вардыр. Алт пара вурулдугда әјрибаз ашағы әjилир вә шум дәрин көтүрүлүр. Устара вурулдугда исә әксинә, әјрибаз үжары галхыр вә шум дајаз олур. Дәстәнин узуилуғу тәхминән 90 см, диаметри исә 8–10 см-дир. Котанын тахтасынын узуилуғу 1 см, ени 50–60 см, галышлығы исә 4–5 см-э гәдәрdir. Тахта торпағы чевирир вә хырдалајыр. Кәсилиш торпағы асан галдырмаг үчүн тахтанын ортасы нисбәтән чөкәк олур. Тахтанын габаг һиссәси әјрибазла топала кәз едиlәрәк пәрчимләнir. Топалын тәхминән ортасында тахтаја „замын“ адланан ағач бәркидилир. Замынын узуилуғу 8–10 см, диаметри 3–4 см-дир. Оның вәзиfәси тахтаны топал вә әјрибаздан нисбәтән аралы вә hәм дә мөһкәм сахламагдыр. Тахтанын архадан, уст һиссәсінин гуртараачында сағ әл илә туymag үчүн дәстә дүзәлдилир. Тахта илә дәстәнин арасында мөһкәмлик яратмадан етру кәндир бурагачланыр. Шум заманы гыlyынч, тахта вә каваһыны тәмиизләмәк үчүн „начакесөz“ дән вә шәтәлдән истифадә едилir. Эјрибазла ох гајыш виситәси илә бир-биринә бағланыр.

Гара котан икитәкәрли олур. Тәкәрләрдән бири (хам түссәдәки) кичик „гыраг“ тәкәр, дикәри исә шум тәрәфдәки ири „ләкәр“ тәкәри адланыр. Һәр ики тәкәр шинсиз олур. Кичик тәкәрин диаметри 35—40 см, бөյүк тәкәриники исә, 50—55 см олур. Бу фәрг тәхминән шумун дәренинник өлчүсү илә уйғун кәлир. Јери кәлмишкән гејд етмәк лазымдыр ки, саһә илк дәфә шум едилән заман кичик тәкәр охдан чыхарлыр ки, шуму дәрин көтүрмәк мүмкүн олсун. Һәр ики үзә бир баш (нов) кедилдикдән соңра кичик тәкәр јенидән оxa кечирилир. Бу башланғыч шум „гарабас“ адланыр. Тәкәрләрә кечән ағач охун узунлуғу 1 м 80 см, диаметри 15—20 см олуб, мәһкәм вә давамлы ағачдан гајрылыр. Гара котанын оху илә диг кәлләринин бојундуруғуну бирләшdirән һиссәjә гыр деjилир. О, оха ләкәр тәкәринә жаҳын јердән кечирилир. Гырын узунлуғу 2 м 20 см-дир. Онуң оха кечирилән һиссәсиин алтында гајыш кечирмәк үчүн күч-топала бәркидилir. Шум заманы каваһын үчүн пајын (торпағын) енли вә дар верилмәси гыр васитәси илә таразлашдырылыр. Бу мәгсәлә дә гырын оха кечән һиссәсиин сағ вә сол тәрәфинә хүсуси паралар (пазлар) вурулур. Јери чох көтүрдүкдә паранын солдан, аз көтүрдүкдә исә сағдан вурулmasы тәләб олунур. Бә'зән гыр васитәси илә таразлашма алынмадыгда ону колбасанла да әвәз етмәк мүмкүндүр. Колбасанын бир учу гыра кечириләрек чүj васитәси илә бәркидилir, дикәр учу исә садәчә олараг оха кечирилир вә лазым кәлдикдә ону сәрбест алараг ирәли вә кериjә чәкмәк мүмкүн олур. Торпағы енли көтүрдүкдә ону бошалтмаг, дар көтүрдүкдә исә әксинә, даралдыб хүсуси пара (пазла) оха бәркитмәк лазымдыр. Торпағ յумшаг олдуругда шум үчүн саһә енли, бәрк олдуругда исә дар көтүрүлүр. Колбасан һәм дә котанын габағына кәлан чөр-чөп вә кол-косу басыб ашағы јатырдыр. Мәhз буна көра дә она колбасан ады верилмишdir.

Гырын алтында „әждаһа“ адланан һиссәсіннөң учу түр де көрсөткіштің
саналған хұсуси ағачла бәркидилір. Дикәр учу бојундуруғлара әлаве
олунаң чатала бәркидилір. Чатал хышларда олар гајыш вә зәңчири
әвәз едір. Көрүндүй кими, „әждаһа“ күчү тәкчә діб кәлләрә дејіл,
һәм дә габагқы бојунлара еїни дәрәчәдә пајлајыр. Гара котана адаттан
4 боюн кәл вә ja өкүз гошуулур. Лакин јерин гурулушу вә торпағын



1. Эрібас; 2. Гылынч; 3. Топал (бинэ); 4. Дабан; 5. Каваңы; 6. Дараг; 7. Паа; 8. Дастан; 9. Тахта; 10. Замын; 11. Кандыр; 12. Чүй; 13. Тәкар; 14. Ох; 15. Гыр; 16. Пара; 17. Колбасан; 18. Эждана; 19. Отурачаг тахтасы; 20. Бојдуруг; 21. Ястыг; 22. Самы; 23. Топуз; 24. Чаталар; 25. Отурачаг ва бирләшdirичи тахта (а—ұчталар, б—миниқклэр, в—чарков, г—күч топалы); 26. нача-кеев; 27. Гаяш; 28. Гаяш кечирилген нисея (а—күч топалы).

хүсусијјети и лә әлагәдар олараг она бә'зән 8—12 бојун да гошуулурду Котана гошулан биринчи бојун діб, иккінчи бојун чәрков, үчүнчү бојун миник, сонунчу исә уч адландырылып. Уча әлавә олараг ағачдан дүзелдилмиш көтүк бағланып. Учдақы көтүк (топбуз) бојунлара ағырлыг салмагла бәрабәр, һәм дә котандакы дәмир һиссәләри чыхартмаг вә тахмагда, параларын вурулмасында да истифадә едилір. Адәтән котаны идарә етмәк үчүн 2 чубугчу (нодахчы), бир нәфәр исә мәчкәлчи (рәнчбәр) иштирак едір. Бә'зән онларын сајы котана гошулан кәл вә өкүзләрин чүтүндән дә асылы олур.

Гара котанын ишләдилмәси илә әлагәдар олараг, Азәрбајҹан әкинилијинде мөвчуд олмуш гарышылыглы јардымын бә'зи формалары барәсіндә дә гыса мә'лумат вермек лазымдыр.

Азәрбајҹан кәндилләринин котан әтрафында бирләшмәләри бир сыра тәдгигат әсәрләrinde дә өз әксини тапмышдыр.⁹

Бу бирләшмәләр гошулан һеванларын сајына, котанын ажы-ажы һиссәләринә вә башга сәбәбләрә көрә Ѝарадылыр. Һеч бир иш аләти олмајан кәндилләр дә бу бирләшмәләрдә иштирак едә билирдиләр. Онлар чубугчу, мәчкәлчи вә саир кими ишләјирдиләр. Гара котан әтрафында бирләшмәләр Азәрбајҹан раionларында "авача", "һәмкәлә"¹⁰, "мәдкәм", "шәрік", "ортаглыг" адландырылымышдыр. Шумланан саһә кәндлинин бирләшмәјә гојдуғу вәсантлә мүәјјен едилірди. Бирләшмәдә иштирак едән кәндилләр сәрбәст олмагла истәдикләри вахт бу бирләшмәдән чыха билирдиләр. Котан әтрафында бирләшән кәндилләр я өз әкин саһәләрини шумламагла бирләшмәни баша чатдырып вә я да ону мәһсүл бөлкүсүнә гәдәр давам етдирирдиләр.

Халгымызын әсрләр боју јүксек әкинчилек мәденијјетине малик олмасыны сүбут едән бу гијметли шүм аләтинин өјрәнилмәси тәкчә етнографик нөгтеји-нәзәрдән дејил, һәм дә Азәрбајҹанда кәнд тәсәрүфатынын инкишаф тарихинин тәдгигинде хүсуси әһәмијјет кәсб едир.

Тарих Институту

Алымышдыр 7. II 1964

Ш. Гулиев, Я. Рустамов, Т. Бунятов

Азербайджанский тяжелый плуг—гара кётан

РЕЗЮМЕ

Статья посвящена мало исследованному вопросу о тяжелом плуге, применявшемся в земледелии Азербайджана, начиная примерно с VIII в. и сохранившемся до начала XX в.

В статье изложены итоги изучения гара кётана, восстановленного по модели типа, распространенного в Куба-Хачмасской зоне; дается характеристика и определяется назначение различных частей его.

Плуг состоит из следующих основных частей: эјрибаз (верхний брус), гылынч (резец), топал-бинэ (полоз), каваңы (лемех), дараг

⁹ М. Э. Исаев. XX әсрии әввәлләринде Азәрбајҹаның кәнд тәсәрүфаты. Бакы, 1960, сән. 36; К. Т. Каракашлы. О пережитках древнего института взаимопомощи в Азербайджане. Изв. АН Азерб. ССР, 1958, № 2, сән. 47—50.

¹⁰ Г. Т. Гарагашлы. Көстәрлән эсәри. сән. 47.

МУНДЭРИЧАТ

Ријазијјат

3
9
15

А. М. Эһмәдова. Еңсиз вә дар потенциал чөкүклү мәсәләләрдә мәхсуси гијмәт вә мәхсуси функцијаларын асимптотик тәфриги

Р. И. Элиханова. Бир квазипараболик тәнлик учын гојулмуш Коши мәсәләси нағтында

И. Ш. Ибрахимхәлилов. Пајлама параметрләрин гијмәтләrinни дәгигдәштирмәјин бир үсулу

Кимја

И. Л. Бағбанилы, К. Н. Нәчәфова. Kobalтын Рейнеке дузу васитәсилә 21
іачми методла тә'жини

Үзви кимја

С. И. Садых-задә, Р. Султанов, Ф. А. Ысәнова, А. П. Боковој, О. В. Литвиноva, В. А. Пономаренко. Епоксамино-органичесләрләrin синтези

И. М. Эһмәдов, М. Э. Мәммәдов. Силиконидридләrin хлорлубитенниклик карбонидрокенләрә бирләшмәсі

Нефт вә газ јатагларынын ишләнмәсі

Ф. А. Элизадә, Э. Ф. Гасымов. Фонтан гүйулары режиминин автоматик тәнзим едилмәсина даир

Нефт қеолокијасы

Ж. М. Бәширов. Гум адасы X һоризонт сулары кимјәви тәркибләrinни дәјишилмәсинан ба'зи мәсәләләри

Кеолокија

А. Г. Құл. Абшерон јарымадасы, Абшерон мәртәбәси қылләrinни физики вә механики хассәләринин дәјишилмәсина бә'зи хүсусијәтләр нағтында

Тектоника

Р. А. Аллаһвердиев. Шејтануд, гырышыглығынын тектоникасына даир (Мәркәзи Гобустан)

Петрография

Р. Г. Ысәнова. Шаңдағ силсиләсиин шимал-шәрг јамачларындакы метаморфлашмыш ултраәсаси вә әсаси сүхурлар нағтында (Кичик Гафгаз)

Биокимја

З. Б. Ағаларова. Мұхтәлиф минерал гидаланма шәрәнтиндә јашыл чај жарлагынын әсас қејиijjät қөстәричиләри

Һидробиологија

Ә. Г. Гасымов. Құр чајында тәзә нөв тендипедид сүрфәси (*Cryptochiroponites pankrukovae* Kasimov sp. n.)

Микробиологија

Н. Э. Мендијева. *Trichotneum* чинсеннин јыртычы нөвләри нағтында тәнгиди ичмал

Агрокимја

Н. А. Гулијева. Нефт бој маддәсисини зејтуи ағачларында мејвәләрин іюкулмәсина тә'сирі

Глипттика

И. Бабаев. Азәрбајчанды глиптика абидәләrinни өјрәнилмәсисини ба'зи мәсәләләри

Етнографија

Ш. Гулијев, Ж. Рустамов, Т. Бүйядов. Азәрбајчан гара котаны

(стойка), дәстә (стойка-рукоятка), тахтә (отвальная доска), замын (упор отвальной доски), колбасан (правило), әждаһа (дышло), гајыш (ремень), ох (ось), гыр (соединительный брус), тәкәр (колеса), чатал (смычки), топпуз (біло).

Приводятся различные названия гара кётана.

Дается описание разных по происхождению и значению социально-производственных объединений при использовании этого плуга (һәмкәлә, авача, ортаглыг, шәриклик, мәдкәм).

СОДЕРЖАНИЕ

Математика

А. М. Ахмедова. Асимптотическое разложение собственных функций и собственных значений в задачах с узкой, глубокой потенциальной ямой	3
Р. И. Алиханова. О задаче Коши для одного квазипараболического уравнения	9
И. Ш. Ибрагимхалилов. Об одном способе улучшения оценки параметров	15

Химия

И. Г. Багбайлы, К. Н. Наджафова. Объемно-йодатометрический метод определения кобальта с применением соли Рейнеке	21
----------------------------------------------------------------------------------------------------------------------------	----

Органическая химия.

С. И. Садыхзаде, Р. Султанов, Ф. А. Гасанова, А. П. Боковой, О. В. Литвинова, В. А. Пономаренко. Синтез эпоксиамино-органсилианов	25
---------------------------------------------------------------------------------------------------------------------------------------------	----

И. М. Ахмедов, М. А. Мамедова. Присоединение гидридов кремния к хлорсодержащим бициклическим углеводородам	29
----------------------------------------------------------------------------------------------------------------------	----

Разработка нефтяных и газовых месторождений

Ф. А. Ализаде, А. Ф. Касимов. О необходимой зоне нечувствительности системы автоматического регулирования режима работы фонтаний скважин	33
----------------------------------------------------------------------------------------------------------------------------------------------------	----

Геология нефти

Я. М. Баширов. Некоторые вопросы изменения химического состава пластовых вод X горизонта Песчаный-море	39
------------------------------------------------------------------------------------------------------------------	----

Геология

А. К. Гюль. Некоторые особенности изменений физико-механических свойств глин ашхеронского яруса Ашхеронского п-ва	45
-----------------------------------------------------------------------------------------------------------------------------	----

Тектоника

Р. А. Аллахвердиев. К тектонике Шейтанудской складки (центральный Кызылстан)	49
----------------------------------------------------------------------------------------	----

Петрография

Р. К. Гасанов. О метаморфизованных ультраосновных и основных породах вдоль северо-восточного склона Шахдагского хребта (Малый Кавказ)	53
-------------------------------------------------------------------------------------------------------------------------------------------------	----

Биохимия

З. Б. Агаларова. Основные качественные показатели зеленого чайного листа при различных условиях минерального питания	59
--------------------------------------------------------------------------------------------------------------------------------	----

Гидробиология

А. Г. Касимов. Новый вид личинки тендинпедид (<i>Cryptochironomus rankiniae</i> Kasimov sp. n.) из р. Куры	63
-----------------------------------------------------------------------------------------------------------------------	----

Микробиология

Н. А. Мехтиева. Критический обзор хищных видов <i>Trichotneclum</i>	65
-------------------------------------------------------------------------------	----

Агрономия

Н. А. Кулниева. Влияние нефтяного ростового вещества (НРВ) на опадение плодов маслины	73
-------------------------------------------------------------------------------------------------	----

Глипттика

И. Бабаев. Некоторые вопросы изучения памятников глиптики в Азербайджане	77
------------------------------------------------------------------------------------	----

Этнография

Ш. Гулиев, Я. Рустамов, Т. Буяитов. Азербайджанский тяжелый плуг — гара кётан	81
-----------------------------------------------------------------------------------------	----

Чапа имзаланмыш 29/VII 1964-чу ил. Кағыз форматы 70×108^{1/16}. Кағыз вәрәги 2,75. Чап вәрәги 7,54. Һес-кәширијат вәрәги 6,12. ФГ 06778. Сифариш 274. Тиражы 900. Гијматы 40 гәп.

Азәрбајҹан ССР Назирләр Совети Дөвләт Мәтбуат Комитетинин «Елм» мәтбәәси.
Бакы, Фәһілә проспекти, 96.

МҮӘЛЛИФЛӘР ҮЧҮН ГАЙДАЛАР

1. «Азәрбајҹан ССР Елмләр Академијасынын Мә’рүзәләри»ндә баша чатдырылыш, лакин һәлә башга јердә чап етдирилмәмиш олан әмәли вә нәзәри әһәмијәтә малик елми тәдгигатларын иәтичәләрина иң гыса мә’лumatлар дәрч олунур.

Механику сурәтдә бир иечә кичик мә’лумата белүүмүш ири мәгаләләр, ичәрисинде иеч бир јени faktik материал олмајан вә мүбәнисә характеристи дашијан мәгаләләр, мүэjjән иәтичәси вә үмүмиләшдиричи јекун олмајан јарымчыг тәчрүбәләрни тәсвири олундуру мәгаләләр, тәсвири, җаҳуд ичмал характеристи дашијан, гејри-принципиал әсөрләр, сырф методик мәгаләләр (әкәр бу мәгаләләрдә тәклиф олунан метод тамамилә јени дејилсә), елм үчүн сон дәрәчә мараглы олан тапынтыларын тәсвири истина едиilmәклә, биткиләрин вә һөввалларын систематикасына даир мәгаләләр «Мә’рүзәләр»да дәрч олунумур.

«Мә’рүзәләр»да дәрч олунмуш мәгаләләр сонрадан даһа кениш шәкилдә башга иашрләрда чап едила биләр.

2. «Мә’рүзәләр»да чап олунмаг үчүн верилән мәгаләләр ѡалынын һәмии ихтисас үзәрәкемдикләрдән тәгдим едиildикдән сонра журналын Редаксија һеј’әтиндә музакирәjә ғојулур.

Азәрбајҹан ССР Елмләр Академијасы мүхбири үзвәләринин мәгаләләри һәмии ихтисас үзәрәкемдикләрдән тәгдиматы олмадан гәбул едилир.

Журналын Редаксија һеј’әти академикләрдән ҳаһиши едир ки, мәгалә тәгдим едәркән һәмии мәгаләнин мүәллифдән алымна тарихини, набәлә жунаилда мәгаләнин јерләшдирilmәли олдуру елми белмәнин адьны мүтләг көстәрсиләр.

3. «Мә’рүзәләр»да һәр мүәллифи илдә 3-дән артыг мәгаләси дәрч олунумур; Азәрбајҹан ССР ЕА академикләринин илдә 8 мәгалә, мүхбири үзвәләрин исә илдә 4 мәгалә чап етдиirmәк һүгүгу вардый.

4. «Мә’рүзәләр»да чап олунан мәгаләнин һәчми, шәкилләр дә дахил олмагла, бир мүәллиф вәрәгинин дәрдә бириндән, ј'ни макинәдә јазылмыш 6—7 сәнифдән (10.000 чап ишаренидән) артыг олмамалыдый.

5. Азәрбајҹан дилиндә јазылмыш мәгаләнин сонунда рус дилиндә, русча јазылмыш мәгаләнин сонунда исә Азәрбајҹан дилиндә гыса хүласа верилмәлидир.

6. Мәгаләнин сонунда һәмии тәдгигат ишинин апарылмыш олдуру елми мүәссисәнин адьы вә мүәллифин телефон иөмрәси көстәрilmәлидир.

7. Елми мүәссисәләрдә апарылмыш тәдгигат ишиләринин иәтичәләрини чап етдиirmәк үчүн һәмии мүәссисәнин мүднијијәти ичәз өвермәлидир.

8. Мәгаләләр (хүласа дә дахил олмагла) макинәдә сәнифенни бир үзүндә ики интервалла јазылмалы вә ики нүсхәдә журналын редаксијасына тәгдим едиilmәлидир. Формулалар дүрүст вә аждын јазылмалыдый; бу налда гарә галәмлә кичик һәрфләрин ўстүндән, бөйүк һәрфләрин исә алтында ики чызыг чәкилмәлидир.

9. Мәгаләдә ситат қатирлән әдәбијјат сәнифенни ашагысында чыкыши шәклиндә дејил, мәгаләнин сонунда әлава едиilen әдәбијјат сијаһында, һәм да мүәллифләрни фамилијасы үзәрә әлифба сырасы ила верилмәли вә мәтенин ичәрисинде бу, јери көлдикчә, сыра иөмрәси ила көстәрilmәлидир. Әдәбијјат сијаһыны ашагыдағы гајдада тәртиб едиilmәлидир:

а) китаблар үчүн: мүәллифин фамилијасы вә инициалы (ады вә атасынын адьын баш һәрфләри), китабын ады, чилдин иөмрәси, иашр олундуру јерин вә иашријатын адьы, иашр олундуру ил;

б) мәчмәләрдә (әсәрләрдә) чап олунмуш мәгаләләр үчүн: мүәллифин фамилијасы вә инициалы, мәгаләнин ады, мәчмүзини (әсәрләрни) үзүннөн әлифба сырасы ила верилмәли вә мәтенин ичәрисинде бу, јери көлдикчә, сыра иөмрәси ила көстәрilmәлидир. Әдәбијјат сијаһыны ашагыдағы гајдада тәртиб едиilmәлидир:

в) журнал мәгаләләри үчүн: мүәллифин фамилијасы вә инициалы, мәгаләнин ады, журналын ады, иашр олунма или, чилдин вә журналын иөмрәси (бирахынын иөмрәси) вә сәнифеси.

Нашр олунмамыш әсәрләрә иснад етмәк олмаз (елми мүәссисәләрдә сакланылан һесабатлар вә диссертацыйлар мүстәснадыр).

10. Шәкилләрни далында мүәллифин фамилијасы, мәгаләнин ады вә шәклин иөмрәси көстәрilmәлидир. Шәкилләттө сөзләри макинәдә јазылмыши, айрича сәнифедә верилмәлидир.

11. Редаксија мүәллифә вә мәгаләниндән 25 айрыча нүсхә верир.

ПРАВИЛА ДЛЯ АВТОРОВ

1. В «Докладах Академии наук Азербайджанской ССР» помещаются краткие сообщения, содержащие законченные, еще не опубликованные результаты научных исследований, имеющих теоретическое или практическое значение.

В «Докладах» не публикуются крупные статьи, механически разделенные на ряд отдельных сообщений, статьи полемического характера без новых фактических данных, статьи с описанием промежуточных опытов без определенных выводов и обобщений, работы непринципиальные, описательного или обзорного характера, чисто методические статьи, если предлагаемый метод не является принципиально новым, а также статьи по систематике растений и животных (за исключением описания особо интересных для науки находок).

Статьи, помещаемые в «Докладах» не лишают автора права последующей публикации того же сообщения в развернутом виде в других изданиях.

2. Поступающие в «Доклады» статьи рассматриваются Редакционной коллегией только после представления их академиком по специальности.

Статьи членов-корреспондентов Академии наук Азербайджанской ССР принимаются без представления.

Редакция просит академиков при представлении статьи указывать дату получения ее от автора, а также наименование раздела, в котором статья должна быть помещена.

3. В «Докладах» публикуется не более трех статей одного автора в год. Для академиков устанавливается лимит 8 статей, а для членов-корреспондентов Академии наук Азербайджанской ССР — 4 статьи в год.

4. «Доклады» помещают статьи, занимающие не более четверти авторского листа, около 6—7 страниц машинописи (10 000 печатных знаков), включая рисунки.

5. Статьи, написанные на азербайджанском языке, должны иметь резюме на русском языке и наоборот.

6. В конце статьи должны быть указаны название научного учреждения, в котором произведена работа, и номер телефона автора.

7. Опубликование результатов работ, проведенных в научных учреждениях, должно быть разрешено дирекцией научного учреждения.

8. Статьи (включая резюме) должны быть написаны на машинке через два интервала на одной стороне листа и представляются в двух экземплярах. Формулы должны быть вписаны четко и ясно, и при этом прописные буквы должны быть подчеркнуты (черным карандашом) двумя черточками снизу, а строчные — сверху; буквы греческого алфавита надо обводить красным карандашом.

9. Цитируемая в статье литература должна приводиться не в виде подстрочных списков, а общим списком (без новострочия), в алфавитном порядке (по фамилии автора), в конце статьи с обозначением ссылки в тексте порядковой цифрой. Список литературы должен быть оформлен следующим образом:

а) для книг: фамилия и инициалы автора, полное название книги, номер тома, город, издательство и год издания;

б) для статей в сборниках (трудах): фамилия и инициалы автора, заглавие статьи, название сборника (трудов), том, выпуск, место издания, издательство, год, страница;

в) для журнальных статей: фамилия и инициалы автора, заглавие статьи, название журнала, год, том, номер (выпуск), страница.

Ссылки на неопубликованные работы не допускаются (за исключением отчетов, диссертаций, хранящихся в научных учреждениях).

10. На обороте рисунков должны быть указаны фамилии автора, название статьи и номер рисунка. Отпечатанные на машинке подписи к рисункам представляются на отдельном листе.

11. Редакция выдает автору бесплатно 25 отдельных оттисков статьи.